

UNIVERSITÉ DE TUNIS EL MANAR
FACULTÉ DES SCIENCES DE TUNIS



MASTÈRE DE RECHERCHE

EN SCIENCES DE L'INFORMATIQUE

OPTION :

SYSTÈMES D'INFORMATION DÉCISIONNELS

Sélection d'une configuration d'IJB :

Approche basée sur les traverses minimales

ISSAM GHABRY

SOUTENU LE 26/12/2017, DEVANT LE JURY COMPOSÉ DE :

M.FAOUZI MOUSSA	PROFESSEUR, FST, UNIVERSITÉ TUNIS EL MANAR	PRÉSIDENT
MME.NARJES DOGGAZ	MAÎTRE ASSISTANT, FST, UNIVERSITÉ TUNIS EL MANAR	RAPPORTEUR
M.SADOK BEN YAHIA	PROFESSEUR, FST, UNIVERSITÉ TUNIS EL MANAR	DIRECTEUR DU MÉMOIRE
M.MOHAMED NIDHAL JELASSI	MAÎTRE ASSISTANT, FSEGT, UNIVERSITÉ TUNIS EL MANAR	ENCADRANT

Année universitaire 2016/2017

Remerciements

Avant tout développement sur cette expérience, il apparaît opportun de commencer ce rapport par des remerciements, à ceux qui m'ont beaucoup appris au cours de ce mastère, et même à ceux qui on eu la gentillesse d'en faire un moment très profitable.

...

Je tiens à adresser mes vifs remerciements et à témoigner toute ma reconnaissance à mon directeur de mémoire, Monsieur Sadok BEN YAHIA, Professeur à la Faculté des Sciences de Tunis, et à mon encadrant, Monsieur Mohamed Nidhal JELASSI, maître assistant à Faculté des Sciences Économiques et de Gestion de Tunis, pour leurs conseils et disponibilités, pour avoir dirigé mon travail, pour leurs encouragements et leurs soutiens continus. L'intérêt qu'ils ont manifesté pour mon travail, leurs suggestions, et leurs remarques ont été d'une importance capitale. Sous leur direction, j'ai appris davantage de rigueur, de sens critique et de discipline.

...

Je tiens aussi à remercier tous ceux qui m'ont toujours soutenue et qui ont pris part de leur temps pour m'aider à élaborer ce travail.

...

Mes derniers remerciements et non les moindres, iront à mes proches, et en particulier à mon père et ma mère qui m'ont toujours apporté leur soutien sans faille. Je les remercie de toute l'affection et tout l'amour qu'ils m'ont témoigné.

Table des matières

Introduction générale	1
1 Les entrepôts de données	4
1.1 Concepts fondamentaux	5
1.1.1 Architecture des entrepôts de données	5
1.1.2 Modélisation des entrepôts de données	11
1.2 Les besoins d’entrepôt de données.	16
1.3 Techniques d’optimisation	16
1.3.1 Techniques d’optimisation non redondantes	17
1.3.2 Techniques d’optimisation redondantes	19
2 Les index de jointure binaires IJB	24
2.1 Concepts de bases	25
2.1.1 Définition de l’index de jointure binaire (IJB)	25
2.1.2 Formalisation du problème de sélection d’index	27
2.2 Stratégie d’exécution en présence des IJB	29
2.3 Modèle de coût	32
2.3.1 Types de modèle de coût	32
2.3.2 Coût de stockage d’un IJB	33
2.3.3 Coût d’exécution	34
2.4 État de l’art	35
2.4.1 L’approche de Aouiche et al. 2005	36
2.4.2 Les travaux de Bellatreche 2008	38
2.4.3 L’approche de Boukhalifa et al. 2010	39

2.4.4	L'approche de Necir 2010	40
2.4.5	Travaux de Whang 1985	42
2.4.6	Bilan et discussion	42
3	Nouvelle approche de sélection d'IJB : utilisation des traverses minimales	44
3.1	La théorie des Hypergraphes	45
3.1.1	Les hypergraphes	45
3.1.2	Traverse minimale	46
3.2	Approche de sélection d'IJB basée sur les traverses minimales	50
3.2.1	Motivations	51
3.2.2	Démarche de sélection automatique d'index	52
3.2.3	L'algorithme TM-IJB	55
3.3	Exemple illustratif	57
4	Étude expérimentale et évaluations	62
4.1	Environnement de travail	62
4.2	Jeux de données	63
4.3	Évaluation des approches existantes	65
4.3.1	Approche Close	66
4.3.2	Approche Dynaclose	66
4.4	L'approche TM-IJB	67
4.5	Étude expérimentale	69
4.5.1	Le banc de test SSB1	70
4.5.2	Le banc de test TPC-H	75
	Conclusion générale et perspectives	84
	Bibliographie	95

Table des figures

1.1	Architecture d'entrepôt de données	9
1.2	Un exemple d'un cube de données [13]	11
1.3	Le système Molap [13]	13
1.4	Le schéma en étoile [15]	14
1.5	Le schéma en flocon de neige	15
1.6	Le schéma en flocon de neige [15]	15
1.7	Les techniques d'optimisation [13]	17
1.8	La fragmentation horizontale primaire et dérivée [13]	18
1.9	Index B-Tree [13]	20
1.10	Index de projection [13]	20
1.11	Index de hachage [13]	21
1.12	Index binaire [13]	22
1.13	Index de jointure [13]	23
2.1	Index de jointure binaire [13]	26
2.2	Approche générique de sélection d'IJB	28
2.3	Vecteur de bits d'un IJB [13]	31
2.4	L'approche Close de Aouiche [6]	37
2.5	L'approche de Boukhalfa et al. [13]	40
3.1	Hypergraphe	46
3.2	Les domaines d'applications des traverses minimales [31]	48
3.3	Approche de sélection d'IJB	52
3.4	Matrice de données	58

4.1	Schéma du banc de test TPC-H	64
4.2	Schéma du banc de test SSB1	65
4.3	Réalisation de l'approche Close	67
4.4	Réalisation de l'approche DynaClose	68
4.5	Réalisation de l'approche TM-IJB	69
4.6	Temps d'exécution d'une requête sans IJB	71
4.7	Le plan d'exécution d'une requête sans IJB	71
4.8	Temps d'exécution d'une requête en présence d'IJB	72
4.9	Le plan d'exécution d'une requête sans IJB	72
4.10	Temps d'exécution des requêtes sur le banc de test SSB1	73
4.11	Le taux de réduction des requêtes du banc de test SSB1	74
4.12	Le coût d'exécution en E/S du banc de test SSB1	74
4.13	L'exécution de l'aglorithme de Close sur TPC-H	76
4.14	L'exécution de l'aglorithme de DynaClose sur TPC-H	76
4.15	L'hypergraphe de TPC-H	77
4.16	Résultat de l'aglorithme de TM-IJB sur le banc de test TPC-H	78
4.17	Plan d'exécution d'une requête sans IJB	78
4.18	La création d'un IJB	79
4.19	Plan d'exécution d'une requête avec IJB sur le banc de test TPC-H . .	80
4.20	Temps d'exécution des 22 requêtes du banc de test TPC-H	80
4.21	Temps d'exécution des 8 requêtes du banc de test TPC-H	81
4.22	Taux de réduction des 22 requêtes du banc de test TPC-H	82
4.23	Taux de réduction des 8 requêtes du banc de test TPC-H	82
4.24	Histogramme du coût d'exécution en E/S	83

Liste des tableaux

1.1	Comparaison entre le SIO et le SID	6
2.1	Paramètres du modèle de coût	33
2.2	Récapitulatif des travaux de l'état de l'art	43
3.1	Requêtes de test	58
4.1	Taille des tables de TPC-H	64
4.2	Taille des tables de SSB1	66

Introduction générale

Dans un monde ultra-concurrentiel où l'innovation fait la différence, l'informatique décisionnelle (ou bien le Business Intelligence [BI] dans la terminologie anglo-saxonne), joue un rôle très important pour les entreprises. Il s'agit d'une panoplie de moyens et de méthodes informatique permettant l'exploitation, l'analyse et l'interrogation des données matérielles ou immatérielles de l'entreprise, afin d'en dégager de nouvelles informations qualitatives qui vont fonder des décisions, qu'elles soient tactiques ou stratégiques.

L'objectif essentiel de l'informatique décisionnelle est d'avoir une vision globale de l'activité en vigueur, anticiper les actions, être en phase avec les attentes de ses clients et pouvoir ainsi adapter les bonnes stratégies, et faciliter la prise de décision et l'analyse décisionnelle des dirigeants pour un meilleur pilotage de l'entreprise. En d'autres termes, la BI unie les données, les technologies, les analyses et les connaissances humaines pour optimiser les perceptions de l'organisation et la conduire ainsi vers le succès.

Une entreprise moderne brasse dans son système d'information une large volumétrie de données répartis dans plusieurs domaines applicatifs. Le fait que ces volumes sont trop importants et de l'hétérogénéité des sources de données, rend très difficile de donner un sens à ces données, de comprendre ce qu'elles expriment : des tendances sous-jacentes, des faiblesses ou des forces cachées, toute chose que l'on doit connaître afin de prendre de bonnes décisions. Toutes ces données sont stockées dans des nouvelles bases de données comme les entrepôts de données (*ED*), qui se caractérisent par : (*i*) leurs sources de données distribuées et hétérogènes ; (*ii*) leur modélisation à travers un schéma en étoile ; (*iii*) la complexité des requêtes due à des opérations de jointure et d'agrégation ; et (*iv*) les exigences des utilisateurs en

termes de temps de réponse des requêtes.

Les décideurs sont ainsi des analystes, qui établissent généralement des études du comportement des clients, des produits, des sociétés concurrentes afin de mieux cibler leurs clients, de les fidéliser etc. Selon Bill Inmon, les *ED* consistent en une collection de données dites données de production orientées sujet, intégrées, non volatiles, historisées et organisées pour supporter un processus d'aide à la décision [40]. L'objectif principal de ces entrepôts est de permettre une analyse multidimensionnelle.

Les entrepôts de données sont généralement modélisés par un schéma en étoile, qui présente classiquement une table de faits centrale et un ensemble de tables de dimensions. La table de faits contient les clés étrangères des tables de dimensions ainsi qu'un ensemble de mesures collectées durant l'activité de l'organisation. Les tables de dimensions contiennent des données qualitatives, qui représentent des axes sur lesquels les mesures ont été collectées. Dans ce type de modèle, il n'existe aucun lien direct entre deux tables de dimensions quelconques. Ainsi, si nous avons une requête qui fait appel à des attributs faisant partie de deux ou plusieurs tables de dimensions différentes, nous serons obligés de passer par la table de faits qui est très volumineuse (allant de quelques giga-octets à plusieurs téraoctets). Les requêtes *OLAP* correspondantes à ce type de modèle sont par conséquent très complexes.

Les requêtes définies sur un schéma en étoile (connues également par *requêtes de jointure en étoile*) sont caractérisées par des opérations de sélection sur les tables de dimensions, suivies de jointures avec la table de faits. Aucune jointure n'existe entre les tables de dimensions. Toute jointure doit passer par la table de faits, ce qui rend le coût d'exécution de ces requêtes très important. Sans technique d'optimisation, leurs exécutions peuvent prendre des heures, voire des jours. Pour optimiser ces requêtes, l'administrateur est amené à effectuer une tâche importante : la conception physique. Durant cette phase, l'administrateur choisit un ensemble de techniques d'optimisation à sélectionner. Ces techniques appartiennent à deux catégories : redondantes comme les indexs et les vues matérialisées et non redondantes comme la fragmentation horizontale et le traitement parallèle.

Ce travail vise alors à proposer des solutions destinées à optimiser les performances des bases de données en général et des entrepôts en particulier. Ce rapport est

organisé en deux parties : dans la première partie, nous traitons les travaux déjà existants et dans la deuxième partie, nous introduisons notre propre contribution ainsi que son évaluation.

Dans ce but, nous voulons proposer une nouvelle approche de sélection d'*IJB* basée sur la notion de traverse minimale. Une étude comparative a été faite avec d'autres approches déjà proposées, qui permettent de déterminer les attributs indexables. Ces approches nous permettent une phase d'élagage qui réduit l'espace de recherche initial en ne gardant que les attributs qui répondent à certains critères de sélection tels que la fréquence d'utilisation, la cardinalité des tables, etc. Ces attributs sont susceptibles de réduire le temps de réponse des requêtes. Les tests réalisés sur les bancs d'essais *TPC-H* et *SSB1* validés sur le SGBD ORACLE démontrent les bonnes performances de l'approche proposée.

Organisation du mémoire

L'organisation de notre rapport se présente comme suit :

- Dans **le premier chapitre**, nous présentons l'entrepôt de données son architecture, sa modélisation et ses techniques d'optimisation.
- Dans **le deuxième chapitre**, nous nous concentrons sur les *IJB* en les définissant puis nous allons formaliser le problème de sélection des *IJB* et nous finissons par la présentation de l'état de l'art.
- Dans **le troisième chapitre**, nous allons présenter la théorie des hypergraphes avec quelques définitions sur ses concepts de bases, et par la suite nous introduisons notre approche basée sur les traverses minimales.
- Dans **le quatrième chapitre**, nous validons notre approche par une étude expérimentale.

Chapitre 1

Les entrepôts de données

Introduction

Un entrepôt de données, ou data Warehouse, est une vision centralisée et universelle de toutes les informations de l'entreprise [30]. C'est une structure (similaire à une base de données) qui a pour objectif regrouper les données de l'entreprise pour des fins analytiques et pour offrir de l'aide à la prise de décisions stratégiques. La décision stratégique est une action vitale pour les décideurs de l'entreprise, vise à améliorer, quantitativement et/ou qualitativement, la performance de l'entreprise. En gros, c'est un gigantesque tas d'informations historisées, organisées, épurées, intégrées et provenant de plusieurs sources de données, servant aux analyses et à l'aide à la décision [5]. L'entrepôt de données est l'élément central de l'informatique décisionnelle. L'informatique décisionnelle a connu et connaît aujourd'hui encore un essor important. Elle permet l'exploitation des données d'une organisation dans le but de faciliter la prise de décision. En effet, l'entrepôt de données est le meilleur moyen que les chercheurs et les professionnels ont trouvé pour modéliser de l'information pour des fins d'analyse.

1.1 Concepts fondamentaux

1.1.1 Architecture des entrepôts de données

Les bases de données traditionnelles, appelées bases de données opérationnelles, sont conçues pour créer des applications transactionnelles pour l'usage quotidien des entreprises. Elles visent à assurer des accès rapides et simultanés aux données tout en garantissant la cohérence. Elles sont basées sur le paradigme de traitement de transaction en ligne (*OLTP*). Ces bases de données sont conçues avec un degré de normalisation élevé en utilisant des dépendances fonctionnelles et des formes normales [25]. Généralement, les transactions *OLTP* renvoient quelques enregistrements [25]. D'autre part, les exigences analytiques, imposées par les grandes entreprises, regroupent un grand nombre de données historisées de plusieurs tables (en utilisant des jointures). Cependant, les bases de données opérationnelles n'acceptent pas les requêtes analytiques. C'est parce qu'elles n'ont pas été conçues pour stocker les données historisées et les traiter efficacement. Ces limitations ont largement contribué à la naissance d'une nouvelle technologie qui est l'entrepôt de données qui supporte le traitement analytique en ligne (*OLAP*).

L'entrepôt de données constitue le socle d'un système décisionnel pour une entreprise. Il stocke des données judicieuses aux besoins du processus d'aide à la décision. Contrairement à une base de données classique supportant des requêtes transactionnelles de type *OLTP* (On-Line Transaction Processing), un entrepôt de données est conçu pour supporter des requêtes multidimensionnelles de type *OLAP*. La table 1.1 présente une comparaison entre le système d'information décisionnel et le système d'information opérationnel.

Bill Inmon [40] a donné la définition suivante : "Un entrepôt de données est une collection de données orientées sujet, intégrées, non volatiles, historisées et utilisées pour supporter un processus d'aide à la décision".

Orientées sujet : les données des entrepôts collectées doivent être orientées métier. Ainsi, elles sont organisées par sujet plutôt que par application. Par exemple, une chaîne de magasins d'alimentation organise les données de son entrepôt par rapport aux ventes qui ont été réalisées par produit et par ma-

TABLE 1.1 – Comparaison entre le SIO et le SID

	Système opérationnel (SIO)	Système décisionnel (SID)
Conception	Orientée Application, Structure statique	Orientée Sujet, Structure évolutive (en étoile, flocon)
Principe de conception	Conception relationnelle (Troisième forme normale)	Conception Multidimensionnelle
Objectif	Gestion & Production	Consultation & Analyse
Type de données	Détaillées, non agrégées, Récentes, mises à jour, Normalisées	Résumées, recalculées, agrégées, Historiques, Dé-normalisées
Organisation des données	Par traitement	Par métier
Utilisateur	Employé	Décideurs, analystes
Interaction avec l'utilisateur	Insertion, Modification, Interrogation, Suppression	Interrogation
Requêtes	Simple, prédéterminées, données détaillées	Complexes, ad-hoc, spécifiques, agrégations et group by
Transactions	Courtes et nombreuses, temps réel	Longues, peu nombreuses
Taille de la base	Plusieurs Giga-octets	Plusieurs Téraoctets

gasin, par région, au cours d'un certain temps.

Intégrées : Pour garantir une cohérence de l'information, les données originaires de diverses sources doivent être intégrées (Par exemple, faire correspondre différents formats (.xml, .txt, etc.) avant leur stockage dans l'entrepôt de données.

Non volatiles : Les données d'un entrepôt de données, contrairement à celles des bases de données classiques, doivent être permanentes. Ainsi, un rafraîchissement de l'entrepôt doit pouvoir ajouter de nouvelles données sans pour autant modifier ou perdre celles existantes.

Historisées : Il est primordial que les données soient datées pour considérer leur évolution dans la prise de décision et les analyses décisionnelles étant donné qu'ils s'appuient sur tout l'historique des évolutions passées pour prédire celles prévues au futur.

L'objectif principal de l'entrepôt de données est l'aide à la prise de décision. Il collecte des données provenant de diverses sources de données hétérogènes, autonomes, évolutives et distribuées, les transforme et les nettoie et finalement les charge dans de nouvelles structures de données conçues pour prendre en charge les requêtes *OLAP*. Les sources de données peuvent être regroupées en quatre catégories principales [54] : *(i)* données de production ; *(ii)* données internes ; *(iii)* données archivées ; et *(iv)* données externes. Les données de production proviennent des différents systèmes opérationnels de l'entreprise. Les données internes comprennent les données stockées dans les feuilles de calcul, les documents, les profils de clients, les bases de données qui ne sont pas connectées aux systèmes opérationnels. Les données archivées ou légataires sont des données dites off-line car elles ne sont plus nécessaires aux applications transactionnelles. Elles permettent de disposer d'historique pour les analyses de tendance et la fouille de données par exemple. Les données externes telles que les données produites par des agences externes, des services de prévisions météorologiques, des réseaux sociaux, sont des données gérées et manipulées par d'autres entreprises. Elles peuvent être sous forme informatique (CD-ROM, Internet) ou papier (presse économique, rapports d'organismes et institutions spécialisés).

Il existe plusieurs stratégies pour la conception d'un entrepôt de données. Il s'agit

de choisir une démarche parmi les trois suivantes : Approche descendante, approche ascendante, ou approche mixte.

- Approche descendante "Top down" (guidée par les besoins) introduite par Inmon [40] : les besoins des utilisateurs sont identifiés d'abord et ce sont eux qui conduisent le processus de développement de l'*ED*.
- Approche ascendante "Bottom up" (guidée par les données) introduite par Kimball [43] : elle commence par un prototypage basé sur une technologie et appliquée à un sous-ensemble représentatif. On peut commencer par la construction d'un magasin de données, dite *datamart*, et évaluer son utilisation avant de généraliser le développement.
- Approche mixte : elle permet de combiner les aspects planification et stratégie de l'approche descendante et la rapidité d'implémentation de l'approche ascendante.

Le processus de construction d'un entrepôt de données est composé de trois principales phases (cf. figure 1.1) :

Extraction : les données sont extraites à partir des sources hétérogènes. Le processus d'*ETL* est responsable de l'extraction et de la transformation des données provenant de différentes sources d'informations hétérogènes pour finalement les charger dans l'entrepôt cible. Cette phase joue un rôle crucial dans le processus de conception de l'*ED*. La qualité de l'entrepôt dépend fortement de l'*ETL*. Les différentes étapes de l'*ETL* doivent comprendre les différents schémas (conceptuels, logiques et physiques) des sources de données.

L'*ETL* comporte 3 étapes :

1. **Extraction** des données à partir des sources (BD ou Fichiers) dans le but d'alimenter les tables de faits et les tables de dimensions. Les données sont stockées dans des tables temporaires (staging area)
2. **Transformation** : elle consiste à transformer les données sources selon les unités de mesure et les formats de l'*ED*, homogénéiser les données sources, nettoyer les données et les dater.
3. **Load** : chargement des données de la zone tampon vers l'*ED*.

Il existe trois stratégies d'extraction des données :

- Push : la logique applicative de l'extraction se trouve dans le système source. Elle pousse les données vers la zone tampon.
- Pull : la logique applicative de l'extraction se trouve dans le système cible (*ED*). Elle «tire» les données vers la zone d'attente.
- Push-Pull : c'est une combinaison des deux stratégies précédentes.

La construction du processus *ETL* est potentiellement l'une des tâches les plus importantes de la construction d'un entrepôt ; Il est complexe, prend beaucoup de temps et prend la part du lion dans la conception et les efforts de mise en œuvre de tout projet d'entrepôt. En effet, la construction de l'*ETL* nécessite plusieurs tâches et compétences en termes de modélisation et de mise en œuvre. Les exigences non fonctionnelles telles que la qualité et les performances sont prises en compte lors de la conception d'*ETL*

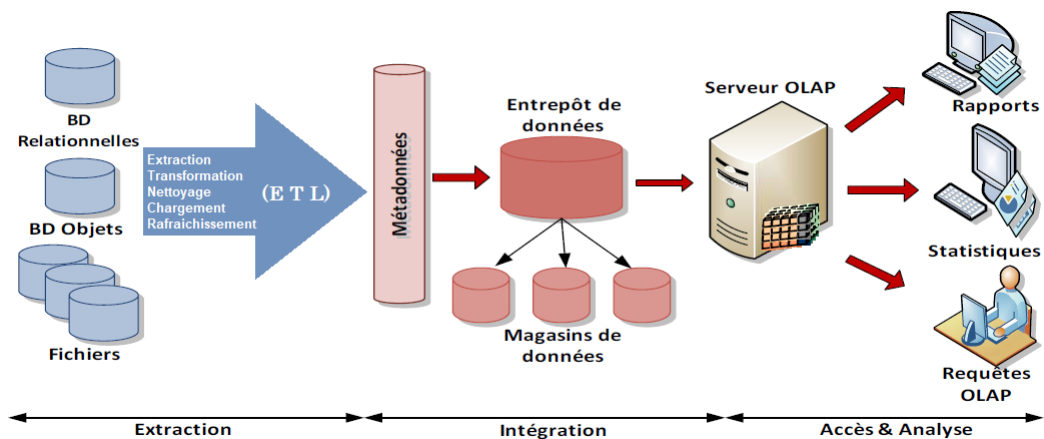


FIGURE 1.1 – Architecture d'entrepôt de données

Intégration : une fois la tâche de l'organisation et de l'homogénéisation des données est terminée, les données seront intégrées dans l'entrepôt à l'aide des métadonnées qui décrivent les caractéristiques des données stockées : origine, date de dernière m-à-j, mode de calcul, procédure de transformation. Les métadonnées contiennent :

- Les correspondances entre données sources et celles de l'*ED*.
- Les règles d'extraction, création, stockage et mise à jour des données.
- Un glossaire des objets manipulés par les utilisateurs.
- Les requêtes, rapports, indexs et profils prédéfinis.
- Les règles de rafraîchissement et de réplication entre l'*ED* et les datamarts. éventuels

Elles sont utiles aussi bien aux utilisateurs (comprendre les données) qu'aux administrateurs (fournir des moyens d'exploitation et de maintenance du *ED*). Les données peuvent être intégrées directement dans l'entrepôt de données ou bien elles peuvent être intégrées dans les datamarts. Les datamarts sont destinés à pré-agrégéer des données disponibles de façon plus détaillée que dans les *ED*, afin à traiter plus facilement certaines questions spécifiques, critiques, etc. C'est l'implémentation d'un *ED* pour un domaine d'activité restreint e.g un sous-ensemble d'un *ED*. Une entreprise dispose souvent de plusieurs datamarts, un par département ou service. La présence de datamarts ou non dépend de l'architecture du SID (centralisée, répartie, dupliquée). La création d'un datamart peut être un moyen de débiter un projet de *ED* (projet pilote).

Accès et Analyse : ceci s'effectue sous une forme efficace et flexible. Durant cette phase, un serveur *OLAP* se charge de présenter les informations demandées par les utilisateurs sous plusieurs formes : tableaux, rapports, statistiques, fouille de données, etc. La fouille de données permet d'exploiter le gisement informationnel contenu dans un *ED* pour découvrir d'autres informations cachées comme par exemple les habitudes et le comportement des clients. Les informations déduites permettent de bien cibler les clients, les produits, les régions, etc. La fouille de données permet de comprendre ce qui s'est passé (Quoi), trouver une explication de ce qui est passé (Pourquoi) et déduire les actions à entreprendre.

1.1.2 Modélisation des entrepôts de données

Les données dans l'entrepôt doivent être organisées d'une façon simple et aisée pour faciliter leur exploitation ainsi que leur analyse par les décideurs. Il est indiscutable que ces analyses nécessitent l'exécution de requêtes complexes et particulières. Ces requêtes doivent produire comme résultat une représentation des données selon plusieurs axes d'analyses (analyse des habitudes, tendances, préférences d'achat, etc.). Les données manipulées dans le contexte d'entrepôts de données sont représentées sous la forme multidimensionnelle, qui est mieux adaptée pour le support des processus d'analyse [43]. Ce modèle permet d'observer le sujet (le fait) et les différentes perspectives de l'analyse ou mesures d'intérêt (les dimensions).

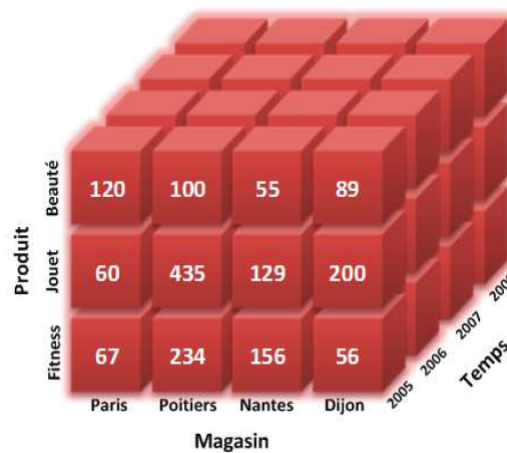


FIGURE 1.2 – Un exemple d'un cube de données [13]

Le modèle multidimensionnel repose sur le concept de CUBE (ou hypercube) pour représenter les données (cf. figure 1.2). Un cube organise les données en une ou plusieurs dimensions qui déterminent une mesure d'intérêt. Deux concepts fondamentaux caractérisent le modèle multidimensionnel : faits et dimensions

Un fait : il représente le sujet d'analyse et il est formé de mesures correspondantes aux informations de l'activité étudiée. En général et dans la plupart des cas il s'agit d'une valeur numérique. Ces mesures sont calculables à partir d'un grand nombre d'enregistrements en appliquant les opérations d'addition, de

calcul du minimum/maximum ou de la moyenne, etc [58].

La dimension : elle représente l'axe d'analyse de l'activité. Elle regroupe des paramètres pouvant influencer les mesures d'activités d'un fait. Si nous analysons la quantité de produits vendus, il semble évident que cette quantité change selon la ville, le produit et le temps, en général elle dépend de la nature des données présentes dans la dimension. En outre, une dimension est munie d'une ou plusieurs hiérarchies permettant de faire l'analyse selon le niveau de granularité, i.e. le niveau de détail. La dimension *Temps* par exemple peut être hiérarchisée, du plus fin au moins fin, comme suit : *jour, semaine, mois, et année*. Les mesures dans la table de faits peuvent être par conséquent agrégées par *mois, trimestre, semestre ou année*, selon le niveau de détail souhaité.

Afin d'implémenter le modèle multidimensionnel approprié pour un entrepôt de données, deux modèles sont possibles : Un schéma relationnel *ROLAP* (Relational On-Line Analytical Processing), à savoir le schéma en étoile, en flocon de neige ou en constellation ou bien un schéma multidimensionnel *MOLAP* (Multidimensional On-Line Analytical Processing).

Systèmes MOLAP

C'est une forme d'hypercube multidimensionnel, qui permet de représenter les données sous la forme d'un tableau multidimensionnel avec le croisement de n dimensions, où chaque dimension de ce tableau est associée à une dimension de l'hypercube de données ou bien à un axe. Les systèmes *MOLAP* nécessitent un pré-calcul de toutes les agrégations possibles afin de les matérialiser dans les cellules du tableau multidimensionnel.

L'avantage principal de cette implémentation est le gain considérable en temps d'exécution des requêtes, vu que l'accès aux données est direct. Par contre, les opérations de mise à jour sont difficiles à effectuer compte tenu que les valeurs des cellules du tableau multidimensionnel doivent être recalculées après chaque opération de mise à jour.

Produit	Temps	Trimestre 1			Trimestre 2			Trimestre 3			Trimestre 4			Total		
	Ville	P	N	Total	P	N	Total	P	N	Total	P	N	Total	P	N	Total
TVLCD		12	34	46	22	36	58	24	37	61	33	55	88	91	162	253
Lecteur DVD		29	66	95	44	50	94	56	55	111	44	39	83	173	210	383
Caméoscope		55	34	89	69	27	96	31	26	57	68	70	138	223	157	380
Total		96	134	230	135	113	248	111	118	229	145	114	309	487	529	1016

FIGURE 1.3 – Le système Molap [13]

Systèmes ROLAP

Les systèmes de type *ROLAP* utilisent une représentation relationnelle du cube de données. Chaque fait est exprimé à travers une table intitulée table de faits et chaque dimension est exprimée à travers une table intitulée table de dimension. Les attributs de la table de faits constituent les mesures à chercher et les clés étrangères vers les tables de dimension. Pour modéliser un système *ROLAP* trois modèles ont été proposés, le schéma en étoile, le schéma en flocon de neige et le schéma en constellation.

Schéma en étoile : un schéma en étoile consiste en une grande table de faits centrale attaché à plusieurs tables de dimensions à travers des clés étrangères. Les tables de dimensions sont nombreuses mais relativement petites par rapport à la table de faits et sont rarement mis à jour. Les tables de dimension contiennent généralement un nombre important d'attributs représentant des données qualitatives. La table de faits contient généralement un nombre très important d'instances. Chaque enregistrement dans la table de faits contient deux sortes d'attributs : *(i)* un ensemble de clés étrangères référençant les tables de dimension ; et *(ii)* un ensemble de mesures qui peuvent être agrégées pour effectuer certains traitements.

La table de faits est généralement normalisée, alors que les tables de dimension ne sont généralement pas normalisées de sorte que le nombre d'opérations de jointure nécessaires soit réduit. Pour éviter la redondance, les tables de

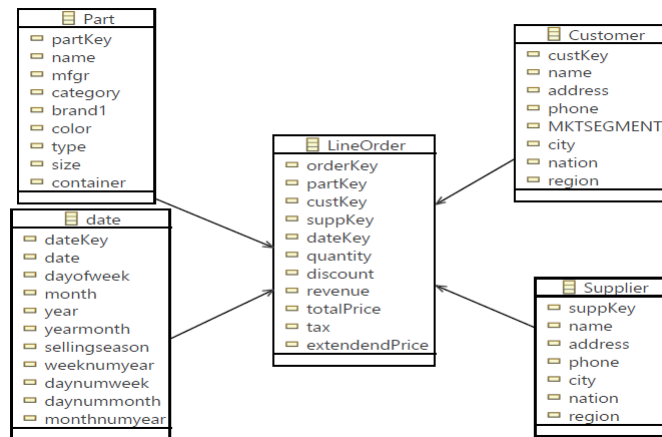


FIGURE 1.4 – Le schéma en étoile [15]

dimensions d'un schéma en étoile peuvent être normalisées. Il y a un débat sur les avantages d'avoir de telles tables de dimensions normalisées, car, en général, ralentira le traitement des requêtes. Les requêtes qui interrogent ce schéma sont dites *Requêtes de jointure en étoile*.

Schéma en flocon de neige : pour mettre en évidence la hiérarchie, le modèle en flocon de neige a été proposé. La dé-normalisation des tables de dimension dans un schéma en étoile ne reflète pas les hiérarchies associées à chaque dimension. Ce schéma dérive du schéma en étoile précédent en gardant la table de faits au centre et les tables de dimension autour. Chaque table de dimension est éclatée en un ensemble de hiérarchies. Ce schéma normalise les dimensions, en réduisant la taille de chacune des relations et permettant ainsi d'intégrer la notion de hiérarchie au sein d'une dimension [2].

Les tables dotées de la hiérarchie la plus fine sont directement liées à la table de faits. Les tables représentant les autres hiérarchies sont liées entre elles selon leur niveau de granularité du plus fin au moins fin.

Le schéma en constellation : la modélisation en constellation consiste à fusionner plusieurs modèles en étoile qui utilisent des dimensions communes. Un modèle en constellation comprend : plusieurs tables de faits, des tables de dimensions communes à ces tables de faits où chaque relation de faits a ses

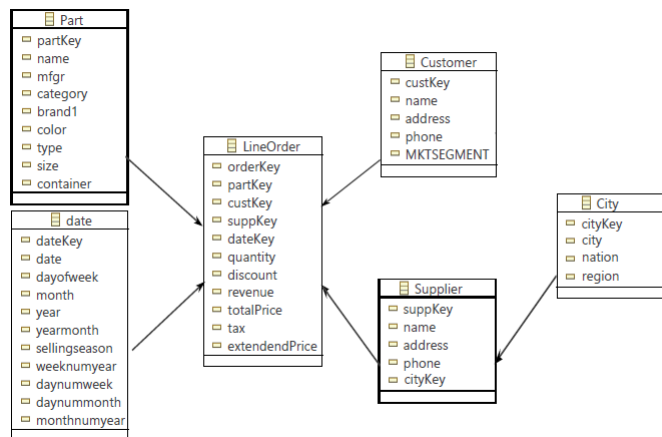


FIGURE 1.5 – Le schéma en flocon de neige

propres dimensions. Ce modèle offre une meilleure gestion des données creuses.

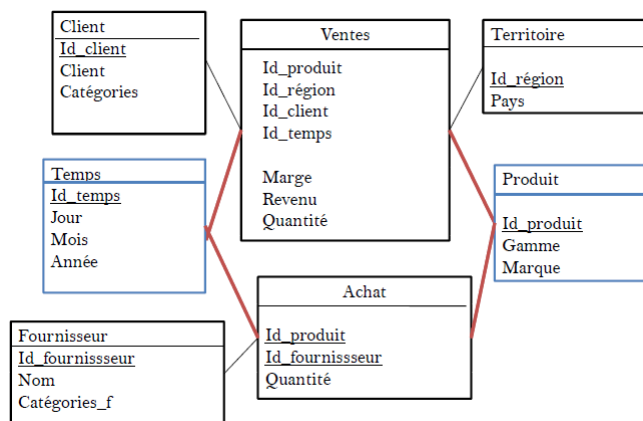


FIGURE 1.6 – Le schéma en flocon de neige [15]

Nous pouvons également citer une troisième approche, intitulée *HOLAP*, il s'agit d'un *OLAP* hybride qui combine les deux approches. Il bénéficie de la capacité de stockage de *ROLAP* et de la puissance de traitement de *MOLAP*.

1.2 Les besoins d'entrepôt de données.

Comme tout produit, le développement d'une application décisionnelle repose sur des besoins fonctionnels et non fonctionnels. Notez que les besoins fonctionnels décrivent les fonctionnalités, le fonctionnement et l'utilisation des applications au sein de l'*ED* pour satisfaire les objectifs et les attentes des décideurs. Ils identifient les principaux avantages que la technologie d'*ED* apportera à l'entreprise et à ses utilisateurs. Ils décrivent les besoins des utilisateurs et de l'entreprise et les valeurs ajoutées. D'autres besoins fonctionnels sont associés aux utilisateurs de l'*ED* (appelés *besoins des utilisateurs*) décrivent les tâches que les utilisateurs doivent pouvoir accomplir grâce à l'application d'*ED*. Les besoins des utilisateurs doivent être collectés auprès de personnes qui utiliseront et travailleront avec cette technologie. Par conséquent, ces utilisateurs peuvent décrire à la fois les tâches qu'ils doivent effectuer avec l'*ED*. Ces exigences sont modélisées à travers plusieurs formalismes comme par exemple le diagramme de cas d'utilisation *UML* [15].

Les besoins non fonctionnels, appelés *exigences de qualité*, sont soit des exigences facultatives, soit des contraintes, qui sont détaillées dans l'architecture du système. Ils décrivent comment le système fera les objectifs suivants : la sécurité, la performance (par exemple, le temps de réponse, le temps de rafraîchissement, le temps de traitement, l'importation/exportation de données, le temps de chargement), la capacité (transactions par heure, stockage de mémoire), la disponibilité, l'intégrité des données, l'évolutivité, l'énergie, etc. Ce type d'exigences doit être validé pendant la majorité des phases du cycle de vie de l'*ED*.

1.3 Techniques d'optimisation

Vu la volumétrie gigantesque des données et la complexité des requêtes utilisées, un des éléments clés qui garantisse une bonne conception physique d'un entrepôt de données consiste à bien choisir les structures d'optimisation[21]. Chacune d'elles est liée à un problème d'optimisation NP-Complet et supportée par certaines approches proposées par la communauté de recherche.

Plusieurs techniques d'optimisation ont été proposées pour optimiser les requêtes

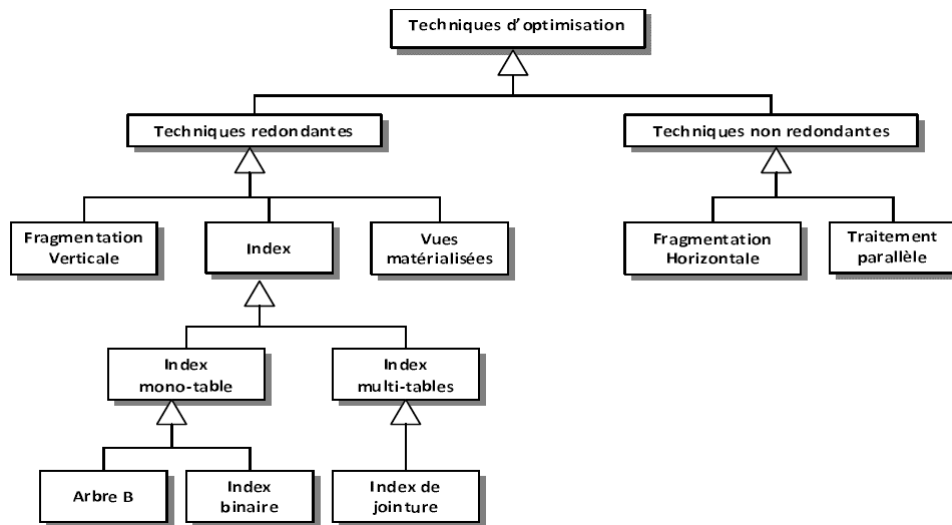


FIGURE 1.7 – Les techniques d'optimisation [13]

de jointure en étoile. Ces techniques appartiennent à deux catégories : *(i)* techniques d'optimisation redondantes comme les indexs et les vues matérialisées ; et *(ii)* techniques d'optimisation non redondantes comme la fragmentation horizontale et le traitement parallèle.

1.3.1 Techniques d'optimisation non redondantes

Dans cette section, nous présentons deux techniques d'optimisation non redondantes, à savoir la fragmentation horizontale primaire définie et la fragmentation horizontale dérivée.

La fragmentation horizontale primaire et dérivée

La fragmentation horizontale consiste à partitionner les objets de la base de données (tables, vues et index) en plusieurs ensembles de lignes appelés *fragments horizontaux*. Chaque ligne représente une instance de l'objet fragmenté. Les instances appartenant au même fragment horizontal vérifient généralement un prédicat de sélection. Chaque fragment horizontal T_i d'une table T est défini par une clause de

sélection sur la table T comme suit : $T_i = \delta_{cli}(T)$.

La fragmentation horizontale constitue un aspect important dans la conception physique des bases de données [55]. Elle est considérée comme une technique d'optimisation non redondante du fait qu'elle ne réplique pas de données.

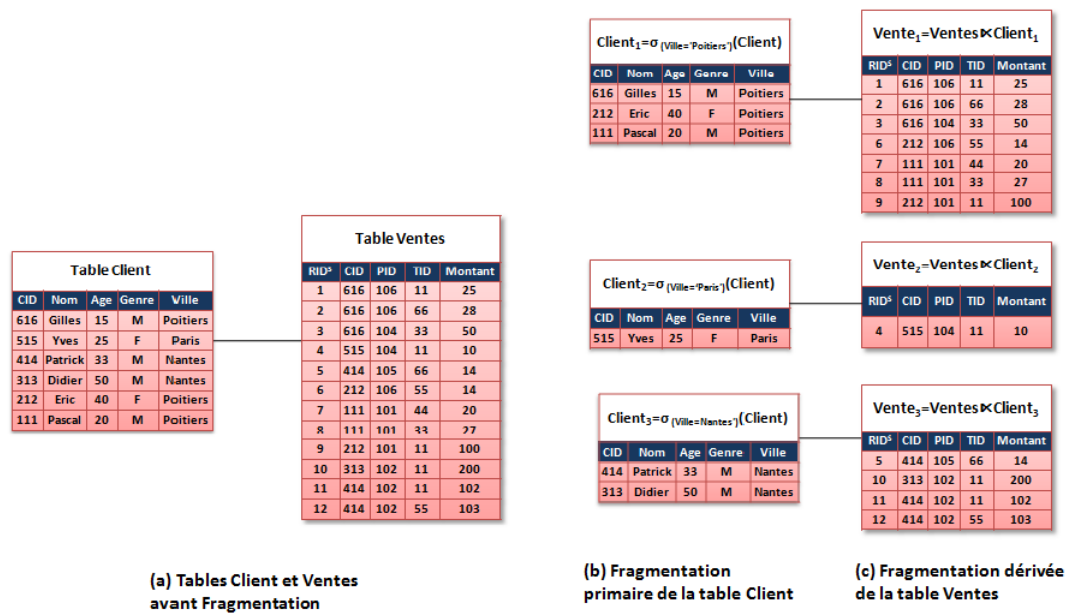


FIGURE 1.8 – La fragmentation horizontale primaire et dérivée [13]

Elle a un impact important sur la performance des requêtes définies sur les données de volume important. Elle a aussi un impact significatif sur la facilité de gestion et la maintenance des données. Deux types de fragmentation horizontale sont disponibles : primaire et dérivée.

La fragmentation horizontale primaire d'une table se base sur les prédicats de sélection définis sur cette table.

La fragmentation horizontale dérivée utilise le lien existant entre deux tables pour fragmenter l'une d'entre elles en fonction des fragments de l'autre. De ce fait, la fragmentation horizontale dérivée d'une table se base sur les prédicats de sélection définis sur une autre table. Concrètement, la fragmentation dérivée d'une table S n'est possible qu'à travers une jointure dans le sens qu'elle soit liée avec une table T

par sa clé étrangère. Une fois la table T fragmentée par la fragmentation primaire, les fragments de S sont générés par une opération de semi-jointure entre S et chaque fragment de la table T . Les deux tables seront équi-partitionnées grâce au lien père-fils.

1.3.2 Techniques d'optimisation redondantes

Cette catégorie comprend les vues matérialisées, les indexs, la fragmentation verticale, etc. Ces techniques optimisent les requêtes, mais il faut prendre en considération le coût de stockage supplémentaire de la structure en question et le coût de sa maintenance dû aux différentes opérations de mise à jour (Insertion, Modification, Suppression) effectuées sur les données. Il est évident que plus la base de données est volumineuse, plus le temps de réponse sera lent surtout si nous partons du principe que cet accès s'effectue de façon séquentielle et aussi répétitive dû aux opérations de jointure des requêtes. Dans ce contexte, nous reconnaissons l'importance des indexs de façon générale étant donné qu'ils rendent l'accès séquentiel en un accès direct. Il existe différents types d'indexs : Index B-Tree, Index de projection, Index de hachage, Index binaire, Index de jointure, Index de jointure en étoile, Index de jointure binaire, Index de jointure de dimension.

Comme nous allons travailler sur les index de jointure binaire en particulier, alors nous allons étudier les différents indexs de plus près.

Index B-Tree

La majorité des SGBD commerciaux utilisent l'index B-TREE comme étant l'index par défaut. Cet index est organisé sous forme d'un arbre à plusieurs niveaux. Chaque nœud d'un niveau pointe vers le niveau inférieur. Le niveau le plus bas qui comporte les nœuds feuilles contient les entrées d'index ainsi qu'un pointeur vers l'emplacement physique de l'enregistrement correspondant (*ROWID*). La figure 1.9 représente un exemple d'index B-arbre construit sur l'attribut *PID* de la table *Produit*.

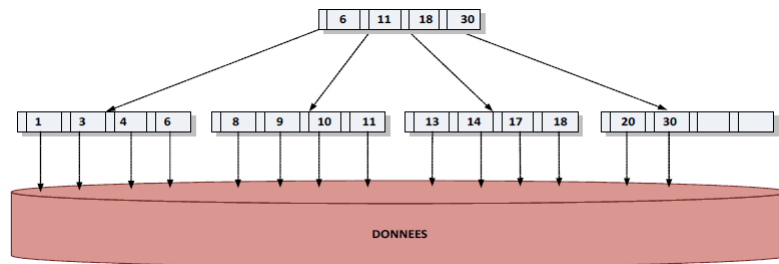


FIGURE 1.9 – Index B-Tree [13]

Index de projection

Un index de projection est défini sur un ou plusieurs attributs d'une table. Il consiste à stocker toutes les valeurs de ces attributs dans l'ordre de leur apparition dans la table. Généralement, les requêtes accèdent à un sous-ensemble d'attributs d'une table. Si ces attributs sont contenus dans un index de projection, l'optimiseur ne charge que cet index pour répondre à la requête. La figure 1.10 montre un index de projection défini sur l'attribut *Ville* de la table *Client*.

Table Client					Index de projection sur l'attribut Ville
CID	Nom	Age	Sexe	Ville	Ville
616	Gilles	15	M	Poitiers	Poitiers
515	Yves	25	F	Paris	Paris
414	Patrick	33	M	Nantes	Nantes
313	Didier	50	M	Nantes	Nantes
212	Eric	40	F	Poitiers	Poitiers
111	Pascal	20	M	Poitiers	Poitiers

FIGURE 1.10 – Index de projection [13]

Index de hachage

L'index de hachage utilise une fonction de hachage. Cette fonction permet, à partir d'une valeur de clé c , de donner l'adresse $f(c)$ d'un espace de stockage où l'élément doit être placé. La figure montre un index de hachage construit sur l'attribut *PID*

d'une table Produit. Dans ce type d'index, le choix de la fonction de hachage est la tâche la plus importante pour garantir une bonne performance de l'index. Par exemple, si la fonction donne la même valeur à un nombre important d'éléments, alors l'accès ressemblera à un balayage séquentiel et ainsi l'index perd son intérêt.

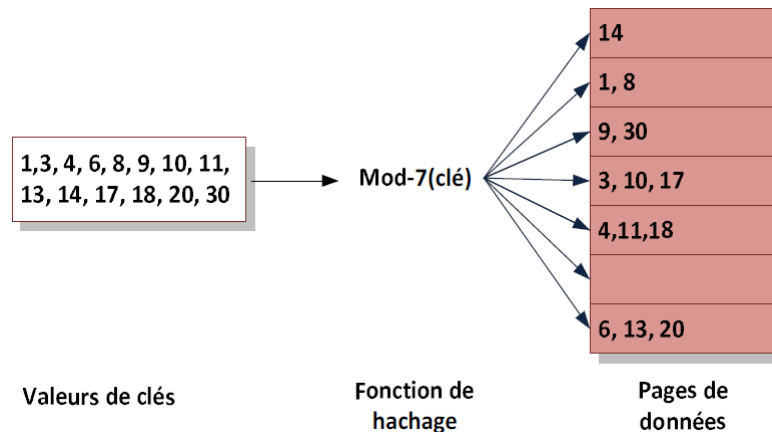


FIGURE 1.11 – Index de hachage [13]

Index binaire (bitmap index)

L'index binaire utilise un ensemble de vecteurs binaires (contenant des valeurs 0 ou 1) pour référencer l'ensemble des n-uplets d'une table. Pour chaque valeur de l'attribut indexé, un vecteur de bits est stocké. Ce vecteur contient autant de bits qu'il y a de n-uplets dans la table indexée. L'index binaire a été considéré comme le résultat le plus important obtenu dans le cadre de l'optimisation de la couche physique des entrepôts de données [27].

Supposons un attribut A ayant n valeurs distinctes v_1, v_2, \dots, v_n (n est appelé *cardinalité* de A) appartenant à une table T composée de m instances. La construction de l'index binaire IB défini sur l'attribut A se fait de la manière suivante :

1. Créer n vecteurs composés chacun de m entrées ;
2. Pour chaque n-uplet i , ($1 \leq i \leq m$) dans T , si $i.A = v_k$, alors mettre 1 dans le i^{eme} bit du vecteur correspondant à v_k , mettre 0 dans les i^{emes} bits des autres vecteurs. Si une requête recherche les n-uplets vérifiant un prédicat d'égalité

Table Client				
CID	Nom	Age	Sexe	Ville
616	Gilles	15	M	Poitiers
515	Yves	25	F	Paris
414	Patrick	33	M	Nantes
313	Didier	50	M	Nantes
212	Eric	40	F	Poitiers
111	Pascal	20	M	Poitiers

Index binaire sur l'attribut Ville		
Poitiers	Paris	Nantes
1	0	0
0	1	0
0	0	1
0	0	1
1	0	0
1	0	0

FIGURE 1.12 – Index binaire [13]

(par exemple $A = v_k$), alors il suffit de lire le vecteur associé à v_k , chercher les bits ayant la valeur 1, ensuite accéder aux n-uplets correspondant à ces bits. La figure 1.12 montre un exemple d'index binaire construit sur l'attribut *Ville* de la table *Client*.

Index de jointure

Quelque soit la base de données opérationnelle ou bien décisionnelle l'opération de jointure est toujours présente et surtout dans les requêtes *OLAP*. Elle est très coûteuse, puisqu'elle manipule de grands volumes de données. Plusieurs implémentations de la jointure ont été proposées dans les bases de données traditionnelles : les fonctions de hachage, les boucles imbriquées, etc. Ces implémentations perdent leur apport et restent limitées lorsque la taille des tables concernées par la jointure est importante. *Valduriez* a proposé un index de jointure, qui pré-calcule la jointure entre deux tables [59]. L'index de jointure matérialise les liens existant entre deux tables en utilisant une table à deux colonnes chacune représentant l'identifiant d'une table. Soit R et S deux tables qui peuvent être jointes par les attributs $R.a$ et $S.b$. L'index de jointure est l'ensemble des n-uplets $\langle R.ID_i, S.ID_j \rangle$ tel que les n-uplets de R et S ayant respectivement pour identifiant ID_i et ID_j vérifient la condition de jointure.

Notons que la taille de l'index de jointure dépend de la sélectivité de la jointure. Si la jointure est très sélective alors la taille de l'index est très petite.

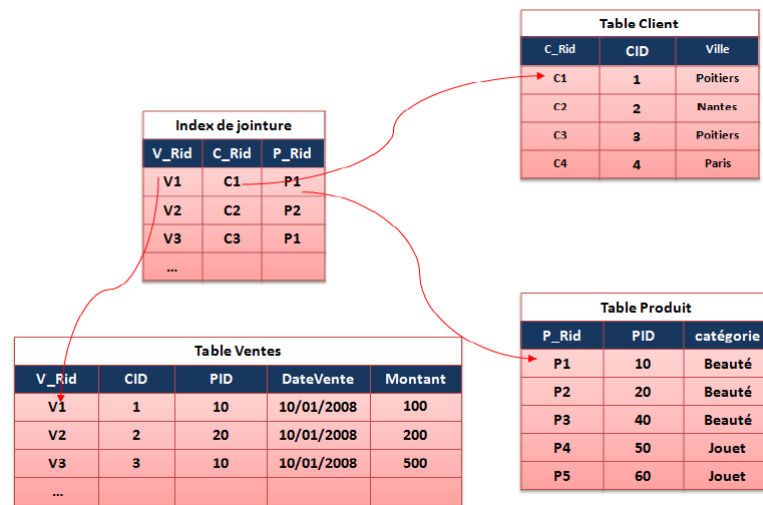


FIGURE 1.13 – Index de jointure [13]

L'exploitation de l'index de jointure IJ entre R et S se fait de la manière suivante :

1. Charger l'index de jointure IJ ;
2. Effectuer la semi-jointure $R \times IJ$;
3. Effectuer la semi-jointure $S \times IJ$;
4. Effectuer la jointure des deux résultats.

Conclusion

Nous avons exposé dans ce chapitre une présentation des entrepôts de données, leur différence avec les bases de données traditionnelles et leur architecture générale. Nous avons aussi vu la modélisation des entrepôts de données avec le modèle multidimensionnel qui peut être implémentée sur deux modèles : *MOLAP* et *ROLAP*. Par la suite, nous avons abordé le sujet des techniques d'optimisation des entrepôts de données et nous avons vu les différentes approches. Dans le chapitre suivant, nous allons détailler une technique d'optimisation particulière qui est l'index de jointure binaire.

Chapitre 2

Les index de jointure binaires *IJB*

Introduction

Pour réduire le temps de réponse très élevé des requêtes et satisfaire les besoins des décideurs, l'administrateur de l'entrepôt est amené à faire une bonne conception physique. Dans cette dernière, il doit sélectionner un ensemble de techniques d'optimisation (voir Chapitre 1), qu'il considère pertinent pour l'ensemble des besoins des décideurs (exprimés sous forme de requêtes). Parmi les techniques d'optimisation les plus utilisées, on trouve les index en général et les index de jointure binaires (*IJB*) en particulier, ces derniers servent à pré-calculer la jointure entre la table de faits et une ou plusieurs tables de dimensions.

Pour bien présenter les *IJB*, leur utilité et les différentes techniques de sélection nous avons organisé ce chapitre en 4 sections. La section 1 présente les *IJB* et la formalisation du problème de sélection des *IJB*. La section 2 donne la stratégie d'exécution d'une requête de jointure en étoile en présence d'un *IJB* avec un exemple. La section 3 présente le modèle de coût que nous avons choisi pour évaluer les différentes techniques d'optimisation des *IJB* présentes dans notre travail. La section 4 présente les approches existantes dans la littérature.

2.1 Concepts de bases

2.1.1 Définition de l'index de jointure binaire (IJB)

Les *IJB* sont une combinaison entre les indexs binaires et les indexs de jointure. Ils sont largement utilisés dans les environnements d'entrepôts de données. Ces environnements ont généralement une grande quantité de données et des requêtes ad hoc, mais un faible niveau de transactions *LMD* simultanées. Pour de telles applications, l'*IJB* permet de :

- Réduire le temps de réponse pour les grandes requêtes ad hoc,
- Réduire les besoins de stockage par rapport à d'autres techniques d'indexation,
- Améliorer les performances même sur le matériel avec un nombre relativement petit de CPU ou une mémoire limitée,
- Maintenance efficace et facile.

L'indexation complète d'une grande table avec un index B-tree traditionnel peut être prohibitive en termes d'espace car les indexs peuvent être plusieurs fois plus grands que les données dans la table. Les *IJB* ne représentent généralement qu'une portion de la taille des données indexées dans la table.

Les *IJB* sont principalement destinés aux applications décisionnelles où les utilisateurs consultent les données plutôt que de les mettre à jour. Ils ne conviennent pas aux applications *OLTP* avec un grand nombre de transactions simultanées essayant de modifier les données. La consultation parallèle et le *LMD* traitent les *IJB* comme ils le font avec des indexs traditionnels [50].

Les *IJB* réduisent les exigences de stockage par rapport à d'autres techniques d'indexation sur la même quantité de données [62], surtout lorsque l'attribut indexé comporte un petit nombre de valeurs distinctes (la cardinalité n'est pas élevée) [2]. L'index de jointure binaire (*IJB*) est une variante des indexs de jointure. Il constitue une combinaison entre l'index de jointure et l'index binaire. Il a été proposé pour pré-calculer les jointures entre une ou plusieurs tables de dimension et la table de faits dans les entrepôts de données modélisés par un schéma en étoile [47, 48]. L'*IJB* est défini sur un ou plusieurs attributs appartenant à plusieurs tables, nous distinguons deux types d'*IJB* : les *IJB* simples (mono-attribut) définis sur un seul

attribut d'une table de dimension et les *IJB* multiples (multi-attributs) définis sur plusieurs attributs issus d'une ou plusieurs tables dimensions, contrairement aux index binaires standards où les attributs indexés appartiennent à la même table. Supposons un attribut A ayant n valeurs distinctes v_1, v_2, \dots, v_n appartenant à une table de dimension D . Supposons que la table de faits F est composée de m instances. La construction de l'*IJB* défini sur l'attribut A se fait de la manière suivante :

1. Créer n vecteurs composés chacun de m entrées ;
2. L' i ème bit du vecteur correspondant à une valeur v_k est mis à 1 si le n-uplet de rang i de la table de faits est joint avec un n-uplet de la table de dimension D tel que la valeur de A de cet n-uplet est égale à v_k . Il est mis à 0 dans le cas contraire.

Plus formellement : $IJB_k^j = 1$ si $\exists td \in D$ tel que $tf_j.D_{id} = td.D_{id} \wedge td.A = v_k$ où IJB_k^j , tf_i, td représentent respectivement le j ème bit du vecteur correspondant à la valeur v_k , le n-uplet de F de rang j , un n-uplet de la table D , la clé étrangère de D .

Table Client			
RID ^c	CID	Nom	Ville
6	616	Gilles	Poitiers
5	515	Yves	Paris
4	414	Patrick	Nantes
3	313	Didier	Nantes
2	212	Eric	Poitiers
1	111	Pascal	Poitiers

Table Ventes				
RID ^s	CID	PID	TID	Montant
1	616	106	11	25
2	616	106	66	28
3	616	104	33	50
4	515	104	11	10
5	414	105	66	14
6	212	106	55	14
7	111	101	44	20
8	111	101	33	27
9	212	101	11	100
10	313	102	11	200
11	414	102	11	102
12	414	102	55	103

Index de jointure binaire			
RID	Poitiers	Paris	Nantes
1	1	0	0
2	1	0	0
3	1	0	0
4	0	1	0
5	0	0	1
6	1	0	0
7	1	0	0
8	1	0	0
9	1	0	0
10	0	0	1
11	0	0	1
12	0	0	1

FIGURE 2.1 – Index de jointure binaire [13]

Ce qui suit un exemple illustratif d'un *IJB*.

Exemple 1 Soit la table de faits *VENTES* qui comprend 12 tuples, et soit l'attribut *Ville* de la table de dimension *Client* ayant 3 valeurs distinctes *Poitiers*, *Paris* et

Nantes. La construction de l'index de jointure binaire *IJB* défini sur l'attribut *A* s'effectue comme suit :

- Créer 12 vecteurs, chacun comprenant 3 entrées,
- Le premier enregistrement de la table de faits *Ventes* est joint avec le premier enregistrement de la table de dimension *Client* tel-que ce client habite la ville *Poitiers*. Ainsi, la case correspondante à la ville de *Poitiers* de la première ligne de cet *IJB* est mise à 1, le reste sera mis à 0, et de même pour tous les autres enregistrements.

La syntaxe SQL relative à sa création est la suivante :

```
CREATE BITMAP INDEX Client_Ville_IJB
ON Ventes(Client.Ville)
FROM Ventes, Client
WHERE Ventes.CID= Client.CID
```

2.1.2 Formalisation du problème de sélection d'index

Le problème de sélection d'index est un problème difficile qui consiste à choisir la configuration d'index optimale susceptible d'optimiser les requêtes de jointure en étoile et réduire leur temps d'exécution. Cette configuration d'index doit respecter certaines contraintes imposées dans un entrepôt de données telles que l'espace de stockage, le nombre d'index par table, le temps de maintenance et de mise à jour, etc. Par conséquent, ce type de problème est considéré dans la communauté de recherche comme un enjeu critique dans la conception physique étant donné qu'un *IJB* est en général défini sur un ensemble d'attributs issus de plusieurs tables différentes. Pour formaliser ce problème, nous pouvons dire qu'en entrée, nous disposons de 3 paramètres essentiels :

1. Un ensemble de requêtes $Q = \{Q_1, Q_2, \dots, Q_m\}$ qui forment la charge de travail,
2. Un schéma d'entrepôt de données renfermant une table de faits F et un groupe de tables de dimensions D_i ,

3. Les contraintes de coût de stockage maximum à ne pas dépasser.

Le problème de sélection des *IJB* consiste à déterminer une configuration d'index dont le coût d'exécution soit minimal tout en respectant l'ensemble des contraintes. Le problème de sélection des *IJB* est considéré comme un problème NP-Complet [22]. Par conséquent, élaborer un algorithme exhaustif fournissant une solution optimale et exacte en un temps raisonnable devient impossible. Dans ce contexte, la communauté de recherche s'intéresse à réaliser un algorithme s'appuyant sur des heuristiques pour s'approcher de la solution optimale représentée sous forme d'une configuration d'index basée sur un ensemble d'attributs candidats.

Pour construire une configuration d'index optimale, nous devons déterminer les attributs pertinents à indexer et cela peut s'effectuer de deux manières :

- **Sélection manuelle** : une technique qui s'appuie sur l'expertise humaine. En effet, cette tâche est effectuée par l'administrateur qui doit avoir une bonne pratique, l'expérience nécessaire, et un raisonnement fiable pour choisir les attributs candidats.
- **Sélection automatique** : ce type de sélection passe par deux phases cruciales (cf. figure 2.2) :

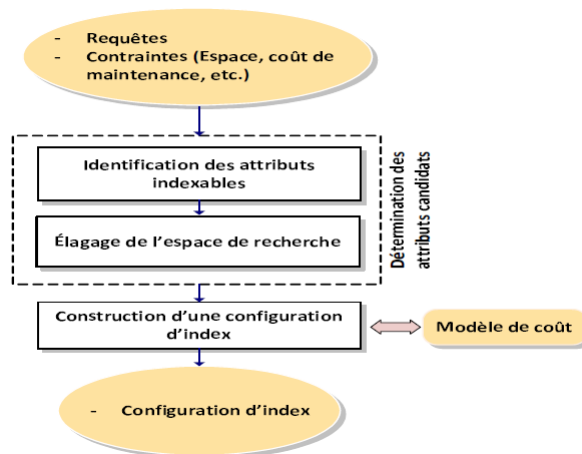


FIGURE 2.2 – Approche générique de sélection d'IJB

1. **Détermination des attributs candidats** : étant donné que l'espace de recherche des attributs candidats est exponentiel, une bonne étude des requêtes est essentielle pour le réduire en élaguant certains attributs qui sont moins intéressants que d'autres.
2. **Construction de la configuration finale des index** : dans cette deuxième phase, nous nous basons sur des modèles de coût qui estiment le temps d'exécution des requêtes et nous permettent ainsi d'aboutir à une configuration finale qui renferme les meilleurs attributs à indexer.

2.2 Stratégie d'exécution en présence des IJB

Une requête de jointure en étoile est caractérisée par un ensemble de sélections sur les tables de dimension, suivies de jointures avec la table de faits. Si tous les attributs des prédicats de sélection sont indexés, alors l'exécution d'une requête de jointure passe par 4 étapes [13], commence par la réécriture de la requête et se termine par la récupération des n-uplets de la table de faits. Dans ce qui suit, nous présentons une description détaillée des étapes [13] :

1. Effectuer une réécriture de la requête qui consiste à séparer chaque jointure dans une sous-requête. Chaque sous-requête représente l'ensemble des sélections effectuées sur chaque table de dimension.
2. Pour chaque sous-requête, utiliser les *IJB* définis sur la table de dimension pour trouver un vecteur de bits représentant les n-uplets de la table de faits référencés par la sous-requête.
3. Effectuer une opération AND entre les vecteurs obtenus à partir des sous-requêtes pour trouver un seul vecteur référençant tous les n-uplets référencés par la requête.
4. Utiliser le vecteur résultat pour accéder à la table de faits et récupérer les n-uplets référencés par la requête globale.

Pour montrer cette stratégie d'exécution, nous présentons l'exemple suivant.

Exemple 2 Soit l'entrepôt de données de la figure 1.12 de la page 22. Supposons la requête Q définie par :

```

SELECT avg(montant)
FROM Ventes V, Client C, Produit P, Temps T
WHERE V.CID=D.CID AND V.PID=P.PID AND V.TID=T.TID AND
C.VILLE=('Poitiers' OR 'Nantes') AND Mois ='Mars'
AND (P.TYPE='Jouet' OR 'Beauté')

```

Supposons l'existence de trois index mono-attributs, *IJB-Ville*, *IJB-Mois* et *IJB-Type* définis comme suit :

1. CREATE BITMAP INDEX IJB-VILLE
ON Ventes(Client.Ville)
FROM Ventes, Client
WHERE Client.CID=Ventes.CID
2. CREATE BITMAP INDEX IJB-MOIS
ON Ventes(Temps.Mois)
FROM Ventes, Temps
WHERE Client.CID=Ventes.CID
3. CREATE BITMAP INDEX IJB-TYPE
ON Ventes(Produit.Type)
FROM Ventes, Produit
WHERE Client.CID=Ventes.CID

Pour exécuter Q , nous suivons les trois étapes ci-dessus mentionnées.

1. La réécriture de Q donne :

```

SELECT avg(montant)
FROM Ventes
WHERE CID in
(SELECT CID FROM Client WHERE AND VILLE=('Poitiers' OR 'Nantes'))
AND V.PID in
(SELECT P.PID FROM Produit WHERE (P.TYPE='Jouet' OR 'Beauté'))
AND V.TID in
(SELECT T.TID FROM Time WHERE T.Mois ='Mars')

```

2. Le calcul du vecteur de bits relatif à chaque sous-requête se fait comme suit (cf. figure 2.3) :

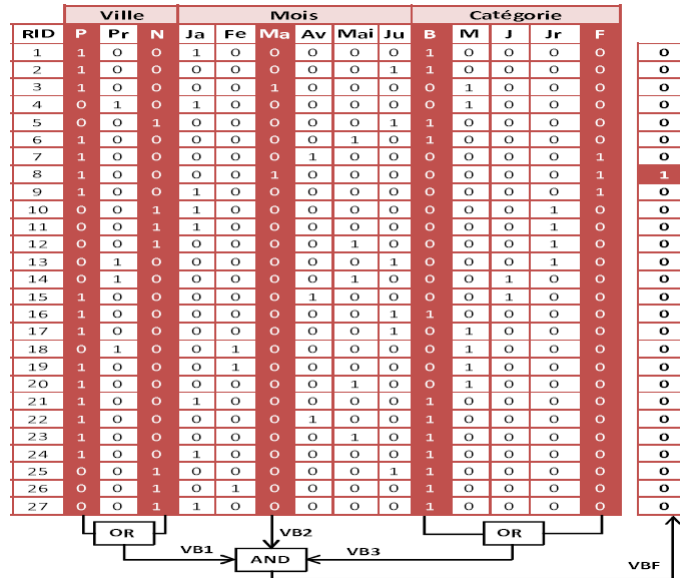


FIGURE 2.3 – Vecteur de bits d'un IJB [13]

- Sous-requête 1 : l'optimiseur calcule le vecteur vérifiant le prédicat

`C.VILL E= ('Poitiers' OR 'Paris')`.

Pour cela, il effectue une opération *OR* entre les deux vecteurs représentant les valeurs *Poitiers* et *Paris*. Le résultat est sauvegardé dans un vecteur binaire *VB1*.

- Sous-requête 2 : chargement du vecteur relatif à la valeur

`Mois ='Juin'`.

Le résultat est sauvegardé dans un vecteur binaire *VB2*.

- Sous-requête 3 : Chargement des vecteurs relatifs aux valeurs *Jouet* et *Beaut*. Il effectue une opération *OR* pour avoir un vecteur résultat. Le résultat est sauvegardé dans un vecteur binaire *VB3*.

3. L'optimiseur calcule un vecteur binaire final VBF qui est le résultat d'une opération AND entre les trois vecteurs obtenus comme suit : $VBF = VB1 AND VB2 AND VB3$.
4. L'optimiseur accède à partir de VBF aux n-uplets de la table de faits en utilisant les *rowids* correspondant aux bits mis à 1 dans VBF . Il calcule la moyenne du montant de ces n-uplets.

Cet exemple montre l'intérêt de ce type d'index pour l'optimisation de requêtes décisionnelles.

2.3 Modèle de coût

Généralement, le nombre d'index candidats est d'autant plus important que la charge en entrée est volumineuse. La création de tous ces index peut ne pas être réalisable en pratique à cause des contraintes systèmes telles que la taille de l'espace de stockage alloué aux index ou le nombre limité d'index par table. Pour contourner ces limitations, nous avons utilisé le modèle de coût proposé par *Aouiche et al.* [6]. À partir d'une requête Q et d'une configuration d'index CI , ce modèle permet d'estimer la taille des index de la CI ainsi que le coût d'exécution de Q en termes de nombre d'entrées-sorties en présence de la CI . Il utilise un ensemble de paramètres dont les plus importants sont représentés sur le tableau 2.1.

2.3.1 Types de modèle de coût

Nous différencions deux types de modèles de coût :

Modèle basé sur une fonction mathématique adhoc : cette catégorie de modèles définit une fonction de coût qui prend en entrée une requête et un plan d'exécution et donne en sortie le coût de ce plan. Ce coût est calculé en utilisant des formules qui prennent en compte un certain nombre de paramètres et de statistiques collectées sur la base de données, tout en considérant un certain nombre d'hypothèses.

Modèle basé sur l'optimiseur des requêtes : ils font appel à l'optimiseur de requêtes du SGBD utilisé pour estimer le coût d'une requête. L'optimiseur

TABLE 2.1 – Paramètres du modèle de coût

Symbole	Description
$ T $	Nombre de n-uplets de la table T ou cardinalité de l'attribut X
S_p	Taille en octets d'une page disque
PT	Nombre de pages nécessaires pour stocker la table T
$S_{pointeur}$	Taille en octets du pointeur d'une page
m	Ordre d'un B-tree
d	Nombre de bitmaps utilisés pour évaluer une requête donnée
$w(X)$	Taille en octets d'un n-uplet de la table T ou de l'attribut X

reçoit la requête, il évalue les différents plans d'exécution et retourne le meilleur plan avec son coût. Le fait d'utiliser l'optimiseur de requêtes rend le calcul du coût plus fiable mais engendre deux inconvénients majeurs : *(i)* le coût que l'optimiseur estime dépend du SGBD utilisé et *(ii)* Le fait de recourir souvent à l'optimiseur engendre un coût d'exécution supplémentaire et dégrade la qualité de l'optimiseur qui passe plus de temps à estimer le coût d'exécution des requêtes qu'à les exécuter.

2.3.2 Coût de stockage d'un IJB

Un *IJB* construit sur un ensemble d'attributs de dimension, stocke pour chaque n-uplet de la table de faits son identificateur de ligne (*RowID*) ainsi qu'un ensemble de vecteurs binaires représentant chacune une valeur des attributs indexés. L'espace de stockage d'un *IJB* dépend de deux paramètres : le nombre de n-uplets de la table de faits et la cardinalité des attributs indexables. Soit un index I défini sur n attributs A_1, A_2, \dots, A_n . L'espace de stockage en octets de I est calculé par la formule suivante : $Taille(I) = \frac{(|RowID| + \sum_{j=1}^n |A_j|) \times |F|}{8}$

2.3.3 Coût d'exécution

Le coût d'exécution d'une requête est exprimé en nombre d'entrées-sorties nécessaires pour son exécution. Selon les attributs indexés dans CI , nous pouvons considérer trois scénarii possible pour l'exécution de Q : (i) aucun attribut indexable de Q n'est couvert par CI ; (ii) tous les attributs indexables de Q sont couverts par CI ; et (iii) quelques attributs indexables de Q sont couverts par CI .

1. **Scénario 1 : Aucun attribut de Q n'est indexé dans CI :** dans le cas d'absence d' IJB utilisés par Q , toutes les jointures de Q peuvent être calculées en utilisant la jointure par hachage. Pour calculer le coût d'exécution de ces jointures, nous avons utilisé le modèle de coût développé et décrit dans *Aouiche et al.* [6] où il suppose que toutes les jointures sont obtenues par la jointure par hachage. Le nombre d'E/S nécessaires pour joindre le table R avec la table S est alors $C_{hash} = 3(pS + pR)$ (pX = Nombre de pages nécessaires pour stocker la table X).
2. **Scénario 2 : Tous les attributs de Q sont indexés dans CI :** ce cas représente la situation idéale où toutes les jointures dans Q ont été pré-calculées dans CI . L'exécution de Q dans ce cas passe par deux étapes importantes : le chargement des index, ensuite l'accès aux données. Par conséquent, deux coûts sont considérés : le coût de chargement des index et le coût d'accès aux données.

— *Coût de chargement des index :* le coût de chargement d'un IJB noté $CC(I)$ correspond au nombre de pages lues pour le charger. Il est calculé par la formule suivante : $CC(I) = \frac{Taille(I)}{PS}$

Le coût de chargement de l'ensemble d'index utilisés par une requête Q est égal à la somme des coûts de chargement de ces index.

— *Coût d'accès aux n-uplets :* soit N_t le nombre de n-uplets de la table de faits référencés par la requête Q . Le coût de lecture (CL) de ces n-uplets est donné par la formule suivante : $CL = \|F\|(1 - e^{-\frac{N_t}{\|F\|}})$,

où $\|F\|$ désigne le nombre de pages nécessaires pour stocker la table de faits F .

3. **Scénario 3 : Quelques attributs de Q sont indexés dans CI :** dans ce scénario, l'exécution de Q se fait en deux phases. Dans la première phase, les indexs utilisés par Q sont chargés et utilisés pour trouver un ensemble de n -uplets de la table de faits. Le coût de cette phase est calculé comme celui du scénario 2. Il correspond au coût de chargement des indexs utilisés ainsi que celui de chargement des n -uplets de faits. Dans la deuxième phase, les jointures non encore effectuées (à cause de l'absence d' IJB les pré-calculant dans CI) sont effectuées entre les n -uplets de faits, résultats de la première étape, et les tables de dimension non encore jointes. Le coût de cette étape est calculé en utilisant le modèle que nous avons défini dans le chapitre 3 (voir scénario 1).

2.4 État de l'art

Déterminer les attributs candidats à partir d'un entrepôt de données est un problème combinatoire et l'espace de recherche correspondant est gigantesque. Donc, on ne peut pas se permettre d'implémenter des solutions exhaustives ou énumératives. Pour réduire ce coût, nous passons comme première approche par une phase d'élagage (pruning) afin de réduire l'espace de recherche. Plusieurs travaux se sont intéressés à cette phase de d'élagage, qui s'appuie sur certains critères de sélection qui privilégie des attributs par rapport à d'autres tels que la fréquence d'utilisation, et la taille des tables, etc. [28]. Cependant, la sélection d'un ensemble optimal d'index est un problème très difficile [20] en raison du volume de données important et du nombre exponentiel d'attributs candidats pouvant être utilisés dans le processus de sélection. Pour réduire cette complexité, la plupart des techniques (*Chaudhuri et Narasayya, 1997* [19]; *Valentin et al., 2000* [60]; *Chaudhuri et al., 2004* [20]; *Aouiche et al., 2005* [6]; *Bellatreche et al., 2008* [9]) élaguent l'espace de recherche pour réduire le nombre d'attributs candidats, les indexs sont sélectionnés avec des algorithmes différents tels que des algorithmes glouton, des algorithmes linéaires, etc. même un algorithme génétique a été proposé pour la sélection d' IJB simple [11].

Dans ce travail, nous nous focalisons sur la sélection des IJB dans les entrepôts de données modélisés par un schéma en étoile.

2.4.1 L'approche de Aouiche et al. 2005

L'algorithme CLOSE (*Pasquier et al., 1999* [52]) de recherche des motifs fréquents fermés, notés *IFF*, est utilisé pour élaguer l'espace de recherche des *IJB*. Un motif fermé est défini comme suit :

Definition 1 Soit $\Gamma = \{i_1, i_2, \dots, i_m\}$ un ensemble fini d'éléments, et $D = \{T_1, T_2, \dots, T_n\}$ un ensemble de données contenant N transactions, où chaque transaction $T_k \in D$ est un élément tel que $T_k \subseteq \Gamma$. Nous appelons *k-itemset* une séquence de k éléments distincts [1]. Un ensemble I est dit fréquent si son support est supérieur à un certain seuil appelé *minsup*. Le support d'un ensemble d'éléments est défini comme étant le nombre de transactions contenant ces éléments. Un motif est fermé s'il n'y a pas de super-ensemble avec la même fréquence [29].

Notons que les motifs générés servent à construire l'ensemble des *IJB* candidats. Un algorithme glouton est ensuite exécuté pour sélectionner une configuration finale d'*IJB*. Aouiche et al. [6] considèrent seulement les fréquences d'accès des attributs comme critère de génération des motifs fréquents fermés.

- i **Extraction de la charge de requêtes** : à partir du journal des transactions sauvegardé et maintenu automatiquement par le SGBD.
- ii **Analyse de la charge** : la charge de requête obtenue est analysée afin d'extraire l'ensemble des attributs indexables.
- iii **Construction d'un contexte de recherche des motifs fermés** : à partir des attributs retenus de l'analyse de la charge, construire une matrice Requêtes-Attributs qui a des lignes représentant les requêtes, et des colonnes représentant les attributs indexables.
- iv **Application de l'algorithme CLOSE** [52].
- v **Construction de l'ensemble des index candidats** : l'ensemble des index candidats est construit à partir des motifs fréquents fermés résultant de l'application de l'algorithme CLOSE.
- vi **Construction de la configuration d'index finale** : à partir de l'ensemble d'index généré dans l'étape précédente, un algorithme glouton est appliqué

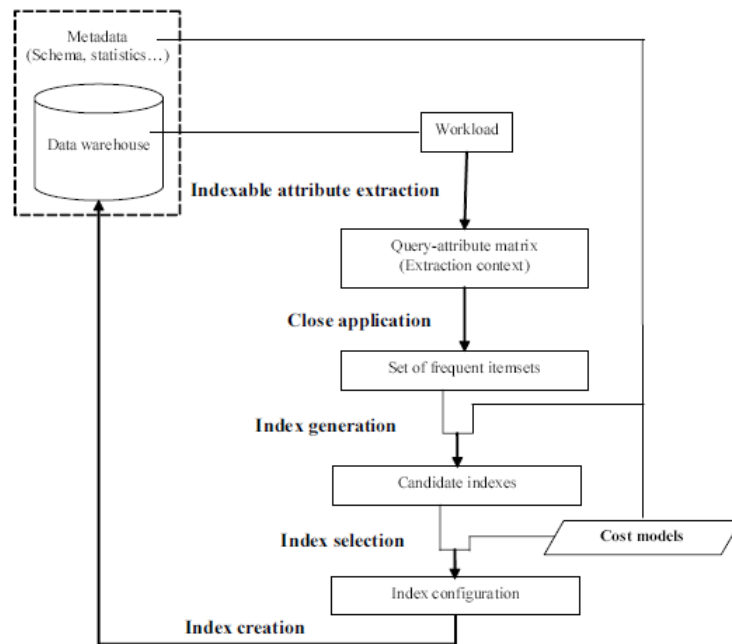


FIGURE 2.4 – L'approche Close de Aouiche [6]

pour sélectionner une configuration d'index finale. Cet algorithme procède en plusieurs itérations. Dans la première itération, la fonction objective est calculée pour chaque index candidat. L'index *Imax* maximisant la fonction objective est choisi pour former la configuration initiale. Durant chaque itération, un nouvel index vérifiant la même condition est ajouté à la configuration courante. L'algorithme s'arrête dans les cas suivants :

- Aucune amélioration de la fonction objectif n'est possible.
- Tous les indexs ont été sélectionnés.
- L'espace de stockage disponible est saturé.

La fonction objective utilisée repose sur un modèle de coût, qui permet de calculer la taille des indexs sélectionnés ainsi que le coût d'exécution des requêtes en présence de ces indexs.

La première fonction objective améliore les indexs qui offrent plus de profit lors de l'exécution des requêtes, la seconde favorise les indexs qui fournissent plus de

bénéfices et occupent moins d'espace de stockage. La troisième combine les deux premières afin de sélectionner d'abord tous les indexs offrant plus de profit et ne gardent que ceux qui occupent moins d'espace de stockage lorsque cette ressource devient critique.

2.4.2 Les travaux de Bellatreche 2008

Bellatreche et al. [9, 45] exposent une amélioration des travaux d'*Aouiche et al* [6], ils proposent l'algorithme DYNACLOSE qui est une adaptation de l'algorithme CLOSE sur lequel se basent *Aouiche et al.* en injectant des paramètres d'élagage, ce qui permet d'arriver directement à l'index de jointure binaire élu. L'algorithme proposé s'appuie sur une fonction permettant de pénaliser les attributs fréquents définis sur des tables de petites tailles.

Cette approche commence d'abord par déterminer les attributs indexables, sachant qu'un attribut indexable est un attribut qui ne fait pas partie de la table de faits et qui n'est pas un attribut clé de la table dimension. Ensuite, elle détermine la matrice de contexte. Une fois la matrice créée, cette approche fournit le support relatif à chaque attribut indexable et les motifs pour chaque requête. Et enfin, elle calcule la valeur de la fonction FITNESS de ces motifs en suivant la formule suivante. Pour un motif fréquent m_i , la formule est définie par :

$$Fitness(m_i) = \frac{1}{n} \times \left(\sum_{j=1}^n (\alpha_j \times sup_j) \right)$$

Où n désigne le nombre d'attributs non clés, j est l'attribut dans le motif à tester m_i . sup_j représente le support de j , α_j est un paramètre de pénalisation déterminé par l'équation : $\alpha_j = \frac{|D_j|}{|F|}$; sachant que les notations $|D_j|$ et $|F|$ expriment respectivement la taille de la table de dimension D à laquelle appartient l'attribut j et la table de faits F en nombre de pages.

Suite à la détermination des motifs fréquents générés, l'approche DYNACLOSE est utilisée dans la phase d'élagage de l'espace de recherche des indexs pour élaguer les motifs inaptes à produire un index de jointure. Par exemple, un motif fréquent et ne renfermant aucun attribut non clé de la table de dimension sera éliminé. La purification permet de générer un ensemble d'attributs indexables candidats. Cet ensemble est défini par l'union des attributs non clés appartenant aux motifs

fréquents générés.

2.4.3 L'approche de Boukhalfa et al. 2010

Boukhalfa et al. [14] présentent une approche de sélection d'une configuration d'*IJB* visant à réduire le coût d'exécution d'une charge de requêtes sous une contrainte de stockage. Cette approche permet à la fois d'extraire les *IJB* mono-attribut et les *IJB* multi-attributs.

L'extraction des *IJB* Mono-attribut se fait en 3 étapes :

- i **L'identification des attributs indexables** : sont choisis parmi les attributs indexables de faible et de moyenne cardinalité.
- ii **L'initialisation de la configuration** : configuration initiale composée d'un index mono-attribut défini sur l'attribut ayant une cardinalité minimum.
- iii **L'enrichissement de la configuration actuelle par l'ajout de nouveaux index** : une amélioration itérative par l'ajout d'index définis sur d'autres attributs non encore indexés. L'algorithme s'arrête lorsque l'une des deux conditions suivantes sont satisfaites : aucune amélioration n'est possible et l'espace de stockage est consommé.

L'extraction des *IJB* Multi-attribut se fait en 4 étapes :

- i **Identification des attributs indexables** : cette étape se fait de la même manière que dans l'approche de sélection des *IJB* mono-attribut.
- ii **Construction d'une configuration par requête** : dans cette étape, la charge de requête Q est éclatée en m sous-charges. Chaque sous-charge est composée d'une seule requête. Pour chaque requête Q_i nous sélectionnons l'index qui couvre tous les attributs indexables utilisés par cette requête.
- iii **Construction d'une configuration initiale** : le but de cette étape est de construire une configuration initiale à partir de l'ensemble des index générés lors de l'étape précédente. Cette configuration initiale est générée en effectuant l'union des index obtenus afin que chaque requête puisse être optimisée via l'*IJB* contenant tous les attributs indexables qu'elle utilise. Le nombre d'index dans la configuration initiale est inférieur ou égal au nombre de requêtes

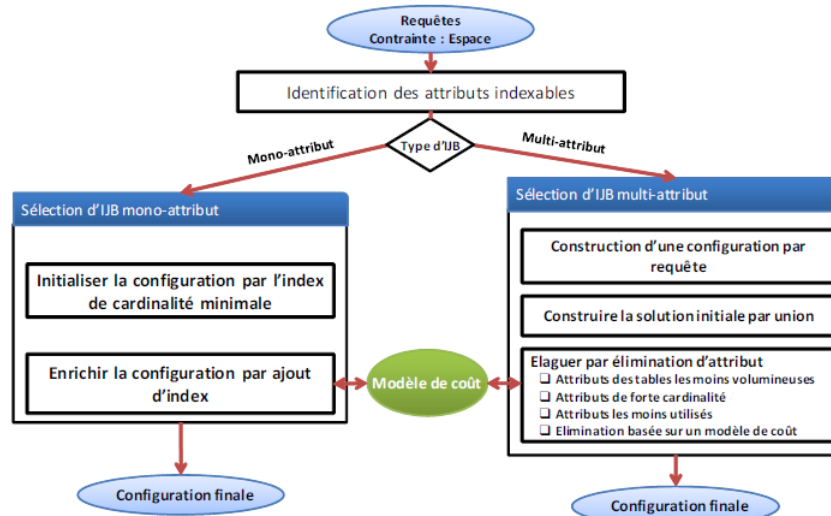


FIGURE 2.5 – L'approche de Boukhalfa et al. [13]

de la charge, car certaines requêtes partagent les mêmes index.

iv **Construction d'une configuration finale** : vu le nombre important d'attributs utilisés par la configuration initiale, l'administrateur est confronté au problème du choix des attributs à éliminer. Plusieurs stratégies peuvent être suivies pour effectuer ce choix.

- Elimination des attributs de forte cardinalité (AFC),
- Elimination des attributs appartenant aux tables moins volumineuses (TMV),
- Elimination des attributs les moins utilisés (AMU),
- Elimination des attributs apportant moins de réduction de coût (MC).

2.4.4 L'approche de Necir 2010

Necir et al. [46] exposent une amélioration de l'approche de *Azefack* [7] qui utilise l'algorithme *GenMax*. L'idée fondamentale de cette approche est que seuls les attributs fréquents dans les requêtes pour lesquelles chaque super-ensemble est infrequent sont considérés dans la configuration de l'index. *Necir et al.* proposent une

approche opérant en quatre étapes. Dans la première, ils effectuent un prétraitement de la charge de travail des requêtes. Dans la seconde, ils appliquent un nouvel algorithme d'élagage, appelé BJIMAX qui identifie l'ensemble des *IMF*. Un *IMF* est défini selon la définition 2.

Definition 2 Soit $\Gamma = \{i_1, i_2, \dots, i_m\}$ un ensemble fini d'éléments, et $D = \{T_1, T_2, \dots, T_n\}$ un ensemble de données contenant N transactions, où chaque transaction $T_k \in D$ est un élément tel que $T_k \subseteq \Gamma$. Nous appelons *k-itemset* une séquence de k éléments distincts [1]. Un ensemble I est dit fréquent si son support est supérieur à un certain seuil appelé *minsup*. Le support d'un ensemble d'éléments (en valeur absolue) est défini comme étant le nombre de transactions contenant ces éléments. Un ensemble est maximal s'il n'a pas de super ensemble qui est fréquent [29].

Ensuite, les *IMF* définies générées par BJIMAX sont nettoyées pour éviter les *IJB* erronées. Enfin, ils exécutent un algorithme glouton pour sélectionner l'ensemble des index gagnants parmi les candidats sélectionnés.

- i **Extraction de la charge de requêtes** : à partir du journal des transactions sauvegardé et maintenu automatiquement par le SGBD. **Analyse de la charge** : la charge de requête obtenue est analysée afin d'extraire l'ensemble des attributs indexables. **Construction d'un contexte de recherche des motifs fermés** : est une matrice qui a des lignes représentant les requêtes, et des colonnes représentant les attributs indexables.
- ii **Génération des IMF** : L'algorithme est inspiré de l'algorithme GENMAX de Gouda et Zaki, 2005 [29] qui adopte une stratégie de recherche en profondeur et est basé sur une nouvelle métrique d'élagage appelée *poids*. Ce dernier pénalise l'*IMF* définie sur un petit profit comme suit :

$$Weight(X) = \frac{sup(X)}{n} \times \left[\sum_{i=1}^n profit(A_i) \right]$$

Où n , $sup(X)$ représentent respectivement le nombre d'attributs et le support de l'attribut A_i dans $IMF(X)$. Le profit est calculé comme suit :

$$profit(A_i) = \frac{\|T_i\| \times LT}{PS}$$

où T_i , LT et PS représentent respectivement le nombre d'instances de T , la longueur d'une instance de T et la taille de la page (en octets). Necir et

al. définissent une nouvelle contrainte de valeur de seuil minimale, appelée *MinWeight* calculée comme suit : $MinWeight = MinSup \times Minprofit$ où *Minprofit* représente la valeur minimale du profit.

- iii **Sélection des IJB candidats** : l'algorithme élimine par la suite de l'ensemble des *IMF* générées par la dernière étape, celles qui ne respectent pas les exigences *IJB*. Rappelons que chaque *IJB* valide composé de N attributs distincts contient $2 * N$ attributs clés qui représentent les prédicats de jointure.

2.4.5 Travaux de Whang 1985

Whang et al. [61] ont proposé une approche ascendante et une approche descendante pour la sélection d'index. Ces deux approches sont implémentées par deux algorithmes DROP et ADD. L'approche descendante considère un état initial contenant tous les index possibles et durant chaque itération, l'index engendrant la plus grande décroissance du coût d'exécution de la charge de requête est éliminé. Quand l'élimination d'un seul index à la fois ne permet pas de réduire le coût d'exécution des requêtes, l'algorithme DROP élimine deux index à la fois, ensuite trois index, et ainsi de suite. L'approche ascendante quant à elle considère un état initial vide dans lequel aucun index n'est et durant chaque itération de l'algorithme ADD, un index réduisant le coût d'exécution des requêtes sera ajouté à l'état courant. Le processus s'arrête lorsque tous les index sont créés ou aucune réduction de coût n'est possible.

2.4.6 Bilan et discussion

Nous avons présenté dans cette section les principaux travaux sur le problème de sélection des index. La majorité des approches proposées commencent par l'identification des attributs indexables, qui peut être manuelle ou automatique, ensuite elles utilisent des algorithmes de sélection (algorithme glouton ou dirigé par des techniques de data mining) afin de générer la configuration d'index finale. La qualité de cette configuration est mesurée soit par un modèle de coût mathématique, soit par le modèle de l'optimiseur du SGBD, que nous avons expliqué dans la section précédente. Le tableau 2.2 présente une comparaison entre les principaux travaux en se

TABLE 2.2 – Récapitulatif des travaux de l'état de l'art

Approche	Sélection des attributs candidats	Algorithme de sélection	Modèle de coût
Wang et al. [61]	Manuelle	Glouton	Mathématique
Aouiche et al. [6]	Automatique	Data Mining + Glouton	Mathématique
Bellatreche et al. [9]	Manuelle	Data Mining + Glouton	Mathématique
Boukhalfa et al. [14]	Manuelle	Glouton	Mathématique
Necir et al. [46]	Manuelle	Data Mining + Glouton	Mathématique

basant sur plusieurs critères tel que la nature des IJB , qu'ils soient mono-attribut ou multi-attribut, le type de l'algorithme de sélection et le modèle du coût utilisé pour mesurer la qualité de la configuration finale.

Conclusion

Les IJB sont des structures redondantes permettant de pré-calculer les jointures dans un entrepôt de données modélisé par un schéma en étoile. Ces indexs sont caractérisés par une représentation binaire permettant l'utilisation des opérations logiques pour évaluer des conjonctions ou disjonctions de prédicats contenus dans les requêtes de jointure en étoile. Ces indexs sont généralement recommandés pour les attributs de faible cardinalité. Nous avons étudié dans ce chapitre les IJB et leur problème de sélection. Nous avons ensuite expliqué la stratégie d'exécution d'une requête en présence d'un IJB . Nous avons aussi détaillé le modèle de coût utilisé en présentant les différentes formules et les scénarios possibles. Et nous avons terminé par la présentation de quelques approches existantes dans la littérature. Dans le chapitre suivant nous allons proposer notre approche de sélection des IJB .

Chapitre 3

Nouvelle approche de sélection d'IJB : utilisation des traverses minimales

Introduction

L'étude de l'état de l'art concernant la conception physique a conduit à une constatation essentielle : les approches existantes n'améliorent pas suffisamment les requêtes parce que la majorité de ces dernières ne sont pas concernées par la configuration finale choisie. Nous focalisons alors sur cette limite pour introduire une nouvelle approche qui se base sur une notion clé dans la théorie des hypergraphes appelée *traverse minimale* TM . Cette dernière est un ensemble de sommets qui intersecte toutes les hyperarêtes d'un hypergraphe et elle est dite minimale si elle l'est au sens de l'inclusion [41]. À partir de cette structure, nous déterminons les attributs candidats, nous en créons les *IJB* relatifs et nous améliorons ainsi la performance du système. Nous entamons ce chapitre par une présentation de la théorie des hypergraphes et ses notions de base avec une mise en évidence de l'utilité des traverses minimales. Ensuite, nous expliquons ce que représente la TM grâce auquel nous pouvons exploiter les solutions potentielles. En outre, nous détaillons les différentes étapes que suit notre politique adoptée pour contourner le problème d'optimisation

des requêtes. Enfin, nous concluons ce chapitre par un exemple illustratif de notre approche.

3.1 La théorie des Hypergraphes

Les hypergraphes généralisent la théorie de graphe en définissant la notion des hyperarêtes, qui peuvent contenir un, deux ou plusieurs sommets, contrairement aux arêtes classiques qui ne peuvent joindre que deux sommets [41]. D'un point de vue théorique, les hypergraphes permettent de généraliser certains théorèmes de graphes, voire d'en factoriser plusieurs en un seul. Les hypergraphes sont parfois préférés aux graphes puisqu'ils modélisent mieux certains types de contraintes, d'un point de vue pratique. Dans cette section, nous allons présenter quelques notions de bases et des définitions essentielles sur les hypergraphes et les traverses minimales nécessaires à l'introduction de la problématique de l'extraction des traverses minimales, en se basant essentiellement sur les définitions proposées par Berge [10].

3.1.1 Les hypergraphes

Un hypergraphe $H = (S, E)$ est constitué de deux ensembles S et E , et est défini comme suit.

Definition 3 *hypergraphe [10] : Soit le couple $H = (S, E)$ avec $S = \{s_1, s_2, \dots, s_n\}$ un ensemble fini et $E = \{e_1, e_2, \dots, e_m\}$ une famille de parties de S . H constitue un hypergraphe sur S si :*

1. $e_i \neq \emptyset, i \in \{1, \dots, m\}$;
2. $\bigcup_{i=1, \dots, m} e_i = S$

Les éléments s_i de S sont appelés *sommets* de l'hypergraphe et les éléments e_i de E sont appelés *hyperarêtes* de l'hypergraphe. Un hypergraphe est dit d'ordre n si $|S| = n$ où n est le nombre de sommet, et la taille d'un hypergraphe est égale au nombre d'occurrences des sommets dans ses hyperarêtes. L'exemple de la figure 3.1 illustre un hypergraphe $H = (S, E)$ d'ordre 8 et de taille 14 tel que $S = \{1, 2, 3, 4, 5, 6, 7, 8\}$ et $E = \{\{1, 2\}, \{2, 3, 7\}, \{3, 4, 5\}, \{4, 6\}, \{6, 7, 8\}, \{7\}\}$.

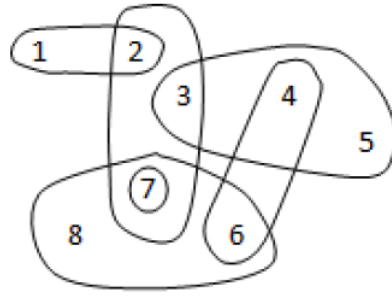


FIGURE 3.1 – Hypergraphe

3.1.2 Traverse minimale

Définitions

Une traverse d'un hypergraphe H est un ensemble de sommets $s \subseteq S$ qui intersecte chaque hyperarête de H au moins une fois et est défini comme suit.

Definition 4 *Traverse minimale [10] : Soit un hypergraphe $H = (S, E)$. L'ensemble des traverses de H , noté $\gamma(\mathcal{H})$, est égal à : $\gamma(\mathcal{H}) = \{T \subset S \mid T \cap s_i \neq \emptyset, \forall i = 1, \dots, |E|\}$. Une traverse T de $\gamma(\mathcal{H})$ est dite minimale s'il n'existe pas une autre traverse S de γH incluse dans T : $S \in \gamma(\mathcal{H})$ s.t. $S \subset T$.*

Nous noterons (\mathcal{MH}) , l'ensemble des traverses minimales définies sur H . Dans l'exemple illustratif de la figure 3.1, l'ensemble (\mathcal{MH}) des traverses minimales de l'hypergraphe est égal à : $\{\{1, 4, 7\}, \{2, 4, 7\}, \{1, 3, 6, 7\}, \{1, 3, 6, 9\}, \{1, 5, 6, 7\}, \{2, 3, 6, 7\}, \{2, 3, 6, 9\}, \{2, 5, 6, 7\}, \{2, 4, 6, 9\}, \{2, 4, 8, 9\}, \{2, 5, 6, 9\}, \{1, 3, 4, 8, 9\}\}$. À partir d'un hypergraphe $H = (S, E)$, l'ensemble des traverses minimales (\mathcal{MH}) permet la construction de l'hypergraphe transversal, qui est un hypergraphe où toutes ses hyperarêtes sont des traverses minimales.

Definition 5 *Soit un hypergraphe $H = (S, E)$, le nombre minimum de sommets d'un ensemble transversal est appelé le nombre de transversalité de l'hypergraphe H et est désigné par : $\tau(\mathcal{H}) = \min\{|T|, \text{ tel que } T \in (\mathcal{MH})\}$ [10].*

Ainsi, dans l'exemple illustratif de la figure 3.1, le nombre de transversalité de l'hypergraphe H est égal à 3 car la plus petite traverse minimale de \mathcal{MH} est composée

de 3 sommets. La détermination d'un nombre de transversalité apparaît dans de nombreux problèmes combinatoires [10].

Problème de l'extraction des traverses minimales

L'extraction des traverses minimales d'un hypergraphe est un des problèmes les plus importants en théorie des hypergraphes. C'est un problème algorithmique central et particulièrement difficile et la question de sa complexité exacte reste toujours ouverte. Plusieurs travaux se sont attachés à proposer diverses méthodes pour le traiter [10]. Trouver une traverse minimale d'un hypergraphe est une tâche aisée mais calculer l'ensemble de toutes les traverses minimales pose plusieurs problèmes dans la mesure où le nombre de sous-ensembles de sommets à tester est très grand. Les travaux de recherche, pour faire sauter les différents verrous scientifiques que posait l'extraction des traverses minimales d'un hypergraphe, se sont attachés à réduire l'espace de recherche. Néanmoins, le coût du calcul reste substantiellement élevé et les algorithmes existants se sont heurtés à des temps d'exécution conséquents et à l'incapacité de traitement lorsque le nombre de transversalité de l'hypergraphe d'entrée est grand.

Domaines d'applications des traverses minimales

L'intérêt pour l'extraction des traverses minimales s'augmente ces dernières années, en raison de la multitude et de la diversité des domaines d'application où le recours aux traverses minimales peut constituer une solution. Le large éventail des domaines d'application, comme le résume la figure 3.2, donne ainsi une importance plus grande aux traverses minimales et motive l'intérêt qu'elles suscitent. Dans ce qui suit, nous en donnerons un aperçu et nous citerons les problèmes les plus connus, où les traverses minimales sont applicables.

Parmi les domaines d'applications des traverses minimales, nous pouvons citer la logique, par le fait de rendre la détermination de la dualité FNC/FND au problème de calcul des traverses minimales d'un hypergraphe. De son côté, les bases de données ont eu leur part de l'utilisation des traverses minimales pour aboutir à des solutions de ses différents problèmes, comme par exemple, étant donné une relation et un

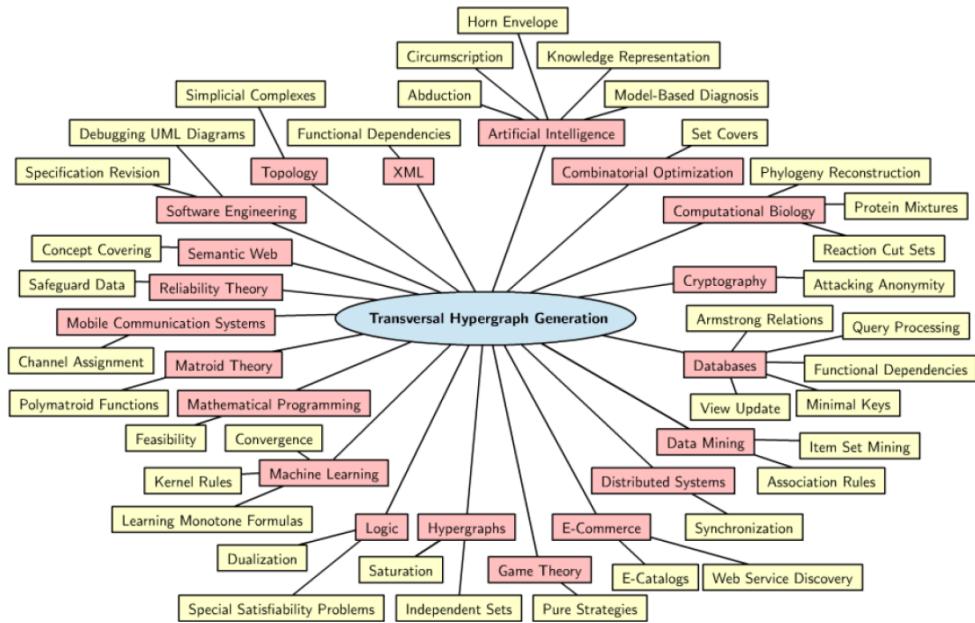


FIGURE 3.2 – Les domaines d’applications des traverses minimales [31]

ensemble de clés, décider de l’existence d’une autre clé est un problème, équivalent à celui de la recherche des traverses minimales. Les dépendances d’inclusion [23], qui sont une généralisation des clés étrangères dans un modèle relationnel, peuvent ainsi être déduites en adaptant les techniques de calcul des traverses minimales d’un hypergraphe. Celles-ci peuvent, par ailleurs, présenter des solutions aux problèmes de réécriture des requêtes, d’exécution des requêtes et d’actualisation des vues. Ces dernières, dont le rôle est très important dans la présentation des données à partir des bases, peuvent en effet être gérées en se basant sur les traverses minimales. L’inférence des dépendances fonctionnelles représente aussi un domaine d’application fort intéressant des traverses minimales. Sans oublier le domaine de fouille de données et l’utilisation des traverses minimales pour la génération des règles associatives, des motifs fermés ou encore des motifs fréquents.

Le survol des domaines d’application des traverses minimales démontre l’intérêt, de plus en plus, croissant pour les traverses minimales et, dans la littérature, plusieurs algorithmes dédiés à leur calcul ont été proposés.

Techniques d'extraction de traverses minimales.

Plusieurs auteurs se sont intéressés au problème de l'extraction des traverses minimales d'un hypergraphe. Dans cette partie, nous présentons un survol sur ces différentes approches, en mettant en exergue leurs points forts et leurs limites. Le nombre de traverses minimales d'un hypergraphe pouvant être exponentiel en la taille de l'hypergraphe, la question de la mise en place d'un algorithme résolvant le problème de l'extraction des traverses minimales d'un hypergraphe H avec une complexité polynomiale en $|H|$ reste néanmoins ouverte.

Dans ce qui suit nous allons présenter l'algorithme de *Berge*, qui est le premier auteur à s'être intéressé à ce problème en proposant un algorithme pour le contourner, et par la suite nous détaillons l'algorithme MMCS de *Murakami et T.Uno* qui est le meilleur algorithme de la littérature en termes de performances et temps de traitement.

- **L'algorithme de Berge :** *Berge* est le premier à s'être intéressé au problème du calcul des traverses minimales et à avoir proposé un algorithme pour le résoudre. Cet algorithme, dont le principe est simple, commence par calculer l'ensemble des traverses minimales de la première hyperarête, qui est équivalent à l'ensemble des sommets contenus dans cette dernière. Ensuite, il met à jour cet ensemble des traverses minimales en ajoutant les autres hyperarêtes, une à une, de manière incrémentale. Ainsi, l'algorithme de *Berge* construit des hypergraphes partiels au fur et à mesure qu'il ajoute des hyperarêtes. Néanmoins, l'algorithme a toujours besoin de stocker les traverses minimales intermédiaires avant de passer à l'étape suivante consistant à ajouter une nouvelle hyperarête.

L'un des inconvénients majeurs de l'algorithme de *Berge* est la consommation excessive en mémoire d'où plusieurs chercheurs ont cherché à l'améliorer. Parmi les améliorations les plus connues proposées récemment figurent celles introduites par *Dong et al.* [24], *Bailey et al.* [8] et *Kavvadias et Stavropoulos* [42].

- **Algorithme MMCS de Murakami et T.Uno (2013) :** *Murakami et Uno* proposent les algorithmes de type SHD, MMCS et RS, qui visent à réduire l'espace

de recherche [44]. En ce sens, ces algorithmes sont destinés à traiter des hypergraphes de grande taille constitués par un très grand nombre d'hyperarêtes. Les algorithmes de type SHD adoptent une stratégie de parcours en profondeur de l'espace de recherche qui, dans le cas de RS, est équivalente à celle de l'algorithme de *Kavvadias et Stavropoulos*. La principale différence entre ce dernier et RS repose sur l'élimination des itérations redondantes où aucun sommet n'est ajouté à un ensemble de sommets générés auparavant. De plus, *Murakami et Uno* introduisent deux nouveaux concepts, i.e, le test de la transversalité (UNCOV) et les hyperarêtes critiques (CRIT), et ce afin d'optimiser les tests sur la minimalité effectués sur l'ensemble des traverses générées.

Les auteurs proposent aussi divers lemmes, dans [44], pour optimiser le calcul de la fonction CRIT, qui est la clé de leur approche. Les algorithmes de type SHD se basent donc sur la même approche. L'algorithme 1 décrit le pseudo-code de l'algorithme MMCS. Cet algorithme est récursif et fournit en sortie des traverses minimales en série. Pour tester un ensemble de sommets X , les algorithmes cherchent, de façon itérative, les sous-ensembles de X et effectuent un appel récursif pour chacun tout en mettant à jour les ensembles CRIT et UNCOV. En opérant de cette manière, *Murakami et Uno* permettent à leur algorithme de balayer l'espace de recherche en profondeur en cherchant seulement les sous-ensembles du candidat courant. La méthode et les étapes pour la recherche des sous-ensembles d'un candidat sont détaillées dans [44].

L'étude expérimentale effectuée par les auteurs a montré que les algorithmes de type SHD (et notamment MMCS) présentaient des performances très intéressantes et s'imposaient comme les algorithmes les plus performants dans la littérature.

3.2 Approche de sélection d'IJB basée sur les traverses minimales

L'intérêt pour la sélection des *IJB* est en nette croissance grâce notamment aux solutions qu'elles offrent au niveau de la conception physique des entrepôts de don-

Algorithme 1 : L'algorithme MMCS [44]

Var. Globale : $uncov$ (initialisé à ξ), $Cand$ (initialisé à \mathcal{X}), $crit[x]$ initialisé à \emptyset
pour chaque x

Entrées : $H = (\mathcal{X}, \xi)$: Hypergraphe, X : ensemble de sommets

Sorties : T tel que $T \in \mathcal{M}_H$

```

1 début
2   si  $uncov = \emptyset$  alors
3     retourner  $X$ 
4   Choisir une hyperarête  $e$  à partir de  $uncov$  ;
5    $C = Cand \cap e$  ;
6    $Cand = Cand \setminus C$  ;
7   pour chaque  $x \in C$  faire
8     UPDATE_CRIT_UNCOV( $x, crit, uncov$ ) ;
9     si  $crit(f, X \cup x) \neq \emptyset$  pour chaque  $f \in X$  alors
10      MMCS( $X \cup x$ ) ;
11       $Cand = Cand \cup x$  ;
12   Restaurer les valeurs de  $crit$  et  $uncov$  d'avant la ligne 8 ;

```

nées et au niveau de l'optimisation des requêtes et du système en général. Dès le début nous avons décidé de choisir les *IJB* comme structure d'optimisation qui est une technique très bien répandue dans les entrepôts de données.

3.2.1 Motivations

Les motivations sur lesquelles nous nous sommes basés pour considérer l'utilisation des traverses minimales sont les suivants : (i) leur rapidité et efficacité d'extraire des attributs indexables sans la nécessité du paramétrage de la part de l'administrateur au préalable ; (ii) s'assurer que la majorité des requêtes sera améliorée en termes de temps d'exécution et (iii) diminuer le risque de négliger des attributs candidats intéressants à l'optimisation des requêtes décisionnelles.

3.2.2 Démarche de sélection automatique d'index

Dans cette section, nous allons implémenter notre approche proposée dont la principale caractéristique est l'utilisation des traverses minimales sur un contexte d'extraction, qui consiste en une matrice Requêtes-Attributs appelé *hypergraphe*, telle que chaque hyperarête représente une requête et chaque sommet représente un attribut qui a fait l'objet d'un prédicat de sélection ou de projection.

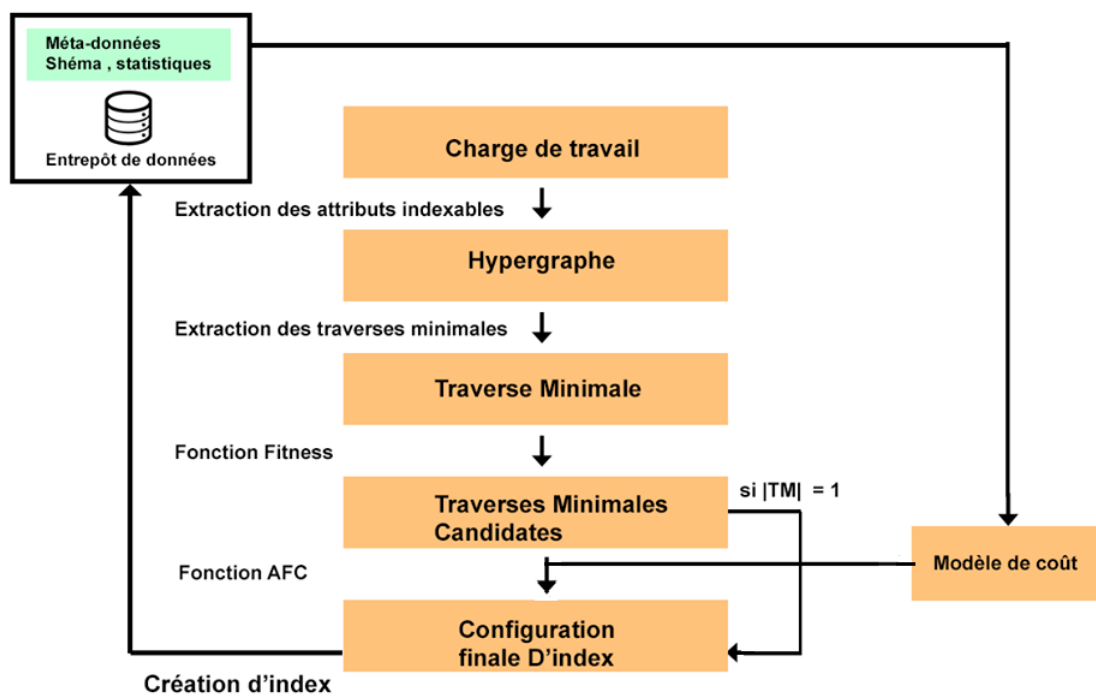


FIGURE 3.3 – Approche de sélection d'IJB

Après l'analyse de la charge et la construction de l'hypergraphe à travers les attributs susceptibles d'être des indexs de la charge de travail, le processus mis en œuvre par notre approche commence par le calcul du nombre de transversalité, qui est égal au cardinal de la plus petite traverse minimale (voir définition 5 page 46). Par la suite, il enchaîne par l'extraction de toutes les traverses minimales qui ont une

taille égale au nombre de transversalité. Une fois il a toutes les traverses minimales, il va calculer pour chacune d'elles la fonction FITNESS, détaillée dans le chapitre précédent (page 38), et ne garder que les *TMs* qui ont la valeur maximale, si à ce niveau il retourne plus qu'une seule traverse minimale dans ce cas il va calculer la somme des cardinalité de chaque attribut des *TMs* et ne retenir que la traverse minimale qui minimise la somme de cardinalité car la principale cause de l'explosion de la taille des *IJB* est la cardinalité des attributs indexés. La figure 3.3 montre l'enchaînement des étapes et leurs relations.

Dans ce qui suit, nous décrivons avec plus de détails toutes les étapes.

- **Analyse de la charge :** les requêtes SQL présentes dans la charge de travail sont traitées par un analyseur syntaxique automatique afin d'en extraire tous les attributs susceptibles d'être des indexs, appelés *les attributs indexables*. Ces attributs sont ceux présents dans les clauses *Where* des requêtes. Ces attributs servent à la recherche dans les requêtes d'interrogation.
- **Construction de l'hypergraphe :** à partir des attributs extraits dans l'étape précédente, nous construisons une matrice (requêtes-attributs) dite *hypergraphe* qui a pour hyperarêtes les requêtes de la charge et pour sommets les attributs à indexer.
- **Extraction des traverses minimales :** une fois l'hypergraphe est prêt, nous passons au processus de l'extraction des traverses minimales, pour cette étape, nous profitons des récents travaux de la littérature dédiés au calcul des traverses minimales. Pour ce faire, nous utilisons le meilleur algorithme existant en termes de performances, i.e., MMCS de *Murakami et Uno* [44]. Notre choix est uniquement dicté par les temps de traitement intéressant de ce dernier. Nous avons automatiquement configuré l'algorithme de MMCS pour qu'il ne génère que les traverses minimales de plus petite taille à travers la fonction GETMINTRANSVERSALITY introduite par *Jelassi et al.* [41], qui retourne le nombre de transversalité d'un hypergraphe que nous allons la détailler par la suite.
- **Construction de l'ensemble d'indexs candidats :** après la génération de l'ensemble des traverses minimales, une phase de génération d'index candidats est

nécessaire. Ainsi, nous procédons comme suit :

1. Application de la fonction FITNESS

Au lieu de se baser sur la fréquence d'apparition présentée par le support comme un critère de détermination des attributs fréquents, nous nous inspirons de l'approche de *Bellatreche et al.* [9] en utilisant la fonction FITNESS. Cette dernière permet de pénaliser chaque *TM*, qui contient des attributs appartenant à des petites tables de dimensions, en prenant compte des cardinalités des tables de dimensions et la taille de la page système. Notre fonction FITNESS est calculée comme suit :

$$\text{Fitness}(tm) = \sum_{i=1}^n \text{sup}_i \times \alpha_i$$

Où n désigne le nombre d'attributs non clés de la traverse minimale tm , i est l'attribut dans la traverse minimale tm . sup_i représente le support de i , α_i est un paramètre de pénalisation déterminé par l'équation : $\alpha_j = \frac{|D_j|}{|F|}$; sachant que les notations $|D_j|$ et $|F|$ expriment respectivement la taille de la table de dimension D à laquelle appartient l'attribut j et la table de faits F en nombre de pages.

Si après avoir exécuté la fonction FITNESS, plusieurs *TM*s sont retenues dans ce cas nous allons faire appel à une autre métrique pour choisir la meilleure configuration possible.

2. Élimination des attributs de forte cardinalité

La principale cause de l'explosion de la taille des *IJB* est la cardinalité des attributs indexés. Dans cette stratégie, les attributs sont triés par ordre décroissant par rapport à leur cardinalité. Ensuite, nous allons calculer, pour chaque *TM* retenue la somme de cardinalité de ses attributs et ne garder que la *TM* qui a le plus petit total en termes de somme de cardinalité. Cette stratégie est inspirée de la stratégie *AFC* introduite par *K.Boukhalfa* [14].

- **Construction de la configuration finale :** une fois toutes les étapes précédentes soient terminées, la seule traverse minimale retenue va servir à construire

la configuration finale d'index après avoir éliminé les sommets qui représentent des attributs non-indexables, i.e., des attributs clés ou bien des attributs appartenant à la table de faits.

Les travaux antérieurs ont fait recours au modèle de coût pour calculer le coût en termes d'entrées/sorties de chaque index et ne garder que ceux qui maximise la fonction objective pour choisir la configuration finale d'index. Dans notre travail, nous gardons les attributs indexables de la traverse minimale résultante et nous les considérons comme étant la configuration finale sans tenir compte d'aucune contrainte. Le modèle de coût reste un outil important si nous voulons ajouter ou retirer des indexs de la configuration finale.

3.2.3 L'algorithme TM-IJB

Par conséquent, pour choisir les meilleurs attributs pertinents en indexation, nous suivons un processus itératif, qui consiste à commencer par la détermination du nombre de transversalité (ligne 2). Ensuite la génération de toutes les traverses minimales de plus petite taille à travers l'algorithme MMCS de *Murakami et Uno* que nous avons détaillé dans la section précédente (ligne 3). Ensuite, le processus enchaîne par le calcul de fonction FITNESS de chaque *TM* et ne garder que celles qui ont la plus grande valeur (voir ligne 4). Le processus vérifie le nombre de *TM* retenues qui ont la valeur maximale de FITNESS. Si elle est supérieure à 1, donc il passe à calculer la somme de cardinalités pour chaque *TM* et retourne celle qui la minimise. Autrement l'algorithme retourne la *TM* actuelle (ligne 8). Le pseudo code de notre approche est donné dans l'algorithme 2.

GetMinTransversality

La fonction GETMINTRANSVERSALITY est introduite par *Jelassi et al.*[41]. Cette fonction est une approche parmi de nombreuses contributions proposées par notre laboratoire LIPAH. Parmi les approches qui ont utilisé des techniques de fouille de données pour résoudre des différents problèmes scientifique, il est important de citer ([3], [4], [12], [16], [17], [18], [26], [32], [33], [51]). Ces travaux, qui se sont distingués, ont utilisé une panoplie de méthodes tels que la classification, les règles

Algorithme 2 : TM-IJB

Entrées : Hypergraph (S,E);**Sorties** : Traverse Minimale F : configuration finale d'IJB

```

1 début
2   X = GetMinTransversality (H);
3   TM = MMCS(S,E,X);
4   F = max(Fitness(TM));
5   si ( $|F| > 1$ ) alors
6     AFC(F);
7     retourner  $\min(AFC(F))$ ;
8 retourner (F)

```

d'associations et les motifs fréquents fermés pour palier les différents problèmes des différents domaines de recherche y compris l'utilisation des traverses minimales pour la sélection des IJBs que nous traitons dans ce travail. GETMINTRANSVERSALITY permet d'obtenir le nombre de transversalité de l'hypergraphe. Pour ce faire, la fonction parcourt les sommets, un par un (ligne 3). Pour chaque élément s de S , GETMINTRANSVERSALITY supprime les hyperarêtes de E qui contiennent s (ligne 5). Les hyperarêtes restantes sont stockées dans E' . La fonction invoque ensuite la fonction HYP_EMPTY(). HYP_EMPTY est une fonction récursive qui stocke les sommets ayant le plus grand support dans E' et les traitera, un par un, en supprimant à chaque fois les hyperarêtes auxquelles appartient le sommet traité. Cette fonction récursive s'arrête lorsque E' sera vide. La valeur retournée correspond au nombre d'appels à la fonction HYP_EMPTY nécessaires pour que E' soit égal à l'ensemble vide. Pour chaque sommet s traité, l'ensemble E' est réactualisé à toutes les hyperarêtes de l'hypergraphe auxquelles nous supprimons celles qui contiennent s . Au final, GETMINTRANSVERSALITY retourne le nombre minimum d'itérations permettant de "vider" la matrice d'incidence. La valeur de k , retournée par la fonction, correspond ainsi au nombre de transversalité de l'hypergraphe d'entrée H .

Algorithme 3 : GETMINTRANSVERSALITY**Entrées :** Matrice d'incidence IM_H associée à $H = (\mathcal{X}, \xi)$ **Sorties :** T : Une plus petite traverse minimale de H ; k : Nombre de transversalité de H

```

1  début
2  |    $k = |\xi|$  ;
3  |    $T = \emptyset$  ;
4  |   pour chaque  $x \in \mathcal{X}$  faire
5  |   |    $i = 1$  ;
6  |   |    $T_{tmp} = \emptyset$  ;
7  |   |    $T_{tmp}[i] = x$  ;
8  |   |    $\xi' = \xi \setminus \{e \in \xi \mid x \in e\}$  ;
9  |   |    $(n, T_{tmp}) = \text{HYP\_EMPTY}(\xi', |\xi|, i, T_{tmp})$  ;
10 |   |   si  $n < k$  alors
11 |   |   |    $k = n$  ;
12 |   |   |    $T = T_{tmp}$  ;
13 |   retourner  $(k, T)$ 

```

3.3 Exemple illustratif

Nous considérons l'exemple suivant avec une partie d'un schéma en étoile contenant deux tables de dimensions CHANNELS (désignés par Ch) et CUSTOMERS (désignés par C) et une table de faits SALES (désignées par S). Les cardinalités de ces tables (nombre d'instances) sont : $\|\text{SALES}\| = 16260336$; $\|\text{CHANNELS}\| = 5$ et $\|\text{CUSTOMERS}\| = 50000$. Supposons que les cinq requêtes sont exécutées le plus souvent sur le cube de données correspondant (voir tableau 3.1). Dans les requêtes du tableau, deux opérations de jointure principales sont utilisées : une entre SALES et CUSTOMERS ($J1$), et une autre entre SALES et CHANNELS ($J2$). A la base, le coût de $J1$ est supérieur à $J2$ puisque la taille des CUSTOMERS (50 000 instances) est supérieure à la taille des CHANNELS (5 instances).

La taille de l'instance de CUSTOMERS, CHANNELS et SALES est : 24, 24 et 36,

TABLE 3.1 – Requêtes de test

(1) select S.channel_id, sum(S.quantity_sold) from S, C where S.channel_id=C.channel_id and C.channel_desc='Internet' group by S.channel_id
(2) select S.channel_id, sum(S.quantity_sold), sum(S.amount_sold) from S, C where S.channel_id=C.channel_id and C.channel_desc = 'Catalog' group by S.channel_id
(3) select S.channel_id, sum(S.quantity_sold),sum(S.amount_sold) from S, C where S.channel_id=C.channel_id and C.channel_desc = 'Partners' group by S.channel_id
(4) select S.cust_id, avg(quantity_sold) from S, C where S.cust_id=C.cust_id and C.cust_gender='M' group by S.cust_id
(5) select S.cust_id, avg(quantity_sold) from S, C where S.cust_id=C.cust_id and C.cust_gender='F' group by S.cust_id

respectivement, et la taille de la page $PS = 65536$. Nous considérons les mêmes cinq requêtes que celles définies dans le tableau 3.1. Pour faciliter la construction de la matrice de contexte, nous renommons les attributs indexables comme suit : SALES : $cust_id = A1$, CUSTOMERS : $cust_id = A2$; CUSTOMERS : $cust_gender = A3$, CHANNELS : $channel_id = A4$, SALES : $channel_id = A5$; CHANNELS : $channel_desc = A6$. La matrice est donnée par la figure 3.4.

	A_1	A_2	A_3	A_4	A_5	A_6
Q_1	0	0	0	1	1	1
Q_2	0	0	0	1	1	1
Q_3	0	0	0	1	1	1
Q_4	1	1	1	0	0	0
Q_5	1	1	1	0	0	0
<i>Support</i>	$\frac{2}{5}$	$\frac{2}{5}$	$\frac{2}{5}$	$\frac{3}{5}$	$\frac{3}{5}$	$\frac{3}{5}$

FIGURE 3.4 – Matrice de données

Une fois la construction de l'hypergraphe est terminée, le processus mis en place

par notre approche commence par le calcul du nombre de transversalité, qui est égal au cardinal de la plus petite traverse minimale. Dans cet exemple, le nombre de transversalité est égal à 2.

Par la suite il enchaîne par l'extraction de toutes les traverses minimales qui ont une taille égale au nombre de transversalité, qui sont dans cet exemple 9 traverses minimales (1,4), (1,5), (1,6), (2,4), (2,5), (2,6), (3,4), (3,5), (3,6). Dès que l'algorithme termine la génération de toutes les traverses de taille 2, il calcule pour chacune d'elles la fonction FITNESS. Sans oublier de mentionner que seuls les attributs A_3 et A_6 qui sont respectivement *cust_gender* et *channel_desc* sont des attributs indexables. Vu que les attributs A_1 , A_2 , A_4 et A_5 sont des attributs non-indexables du fait que A_1 et A_5 appartiennent à la tables de fait SALES et A_2 et A_4 sont des attributs clés des tables CUSTOMERS et CHANNELS. Nous rappelons la formule du calcul de notre fonction fonction FITNESS :

$$\text{Fitness(tm)} = \sum_{i=1}^n \text{sup}_i \times \alpha_i$$

À partir de notre exemple trivial, seulement 4 parmi les 9 traverses minimales seront prises en considération car elles contiennent des attributs indexables et qui sont $TM1(1,6)$, $TM2(3,4)$, $TM3(3,5)$, $TM4(3,6)$. Nous appliquons la fonction FITNESS pour la traverse minimale $TM2(3,4)$ comme un titre d'exemple.

$$\text{FITNESS(TM2)} = \text{sup}(A_3) \times \alpha_3$$

$$= \frac{2}{5} \times \frac{\frac{50000 \times 24}{65536}}{\lceil \frac{\lceil 1626033 \rceil \times 36}{65536} \rceil}$$

$$= \frac{2}{5} \times \frac{19}{894}$$

$$= 0.0085$$

Et de même pour toutes les autres traverses minimales, et à la fin nous obtenons les résultats suivants, $TM1(1,6) = 0.0001$, $TM2(3,4) = 0.0085$, $TM3(3,5) = 0.0085$, $TM4(3,6) = 0.0086$ et selon ces derniers résultat nous allons retenir seulement $TM4(3,6)$ par ce qu'elle a la plus grande valeur. Vu qu'après l'application de

la fonction FITNESS une seule traverse minimale a été retenue, alors nous allons s'abstenir de faire appel à la fonction de calcul de cardinalité.

Si la traverse minimale $TM4$ n'existait pas, l'algorithme va retourner $TM2$ et $TM3$ et dans ce cas il passe automatiquement au calcul de cardinalité de chaque traverse. Dans ce scénario, $TM2$ aura un total de 16310336 par contre $TM3$ aura un total de 50005 et selon ces valeurs l'algorithme va retourner $TM3$ comme une configuration finale.

Dans notre exemple, 2 IFF peuvent être générés, $IFF_1 = \{A_1, A_2, A_3\}$ avec un support égal à 0,4 et $IFF_2 = \{A_3, A_5, A_6\}$ avec un support de 0,6. Avec $minsup = 3$ (en support absolu), la solution retournée par l'approche de *Aouiche et al.* est l'attribut A_6 de l' IFF_2 . Ceci, est dû au fait qu'il existe trois occurrences du même prédicat de sélection défini sur cet attribut dans les cinq requêtes. D'où le résultat est un IJB défini sur CHANNELS et SALES à l'aide de l'attribut *channel_desc*. Cependant, aucun index de jointure binaire n'est proposé entre les tables SALES et CUSTOMERS puisque l'attribut *cust_gender* n'est pas aussi fréquent que *minsup*. En conséquence, seule la jointure $J2$ sera optimisée, mais pas l'ensemble de requêtes globales. Quant à la solution retournée par l'approche DYNACLOSE de *Bellatreche et al.*, nous pouvons remarquer que IFF_1 contient seulement un attribut non-clé qui est A_3 , et donc $FITNESS(IFF_1)$ ne prendra en compte que l'attribut A_3 qu'il s'agit d'un IJB défini sur CHANNELS et CUSTOMERS à l'aide de l'attribut *cust_gender*. Cet IJB permet d'optimiser la jointure $J1$. En conséquence, seule la jointure $J1$ sera optimisée, mais pas l'ensemble de requêtes globales.

La traverse minimale $TM2(3,6)$ nous permet d'optimiser la jointure $J1$ et la jointure $J2$, d'où elle permet d'améliorer la totalité des requêtes de la charge de travail.

Conclusion

Dans ce chapitre nous avons présenté la théorie des hypergraphes, les traverses minimales et leur utilité dans les différents domaines. Ensuite, nous avons décrit l'approche que nous avons proposée, avec la présentation des différentes étapes que nous avons considérées pour la génération de la configuration finale de l' IJB et nous avons terminé par un exemple illustratif.

Dans le chapitre suivant, nous allons valider notre approche par une étude expérimentale et la comparer avec d'autres approches.

Chapitre 4

Étude expérimentale et évaluations

Introduction

Dans l'objectif de valider notre approche, présentée dans le chapitre précédent, et prouver sa performance, nous expérimentons le temps d'exécution d'un jeu de données sur un entrepôt de données et nous analysons les résultats obtenus sur un échantillon de données. En ce sens, le présent chapitre présente l'environnement de travail utilisé et compare les résultats obtenus par l'approche basée sur les traverses minimales avec celles figurantes dans l'état de l'art qui se basent sur des techniques de data mining (e.g : CLOSE et DYNACLOSE), le but étant de mettre en évidence que notre approche est meilleure. L'étude expérimentale se base ainsi sur le temps d'exécution des requêtes en présence de l'*IJB* et le taux de réduction par rapport aux requêtes exécutées sans index ainsi le modèle de coût, expliqué également dans le deuxième chapitre.

4.1 Environnement de travail

Notre objectif principal consiste à étudier l'impact de l'utilisation des traverses minimales. Pour se faire, l'implémentation des approches existantes ainsi que l'approche que nous proposons qui traite les requêtes en tant que un hypergraphe nécessitent l'usage de :

- 8 GB de RAM et un processeur Intel 1.8 Ghz base up to 3 Ghz avec 3 Mo de mémoire cache.
- Un banc de test TPC-H disposant de 1Go de données.
- Charge principale contenant 22 requêtes de jointure en étoile.
- Un banc de test SSB1 disposant de 1Go de données.
- Charge principale contenant 30 requêtes de jointure en étoile.
- Le SGBD ORACLE Version 12c, servant à stocker des données volumineuses.
- Java version 7 sous l'IDE Eclipse Kepler nécessaire pour implémenter les algorithmes.

4.2 Jeux de données

a. *Le banc de test TPC-H*

L'entrepôt de données sur lequel nous effectuons nos tâches est constitué d'une table de faits *LineItem* et de 7 tables de dimension *Customers*, *Nation*, *Orders*, *Part*, *PartSupp* (*Part Supplier*), *Supplier*, *Region* comme le montre le schéma de la figure 4.1. Les tailles de ces tables sont détaillées dans le tableau 4.1. Nous avons considéré 46 attributs candidats à l'indexation vu que l'entrepôt contient 15 attributs clés. Notons que nous avons identifié les attributs par un numéro de 1 jusqu'à 61. La charge de travail comporte un jeu de requêtes fourni par le banc de test contenant 22 requêtes (voir Annexe A). Plusieurs types de requêtes ont été considérées : requêtes de type *count*(*) avec et sans agrégation, requêtes utilisant les fonctions d'agrégation comme *Sum*, *Min*, *Max*, requêtes ayant des attributs de dimension dans la clause *SELECT*, etc.

Notons que la taille d'une page est 8096 octet, c'est-à-dire 8 Ko.

b. *Le banc de test SSB1*

Le deuxième entrepôt de données sur lequel nous effectuons nos tâches est constitué d'une table de faits *Lineorder* et de 4 tables de dimension *Date*, *Supplier*, *Customer*, *Part*. Les tailles de ces tables sont détaillées dans le tableau 4.2. Nous avons considéré 48 attributs candidats à l'indexation vu que

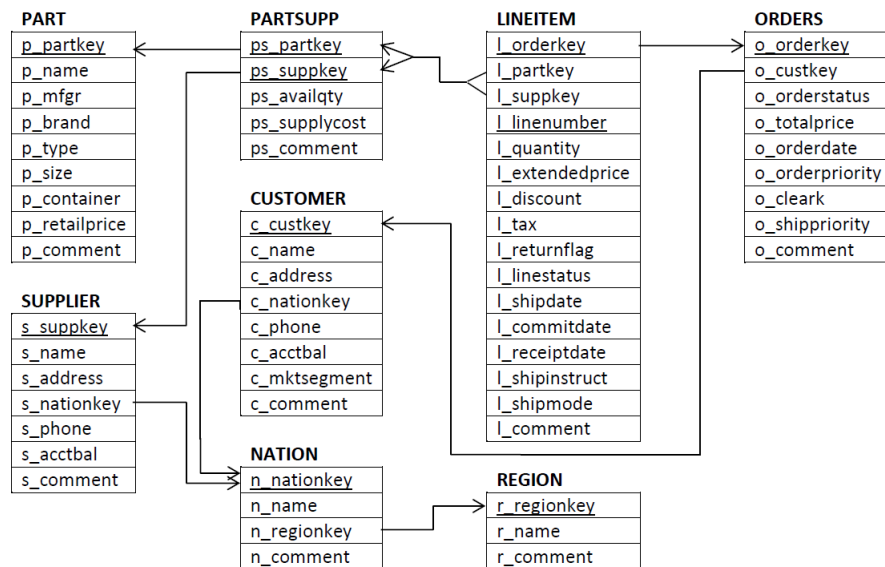


FIGURE 4.1 – Schéma du banc de test TPC-H

TABLE 4.1 – Taille des tables de TPC-H

Table	Nombre d'instances	Taille de la table en nombre de pages	Espace	%
Customers	150,000	3397	31,3 MB	3%
LineItems	6,001,215	105866	726,7 MB	63%
Nation	25	1	5 KB	0%
Orders	1,500,000	23766	190,3 MB	17%
Part	200,000	3746	30,5 MB	3%
PartSupp	800,000	16294	164,0 MB	14%
Supplier	10,000	207	1,9 MB	0%
Region	5	1	1 KB	0%

l'entrepôt contient 9 attributs clés. Notons que nous avons identifié les attributs par un numéro de 1 jusqu'à 57. La charge de travail comporte un jeu de requêtes contenant 30 requêtes (voir Annexe B). Plusieurs types de requêtes ont été considérées : requêtes de type count(*) avec et sans agrégation, requêtes utilisant les fonctions d'agrégation comme *Sum*, *Min*, *Max*, requêtes ayant des attributs de dimension dans la clause SELECT, etc. Le schéma de l'entrepôt est illustré par la figure 4.2.

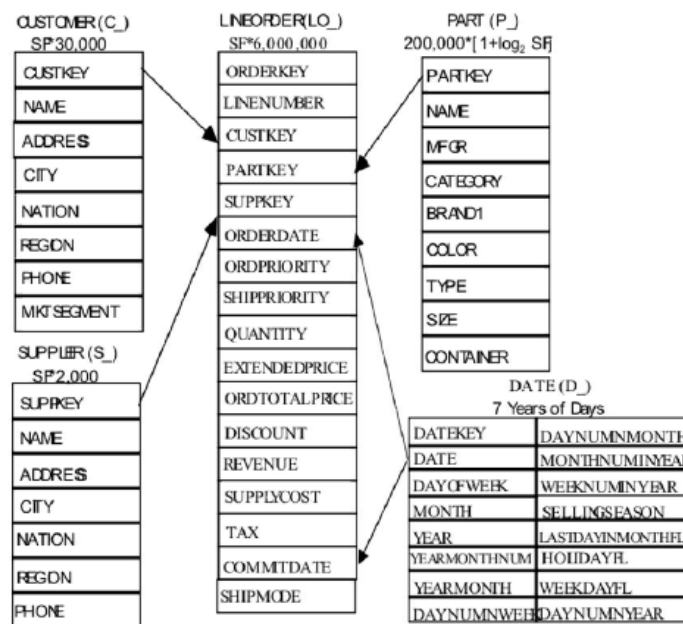


FIGURE 4.2 – Schéma du banc de test SSB1

Notons que la taille d'une page 8096 octet, c'est-à-dire 8 Ko.

4.3 Évaluation des approches existantes

Tout d'abord, nous avons effectué des expériences pour définir la valeur appropriée de *minsup* qui permet la génération d'un grand ensemble d'*IFF*. Les résultats montrent que la valeur minimale appropriée doit être définie sur 0.1.

TABLE 4.2 – Taille des tables de SSB1

Table	Nombre d'instances	Taille de la table en nombre de pages
Lineorder	6000000	123047
Dates	2556	58
Part	200000	4102
Supplier	2000	42
Customer	30000	696

4.3.1 Approche Close

Cette approche utilise un contexte d'extraction qui consiste en une matrice Requêtes-Attributs. Dans cette matrice, chaque ligne représente une requête et chaque colonne représente un attribut qui a fait l'objet d'un prédicat de sélection ou de projection. Notons qu'on a identifié les attributs par un numéro de 1 jusqu'à 57 pour simplifier la manipulation du fichier texte en entrée.

Une fois la matrice d'usage est prête et le seuil minimum *minsup* est fixé, *minsup* = 0.1, CLOSE détermine les motifs fréquents fermés, les attributs proposés sont affichés dans la figure. Or un attribut indexable est un attribut non clé qui appartient à la table de dimension. Ainsi, le seul attribut indexable que CLOSE a pu générer porte le numéro 22 qui a un support égale à 0.46667, comme le montre la figure 4.3.

4.3.2 Approche Dynaclose

Cette approche prend également en input une matrice de contexte $Uses(Q_i, A_j)$ où :

- $Uses(Q_i, A_j) = 1$ Si la requête Q_i utilise un prédicat défini sur l'attribut A_j
- $Uses(Q_i, A_j) = 0$ Sinon

Sur cette base, nous déterminons le support relatif à chaque attribut indexable, et les motifs non dupliqués pour chaque requête Q_i ; tel que le motif d'une requête correspond aux attributs dont la case $Uses(Q_i, A_j)$ est égale à 1. Nous calculons

```

*****
----- FREQUENT CLOSED ITEMSETS -----
L0
L1
pattern 0: 4 support : 0,36667
pattern 1: 5 support : 0,83333
pattern 2: 22 support : 0,46667
L2
pattern 3: 3 5 support : 0,33333
pattern 4: 4 54 support : 0,23333
pattern 5: 5 22 support : 0,33333
pattern 6: 5 39 support : 0,2
pattern 7: 5 40 support : 0,63333
L3
pattern 8: 3 5 22 support : 0,3
pattern 9: 4 5 40 support : 0,33333
pattern 10: 5 22 40 support : 0,23333
L4
pattern 11: 3 5 39 46 support : 0,13333
pattern 12: 4 5 40 54 support : 0,2
L5
pattern 13: 3 5 22 39 46 support : 0,1
pattern 14: 3 5 22 40 47 support : 0,2
pattern 15: 4 5 22 40 52 support : 0,13333
L6
L7
pattern 16: 3 4 5 22 40 47 52 support : 0,1
-----
real    0m0.100s

```

FIGURE 4.3 – Réalisation de l'approche Close

pour chacun de ces motifs, la valeur de FITNESS dont la formule est précisée dans le chapitre précédent(cf. page 59).

Enfin, le meilleur motif à choisir serait celui qui a la valeur de FITNESS(motif) la plus grande. Le motif proposé est constitué des attributs dont les identifiants sont 11, 54, le seul attribut indexable dans ce groupe est le 54, comme le montre la figure 4.4.

4.4 L'approche TM-IJB

La principale caractéristique de notre approche est l'utilisation des traverses minimales sur un contexte d'extraction qui consiste en une matrice Requêtes-Attributs appelé *hypergraphe*, où chaque hyperarête représente une requête et chaque sommet représente un attribut qui a fait l'objet d'un prédicat de sélection ou de projection.

Dès que l'hypergraphe soit prêt après l'analyse de la charge de travail et l'extraction des attributs indexables, le processus mis en œuvre par notre approche

```
***** Calcul de la valeur de Fitness pour chaque FCI *****
Fitness de l'FCI 1 = 17.5
Fitness de l'FCI 2 = 35.0
Fitness de l'FCI 3 = 16.6
Fitness de l'FCI 4 = 3.5
Fitness de l'FCI 5 = 20.75
Fitness de l'FCI 6 = 25.33333333333332
Fitness de l'FCI 7 = 38.0
Fitness de l'FCI 8 = 25.33333333333332
Fitness de l'FCI 9 = 16.33333333333332
Fitness de l'FCI 10 = 12.0
Fitness de l'FCI 11 = 7.0
Fitness de l'FCI 12 = 19.5
Fitness de l'FCI 13 = 25.0

***** Final Result corresponding on the best FCI *****

11 4
11 50
11 54

real    0m0.145s
```

FIGURE 4.4 – Réalisation de l'approche DynaClose

commence par le calcul du nombre de transversalité, qui est égal au cardinal de la plus petite traverse minimale. Par la suite, il enchaîne avec l'extraction de toutes les traverses minimales qui ont une taille égale au nombre de transversalité. Une fois qu'il a toutes les traverses minimales il va calculer pour chacune d'elles la fonction $FITNESS(TM)$ et ne garder que les TMs qui ont la valeur maximale. Si à ce niveau, il retourne plusieurs traverses minimales, alors il va calculer la somme des cardinalités de chaque attribut des TMs et ne retenir que la traverse minimale qui minimise la somme de cardinalité. En effet, la principale cause de l'explosion de la taille des IJB est la cardinalité des attributs indexés.

La figure 4.5 montre que le nombre de transversalité est égal à 3. Ainsi, notre algorithme va extraire toutes les traverses minimales de taille 3, qui sont dans cet exemple seulement deux (4,5,22) et (5,22,54). Ensuite, il va calculer la fonction $FITNESS$ pour chaque traverse et ne garder que celle qui a le meilleur résultat qui est dans ce cas la traverse minimale (5,22,54) comme le montre la figure 4.5. Vu qu'après l'exécution de la fonction $FITNESS$, une seule traverse minimale a été retenue donc l'algorithme ne va pas faire recours au calcul de cardinalité.

```
Min. Trans. Level : (3)
setfamily: conssb0.txt ,#rows 30 ,#clms 55 ,#eles 0
output to: output.txt
2
0
0
0
2
iters=10
#iterations= 10 ,#min_check= 19 ,#pruning= 2
ave_cost_for_F(e)= 11.800000 ,ave_cost_for_CAND= 2.300000 ,ave_internal_sol.= 1.700000

***** Affichage *****

LA traverse minimale (,22,4,5) son score est =====> 0.0136871
LA traverse minimale (,22,54,5) son score est =====> 3.51369

***** Calcul du maximum de la fonction ALPHA *****

le score maximal est : 3.51369

Les TMs qui ont un score maximal sont :
22 54 5 son total de page : 106074

***** Calcul du minimum de la CARD *****

22 54 5 son total de cardinalite : 6618

Le gagnant selon la cardinalite est :
22 54 5
Le total de ses CARD est :
6618
```

FIGURE 4.5 – Réalisation de l’approche TM-IJB

4.5 Étude expérimentale

Dans cette partie, nous allons implémenter les approches existantes CLOSE et DYNACLOSE.

Les expériences ont été menées selon quatre étapes : (1) identification de la valeur de *minsup* qui donne un nombre important d’*IFF* pour les approches (CLOSE, DYNACLOSE); (2) évaluation du temps d’exécution en exécutant les requêtes en absence de tous les index; (3) évaluation des différentes approches (CLOSE, DYNACLOSE, TM-IJB) en termes de temps d’exécution en exécutant les requêtes en présence des configurations d’index adéquates de chaque approches; et (4) le calcul du coût théorique en entrées/sorties.

Dans notre cas, nous allons nous concentrer sur l’optimisation des requêtes sans

contraintes de stockage vu que de nos jours le coût des supports de stockage désormais moins cher et plus disponible. Nous pouvons même utiliser le stockage dans les nuages avec son avantage de l'élasticité et le 'pay per use'. *Perriot et al.* ont proposé un modèle de coût que nous pouvons également l'utiliser pour les *IJB* [53].

Pendant l'étude expérimentale nous avons utilisé 2 bancs de test différents pour montrer l'intérêt de notre approche.

4.5.1 Le banc de test SSB1

Sélection de la configuration de l'IJB

Dans cette section nous allons nous baser sur les configurations d'index obtenues dans les deux dernières sections où l'approche DYNACLOSE a retourné l'attribut *P_Brand* (cf. figure 4.4). L'approche CLOSE a donné l'attribut *D_year* comme le montre la figure 4.3 et notre approche TM-IJB a suggéré *P_Brand* et *D_year* d'après la figure 4.5.

Validation sous Oracle

Maintenant, nous passons à la validation sous le SGBD ORACLE 12c. Au premier lieu nous allons exécuter toutes les requêtes sans aucun index et retenir leur temps d'exécution.

Sans oublier de vérifier le plan d'exécution de la requête en absence de l'*IJB* (cf. figure 4.7) pour pouvoir le comparer par la suite avec celui en présence de l'index.

Par la suite, nous créons physiquement les configurations générées par chaque algorithme et nous exécutons les requêtes en présence de l'index et retenir le temps d'exécution de chaque requête sans oublier de vérifier à chaque fois l'utilisation des *IJB*. Pour vérifier que les *IJB* sont bien utilisés par ORACLE pour exécuter une requête donnée, nous avons utilisé l'outil PLAN D'EXÉCUTION fournit avec ORACLE. Cet outil permet de visualiser le plan d'exécution détaillé d'une requête.

Comme les tâches sont répétitives pour les 30 requêtes, nous avons choisi de :

- Montrer qu'un résultat prouvant l'amélioration d'une requête en utilisant un *IJB* sur *d_year*. En effet, avant la création de l'index, la requête prenait *10.886*

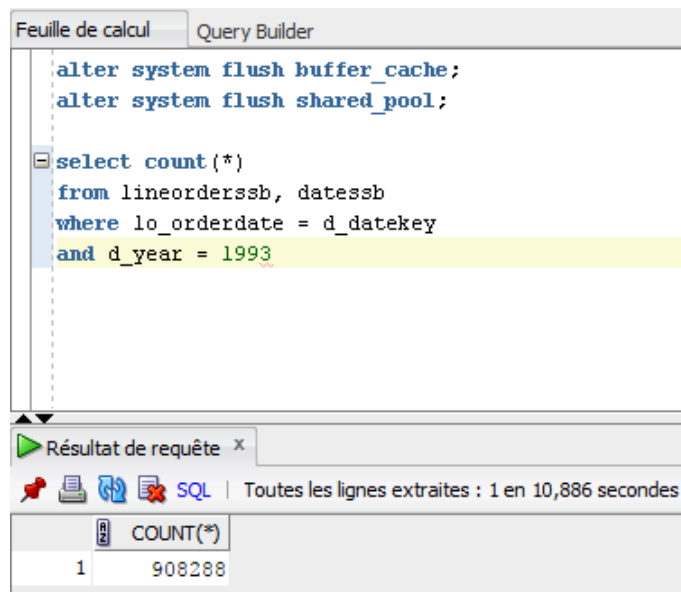


FIGURE 4.6 – Temps d'exécution d'une requête sans IJB

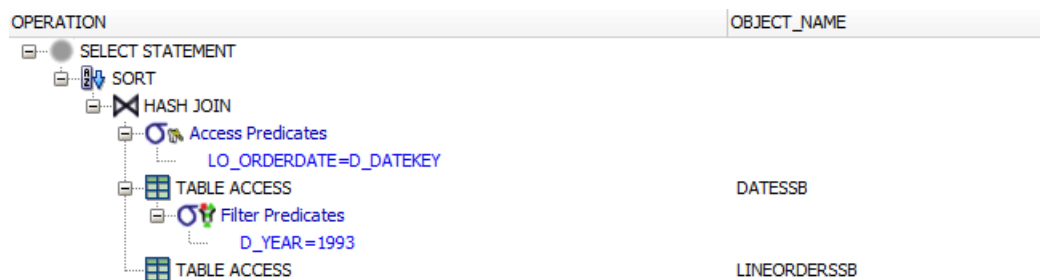
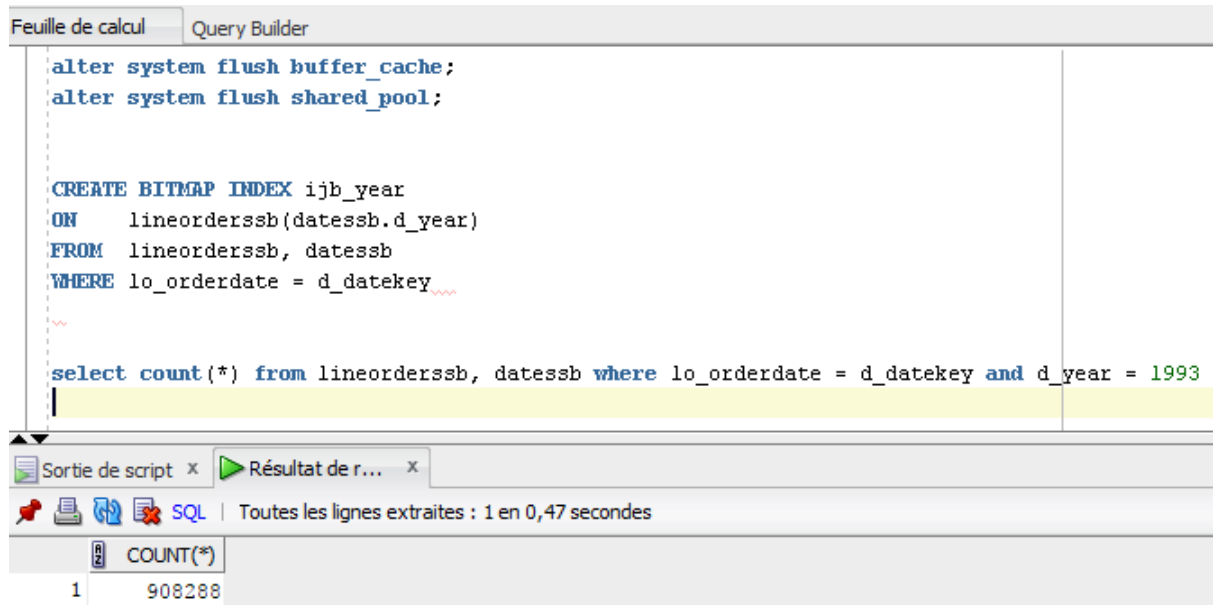


FIGURE 4.7 – Le plan d'exécution d'une requête sans IJB

secs pour s'exécuter et après sa création, elle est devenue presque instantanée de l'ordre de quelques millisecondes comme le montre la figure 4.8.

- S'assurer de l'utilisation de l'*IJB* dans le plan d'exécution comme le montre la figure par rapport à la figure lors de l'exécution de la requête sans l'utilisation de l'index, (voir figure 4.9).

L'exécution des requêtes sur toutes les configurations d'index nous a permis de confirmer la grande utilité des *IJB* pour les requêtes de type `Count(*)`. Le coût d'exécution de ces requêtes en utilisant les *IJB* est négligeable devant le coût sans



The screenshot shows the Oracle SQL Developer interface. The top window is titled "Feuille de calcul" and "Query Builder". It contains the following SQL code:

```
alter system flush buffer_cache;
alter system flush shared_pool;

CREATE BITMAP INDEX ijb_year
ON lineorderssb(datesb.d_year)
FROM lineorderssb, datesb
WHERE lo_orderdate = d_datekey

select count(*) from lineorderssb, datesb where lo_orderdate = d_datekey and d_year = 1993
```

Below the code, the execution results are displayed. The status bar indicates "Sortie de script x" and "Résultat de r... x". The execution time is "Toutes les lignes extraites : 1 en 0,47 secondes". The results table has two columns: "COUNT(*)" and "1". The value "908288" is shown in the first row.

COUNT(*)
908288

FIGURE 4.8 – Temps d'exécution d'une requête en présence d'IJB

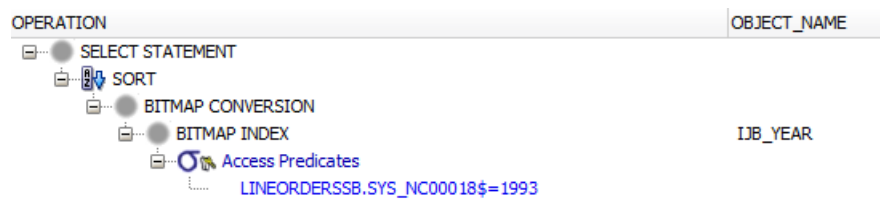


FIGURE 4.9 – Le plan d'exécution d'une requête sans IJB

index. Ces requêtes sont celles les plus bénéficiaires des *IJB*, car aucun accès aux données n'est effectué (l'accès aux *IJB* suffit pour répondre à ces requêtes). Les requêtes les moins bénéficiaires des *IJB* sont celles référençant des attributs de dimension dans la clause SELECT ou celles ayant moins d'attributs indexés, car elles nécessitent des jointures supplémentaires entre les tables de dimension et la table de faits [13].

Étude comparative

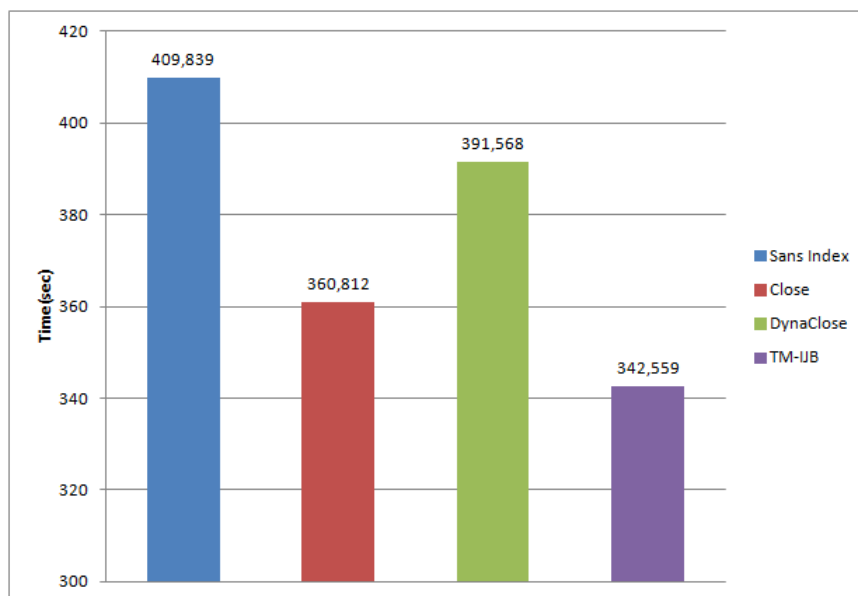


FIGURE 4.10 – Temps d'exécution des requêtes sur le banc de test SSB1

Après avoir exécuté toutes les requêtes, l'histogramme de la figure 4.10 montre la somme des temps d'exécution des 30 requêtes en absence des *IJB* et en présence des différentes configurations de chaque approche. Cet histogramme montre que notre approche TM-IJB est meilleure en termes de temps d'exécution vu qu'elle possède le temps le plus petit par rapport aux autres approches.

L'histogramme de la figure 4.11 montre le taux de réduction total de chaque approche, notre approche possède le taux de plus élevé de 16.5% quant à CLOSE et DYNACLOSE est de 11.9% et 4.5% respectivement.

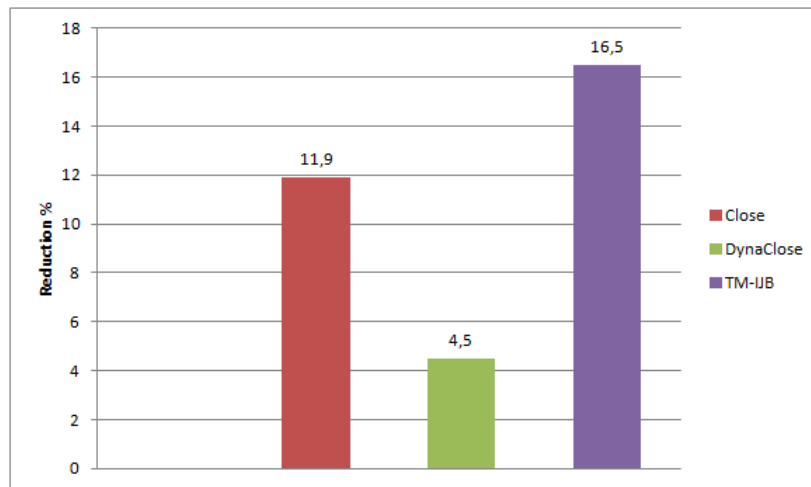


FIGURE 4.11 – Le taux de réduction des requêtes du banc de test SSB1

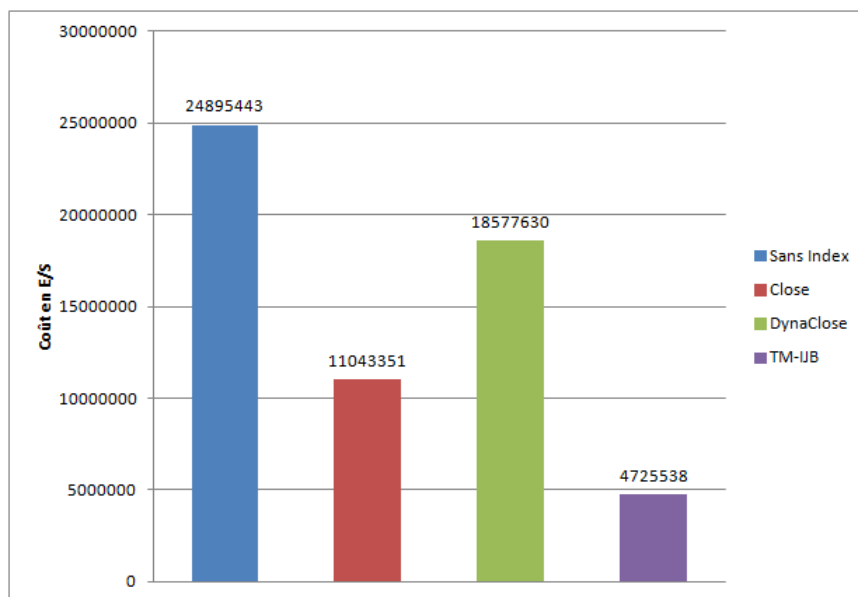


FIGURE 4.12 – Le coût d'exécution en E/S du banc de test SSB1

La figure 4.12 montre comment les différentes approches d'indexation réduisent le coût d'exécution des requêtes. Le résultat principal est que TM-IJB surpasse toutes les approches.

Comme nous pouvons le remarquer dans la figure 4.12, grâce au modèle de coût développé, nous avons pu quantifier la qualité de la structure d'optimisation sélectionnée *IJB* sur les attributs proposés par les différentes approches. Ainsi, nous pouvons constater qu'il est plus bénéfique de tenir compte de l'utilisation des traverses minimales pour extraire les *IJB*.

4.5.2 Le banc de test TPC-H

Nous allons répéter toutes les étapes précédentes mais cette fois avec le banc de test *TPC-H*. Au départ, nous avons effectué quelques tests pour définir la valeur appropriée de *minsup*, qui permet la génération d'un grand ensemble d'*IFF* ensuite exécuter les algorithmes *CLOSE*, *DYNACLOSE* et *TM-IJB* pour avoir les différentes configurations de chaque approche et à la fin passer à la validation sous *ORACLE*.

Sélection de la configuration de l'*IJB*

- i **L'approche Close** : une fois l'algorithme *CLOSE* exécuté avec un *minsup* égal à 0.1, il retourne 2 items fréquents fermés, i.e., 2 et 41 avec un support relatif égal à 0.21035, qui formeront par la suite la configuration d'*IJB*. Les items 2 et 41 sont respectivement les attributs *n_name* et *o_orderdate* comme le montre la figure 4.13.
- ii **L'approche DynaClose** : une fois l'algorithme *DYNACLOSE* exécuté avec un *minsup* égal à 0.1, il retourne 2 items fréquents fermés avec leur fonction *FITNESS*, i.e., 11 et 41 qui formeront par la suite la configuration d'*IJB*. Les items 11 et 41 sont respectivement les attributs *p_brand* et *o_orderdate* comme le montre la figure 4.14.
- iii **L'approche TM-IJB** : l'algorithme commence par la détermination du nombre de transversalité qui est, selon l'hypergraphe de la figure 4.15, égal à 6, ensuite l'algorithme continue par l'extraction de toutes les traverses minimales de taille 6 qui sont 54 *TMs*. Ensuite, il va calculer la fonction *FITNESS* pour chacune de ces traverses et ne garde que celle qui a le meilleur résultat, vu

```

*****
----- FREQUENT CLOSED ITEMSETS -----
L0
L1
pattern 0: 2 support : 0,21053
pattern 1: 6 support : 0,15789
pattern 2: 11 support : 0,15789
pattern 3: 12 support : 0,15789
pattern 4: 13 support : 0,15789
pattern 5: 41 support : 0,21053
pattern 6: 50 support : 0,15789
pattern 7: 56 support : 0,42105
pattern 8: 60 support : 0,10526
L2
pattern 9: 2 56 support : 0,10526
pattern 10: 6 12 support : 0,10526
pattern 11: 6 41 support : 0,10526
pattern 12: 11 13 support : 0,10526
pattern 13: 12 13 support : 0,10526
pattern 14: 57 58 support : 0,10526
L3
pattern 15: 11 14 50 support : 0,10526
-----
real    0m0.092s

```

FIGURE 4.13 – L'exécution de l'algorithme de Close sur TPC-H

```

***** Calcul de la valeur de Fitness pour chaque FCI *****
Fitness de l'FCI 1 = 1.0
Fitness de l'FCI 2 = 0.06
Fitness de l'FCI 3 = 0.10500000000000001
Fitness de l'FCI 4 = 0.10500000000000001
Fitness de l'FCI 5 = 0.10500000000000001
Fitness de l'FCI 6 = 0.002
Fitness de l'FCI 7 = 2.0
Fitness de l'FCI 8 = 2.0
Fitness de l'FCI 9 = 1.0
Fitness de l'FCI 10 = 1.5
Fitness de l'FCI 11 = 0.0825
Fitness de l'FCI 12 = 0.031
Fitness de l'FCI 13 = 0.10500000000000001
Fitness de l'FCI 14 = 0.10500000000000001
Fitness de l'FCI 15 = 0.7133333333333334

***** Final Result corresponding on the best FCI *****
11 41

```

FIGURE 4.14 – L'exécution de l'algorithme de DynaClose sur TPC-H

que dans ce cas, la fonction FITNESS retourne plus qu'une traverse minimale. Ainsi, l'algorithme calcule pour chacune de ces traverses minimales la somme de cardinalité de chaque attribut et ne retient que la TM ayant la plus petite somme.

À la fin, l'algorithme retourne la traverse minimale (2,13,34,41,50,56), et seuls les sommets 2,13,34 et 41 sont des attributs indexables qui sont respectivement

```

1  54 55 56
2  1 6 8 12 13 17 20 24 25 27 53
3  29 35 37 38 41 48 56
4  37 41 46 57 58
5  1 2 3 5 66 17 20 29 32 37 38 41 46 48
6  50 52 56
7  17 20 29 32 37 38 46 48 56
8  5 6 8 12 17 20 29 32 37 38 41 46 47 48
9  1 8 17 20 24 25 37 46 47 48
10 1 2 29 30 31 32 33 34 36 37 38 46 54
11 1 2 17 20 24 25
12 37 46 56 57 58 60
13 29 38
14 8 47 56
15 17 48 56
16 8 11 12 13 24
17 8 11 14 47 50 |
18 29 30 37 38 40 41 46
19 8 11 13 14 47 50 59 60
20 1 2 9 17 20 24 25 26 47 48 56
21 1 2 8 17 18 37 39
22 29 33 34 38

```

FIGURE 4.15 – L’hypergraphe de TPC-H

n_name, *p_size*, *c_acctbal* et *o_orderdate* comme le montre la figure 4.16.

Validation sous Oracle

Maintenant, nous passons à la validation sous le SGBD ORACLE 12c. Au premier lieu nous allons exécuter toutes les requêtes sans aucun index et retenir leur temps d’exécution. Sans oublier de vérifier le plan d’exécution de la requête en absence de l’*IJB* (cf. figure 4.17) pour pouvoir le comparer par la suite avec celui en présence de l’index.

Par la suite, nous créons physiquement les configurations générées par chaque approche. La figure 4.18 montre un exemple de création d’un *IJB*, celui sur l’attribut *p_brand*.

Nous exécutons après les requêtes en présence de l’index et retenir le temps d’exécution de chaque requête sans oublier de vérifier à chaque fois l’utilisation des *IJB*. Nous prenons cette requête comme un exemple :

```

***** Calcul du maximum de la fonction ALPHA *****

Le score maximal est : 2.00603

Les TMs qui ont un score maximal sont :
56 12 41 2 50 33 son total de page : 242642
56 12 41 2 50 34 son total de page : 242642
56 13 41 2 50 33 son total de page : 242642
56 13 41 2 50 34 son total de page : 242642

Le nombre des TM qui ont un score maximal est : 4

***** Calcul du minimum de la CARD *****

56 12 41 2 50 33 son total de cardinalite : 155157
56 12 41 2 50 34 son total de cardinalite : 16156
56 13 41 2 50 33 son total de cardinalite : 155057
56 13 41 2 50 34 son total de cardinalite : 16056

Le gagnant selon la cardinalite est :
56 13 41 2 50 34
Le total de ses CARD est :
16056
End of final process
real    0m0.169s

```

FIGURE 4.16 – Résultat de l’algorithme de TM-IJB sur le banc de test TPC-H

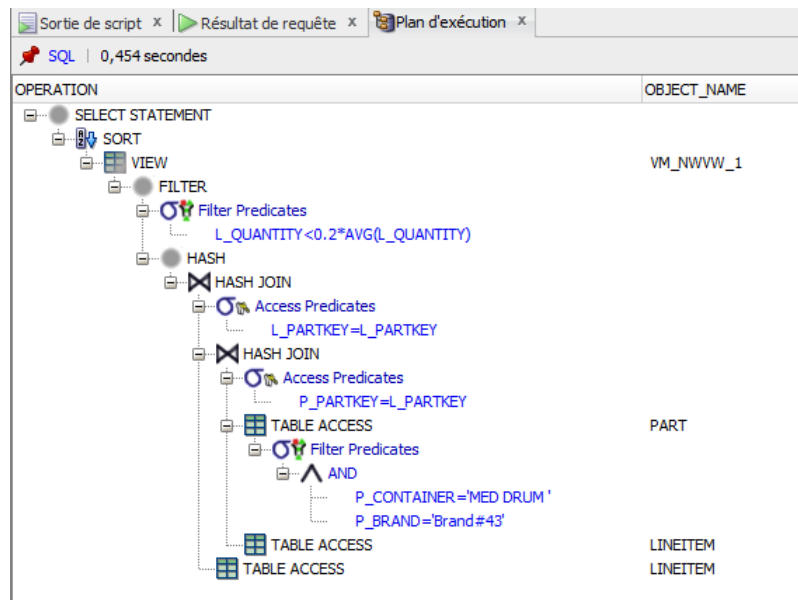
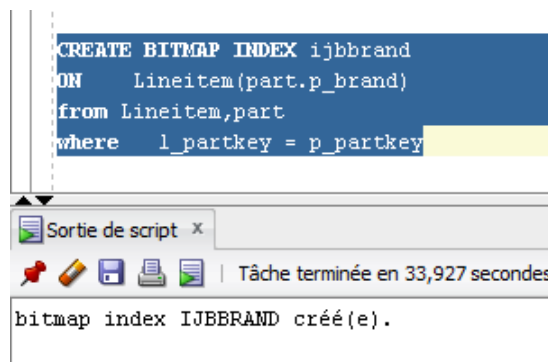


FIGURE 4.17 – Plan d’exécution d’une requête sans IJB



```
CREATE BITMAP INDEX ijbbrand
ON   lineitem(part.p_brand)
from lineitem,part
where  l_partkey = p_partkey
```

Sortie de script x

Tâche terminée en 33,927 secondes

bitmap index IJB BRAND créé(e).

FIGURE 4.18 – La création d'un IJB

Exemple 3 `Select sum(l_extendedprice) / 7.0 as avg_yearly`
`From lineitem, part,`
`(select l_partkey as agg_partkey,`
`0.2 * avg(l_quantity) as avg_quantity`
`from lineitem`
`group by l_partkey) part_agg`
`Where p_partkey = l_partkey`
`and agg_partkey = l_partkey`
`and p_brand = 'Brand#43'`
`and p_container = 'MED DRUM '`
`and l_quantity < avg_quantity`

Cette requête s'est exécutée en *18.766 secs* en présence de l'*IJB* comme le montre le plan d'exécution de la figure 4.19 par contre elle a pris *31.646 secs* pour s'exécuter en absence de l'*IJB*. Nous pouvons conclure ici que la présence de l'*IJB* nous a permis d'avoir un gain de 41.8% du temps d'exécution.

Étude comparative

Après avoir exécuté toutes les requêtes, l'histogramme de la figure 4.20 montre la somme des temps d'exécution des 22 requêtes en absence des *IJB* et en présence des différentes configurations de chaque approche. Cet histogramme montre que notre approche TM-IJB est meilleure en termes de temps d'exécution vu qu'elle a le temps

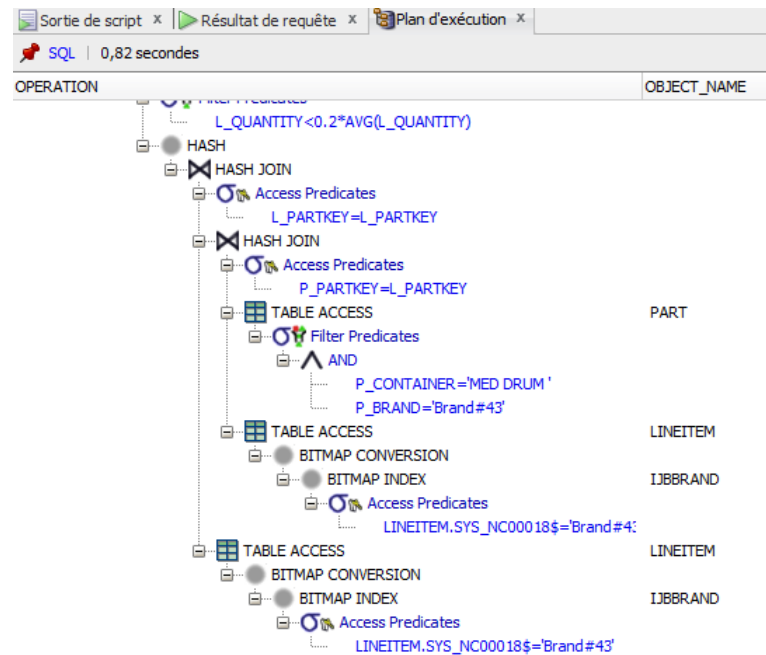


FIGURE 4.19 – Plan d'exécution d'une requête avec IJB sur le banc de test TPC-H

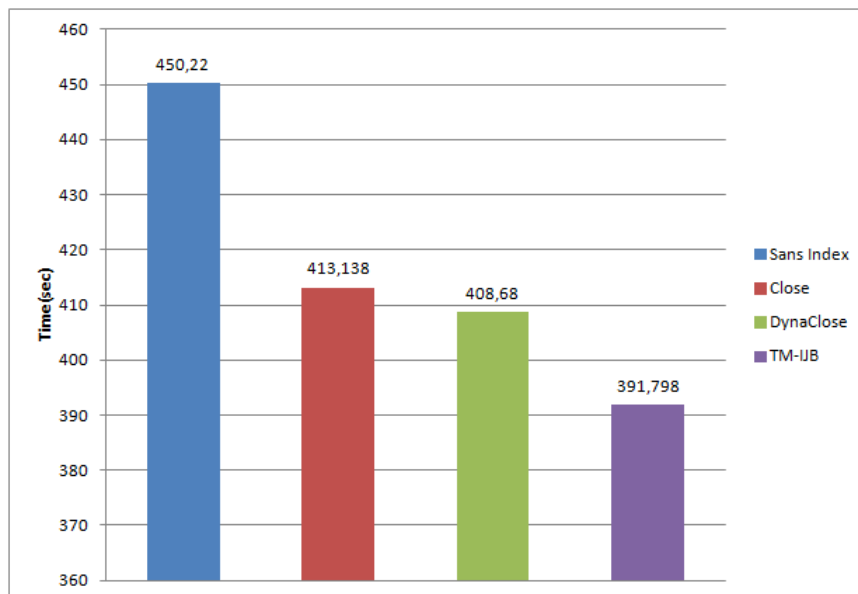


FIGURE 4.20 – Temps d'exécution des 22 requêtes du banc de test TPC-H

le plus petit par rapport aux autres approches.

Étude comparative

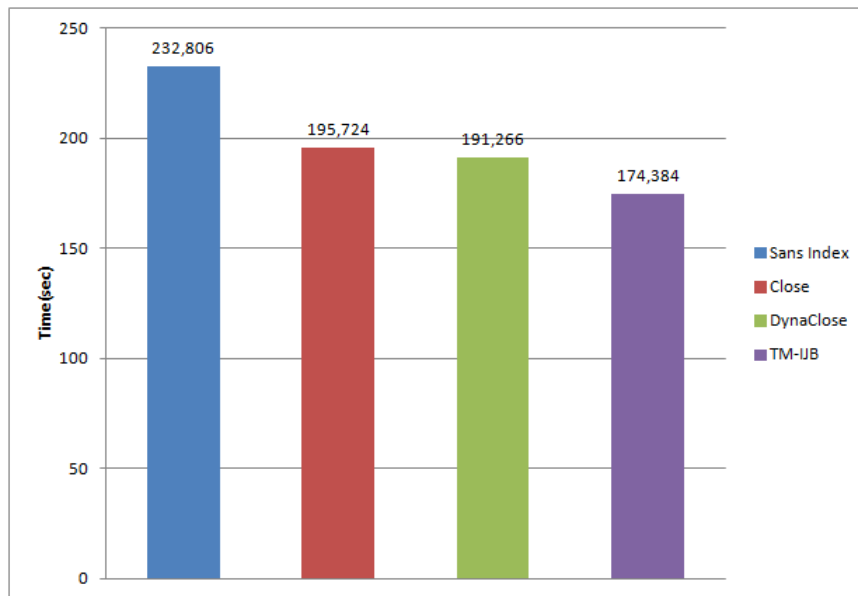


FIGURE 4.21 – Temps d'exécution des 8 requêtes du banc de test TPC-H

Vu que seules 8 des 22 requêtes fournies par le banc de test sont susceptibles d'avoir un *IJB*, dans le sens que ces requêtes interrogent seulement la tables de faits ou bien seulement les tables de dimension. Ainsi, nous avons tracé 2 histogrammes, un contenant les résultats des 22 requêtes illustré dans la figure 4.20. Et la figure 4.21 illustre les 8 requêtes sur lesquelles nous pouvons exécuter l'*IJB*.

L'historgramme de la figure 4.22 montre le taux de réduction total de chaque approche. Notre approche a le taux de plus élevé de 13% quant à DYNACLOSE et CLOSE est de 9.3% et 8.3% respectivement. Ces taux s'élèvent considérablement, à presque le double, si nous calculons le gain seulement sur les 8 requêtes indexables comme l'illustre l'historgramme de la figure 4.23.

La figure 4.24 montre comment les différentes approches d'indexation réduisent le coût d'exécution des 22 requêtes. Le résultat principal est que TM-IJB surpasse toutes les approches.

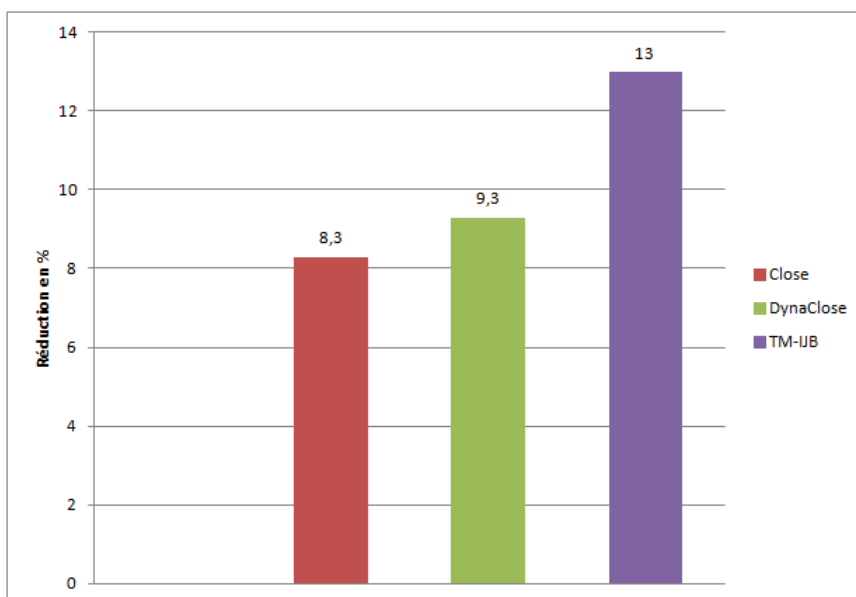


FIGURE 4.22 – Taux de réduction des 22 requêtes du banc de test TPC-H

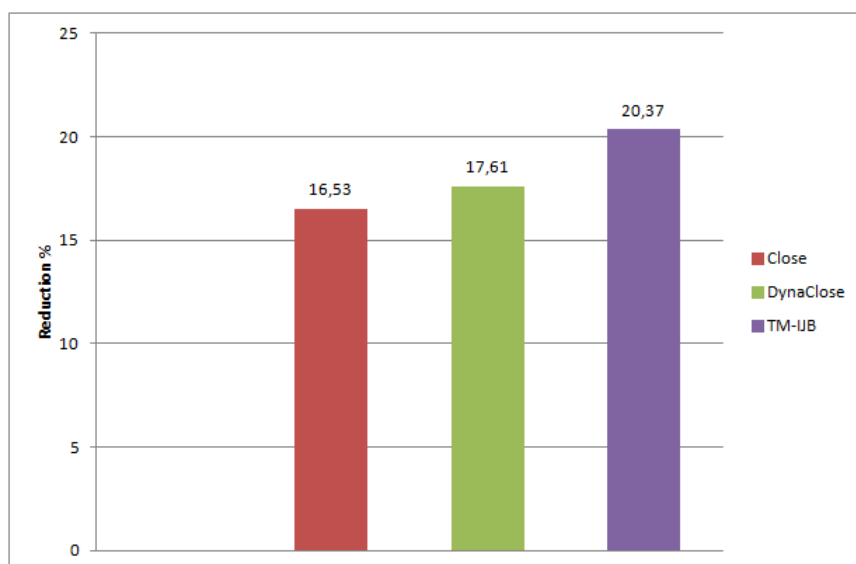


FIGURE 4.23 – Taux de réduction des 8 requêtes du banc de test TPC-H

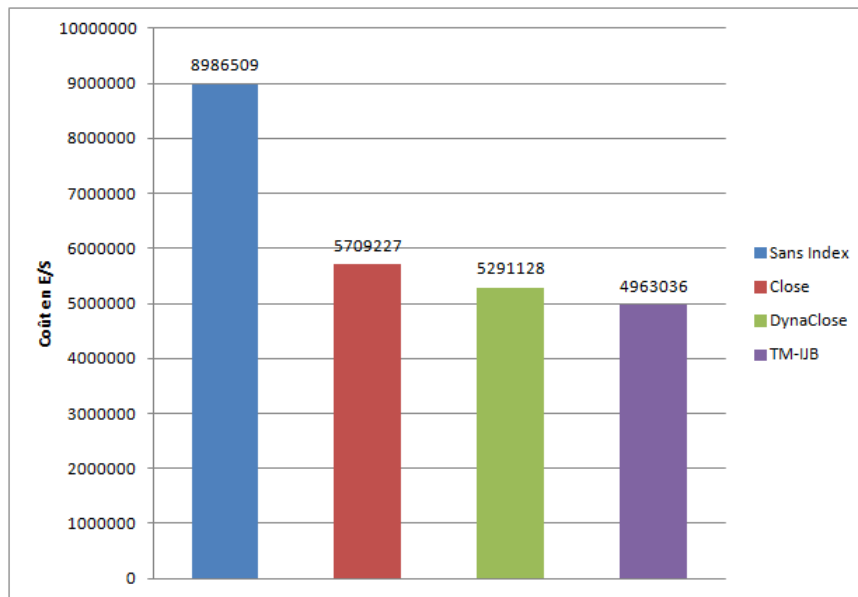


FIGURE 4.24 – Histogramme du coût d'exécution en E/S

Comme nous pouvons le remarquer dans la figure 4.24, grâce au modèle de coût développé, nous avons pu quantifier la qualité de la structure d'optimisation sélectionnée *IJB* sur les attributs proposés par les différentes approches. Ainsi, nous pouvons constater qu'il est plus bénéfique de tenir compte de l'utilisation des traverses minimales pour extraire les *IJB*.

Conclusion

Dans ce chapitre, nous sommes passés de l'étude théorique à la partie expérimentale pour mettre en exergue le travail réalisé. Nous avons présenté les résultats des approches existantes et nos résultats en termes de temps d'exécution, taux de réduction et le coût en entrées/sorties pour valider notre approche, afin d'évaluer l'efficacité de cette dernière. Ce qui nous a permis de prouver l'importance de notre contribution, à savoir la pertinence d'utiliser les traverses minimales au service de sélection des *IJB*.

Conclusion générale et perspectives

Une des caractéristiques des entrepôts de données est leur volume de données important qui peut atteindre quelques milliers de giga-octets (téraoctet). Les entrepôts de données sont dédiés aux applications d'analyse et de prise de décision. Cette analyse est souvent réalisée par l'intermédiaire de requêtes complexes caractérisées par des opérations de sélections, de jointures et d'agrégations. Pour optimiser ces requêtes, l'administrateur est amené à effectuer une tâche très importante : la conception physique durant laquelle, l'administrateur choisit un ensemble de techniques d'optimisation à sélectionner de manière isolée ou combinée.

Dans ce travail, nous nous sommes ouvert au domaine le domaine des entrepôts de données son architecture, sa modélisation et ses différentes techniques d'optimisation. Nous avons décrit les index de jointure binaires, avec les problèmes liés à leurs sélections ainsi que les différents travaux proposés pour résoudre ces problèmes.

Dans ce travail, nous avons essayé d'utiliser la technique d'index de jointure binaire qui est considérée comme une technique très pertinente pour l'optimisation des requêtes en étoile (OLAP) utilisées dans le cas des entrepôts de données. Nous avons proposé une approche de sélection d'une configuration finale d'index de jointure binaires. Notre approche repose sur l'utilisation d'une technique appelée les traverses minimales. La configuration finale obtenue est composée de plusieurs index qui permettent d'optimiser l'ensemble de requêtes.

Nous avons effectué plusieurs expérimentations sur notre approche et sur des approches déjà proposés telles que CLOSE et DYNACLOSE, afin de prouver la qualité de notre approche par rapport à ces dernières. À la fin, nous avons déduit que notre

approche proposée a prouvé son efficacité quand à l'optimisation des performances des entrepôts de données. L'idée de proposer une nouvelle approche pour sélectionner une combinaison d'index de jointure binaire est très originale et prometteuse. Les résultats présentés dans ce mémoire montrent l'efficacité de notre approche tout en contribuant à un axe de recherche très prometteur et d'actualité.

De nombreuses perspectives de recherche peuvent être envisagées. Nous présentons succinctement celles qui nous paraissent être les plus intéressantes.

Les approches de sélection d'index de jointure binaires existantes sont contraintes seulement par l'espace de stockage, sera intéressant de considérer le coût de mise à jour des index sélectionnés comme étant une contrainte supplémentaire [36, 35].

Les approches de sélection que nous avons proposées se basent sur une charge de travail fixe construites à travers les requêtes considérées fréquentes. Cette charge peut évoluer et ainsi rendre la conception physique obsolète. Il serait intéressant de développer une stratégie permettant de détecter les changements intervenus au niveau de la charge de requêtes et de proposer un ensemble de recommandations à l'administrateur. L'identification des changements peut être effectuée en analysant les fichiers logs à travers l'implémentation d'un ensemble de déclencheurs (triggers). Les recommandations générées peuvent varier d'un simple avertissement sur un changement dans une requête à une proposition d'une nouvelle configuration d'index et une nouvelle conception physique de l'entrepôt [39, 38, 37].

Et enfin, nous avons identifié des similarités entre les indexs de jointure binaires et la fragmentation horizontale dérivée, qui nous ont permis de les combiner. Il serait judicieux de refaire le même travail en considérant d'autres techniques comme la sélection des vues matérialisées[34, 35].

Annexe A

Nous présentons la charge de travail utilisée pour l'expérimentation de notre stratégie de sélection des *IJB* sur le banc de tests *TPC-H*. 22 requêtes de plusieurs types ont été considérées : requêtes de type `count(*)` avec et sans agrégation, requêtes utilisant les fonctions d'agrégation comme *Sum*, *Min*, *Max*, requêtes ayant des attributs de dimension dans la clause `SELECT`, etc.

```
Q1 - SELECT L_RETURNFLAG, L_LINESTATUS, SUM(L_QUANTITY) AS SUM_QTY,
        SUM(L_EXTENDEDPRI) AS SUM_BASE_PRICE, SUM(L_EXTENDEDPRI*(1-L_DISCOUNT)) AS SUM_DISC_PRICE,
        SUM(L_EXTENDEDPRI*(1-L_DISCOUNT)*(1+L_TAX)) AS SUM_CHARGE, AVG(L_QUANTITY) AS AVG_QTY,
        AVG(L_EXTENDEDPRI) AS AVG_PRICE, AVG(L_DISCOUNT) AS AVG_DISC, COUNT(*) AS COUNT_ORDER
FROM LINEITEM
WHERE L_SHIPDATE <= dateadd(dd, -90, cast('1998-12-01' as date))
GROUP BY L_RETURNFLAG, L_LINESTATUS
ORDER BY L_RETURNFLAG,L_LINESTATUS
```

```
Q2 - SELECT TOP 100 S_ACCTBAL, S_NAME, N_NAME, P_PARTKEY, P_MFGR, S_ADDRESS, S_PHONE, S_COMMENT
FROM PART, SUPPLIER, PARTSUPP, NATION, REGION
WHERE P_PARTKEY = PS_PARTKEY AND S_SUPPKEY = PS_SUPPKEY AND P_SIZE = 15 AND
P_TYPE LIKE '%%BRASS' AND S_NATIONKEY = N_NATIONKEY AND N_REGIONKEY = R_REGIONKEY AND
R_NAME = 'EUROPE' AND
PS_SUPPLYCOST = (SELECT MIN(PS_SUPPLYCOST) FROM PARTSUPP, SUPPLIER, NATION, REGION
WHERE P_PARTKEY = PS_PARTKEY AND S_SUPPKEY = PS_SUPPKEY
AND S_NATIONKEY = N_NATIONKEY AND N_REGIONKEY = R_REGIONKEY AND R_NAME = 'EUROPE')
ORDER BY S_ACCTBAL DESC, N_NAME, S_NAME, P_PARTKEY
```

```
Q3 - SELECT TOP 10 L_ORDERKEY, SUM(L_EXTENDEDPRI*(1-L_DISCOUNT)) AS REVENUE, O_ORDERDATE, O_SHIPPRIORITY
FROM CUSTOMER, ORDERS, LINEITEM
WHERE C_MKTSEGMENT = 'BUILDING' AND C_CUSTKEY = O_CUSTKEY AND L_ORDERKEY = O_ORDERKEY AND
O_ORDERDATE < '1995-03-15' AND L_SHIPDATE > '1995-03-15'
GROUP BY L_ORDERKEY, O_ORDERDATE, O_SHIPPRIORITY
```

ORDER BY REVENUE DESC, O_ORDERDATE

```
Q4 - SELECT O_ORDERPRIORITY, COUNT(*) AS ORDER_COUNT FROM ORDERS
WHERE O_ORDERDATE >= '1993-07-01' AND O_ORDERDATE < dateadd(mm,3, cast('1993-07-01' as date))
AND EXISTS (SELECT * FROM LINEITEM WHERE L_ORDERKEY = O_ORDERKEY AND L_COMMITDATE < L_RECEIPTDATE)
GROUP BY O_ORDERPRIORITY
ORDER BY O_ORDERPRIORITY
```

```
Q5 - SELECT N_NAME, SUM(L_EXTENDEDPRI*(1-L_DISCOUNT)) AS REVENUE
FROM CUSTOMER, ORDERS, LINEITEM, SUPPLIER, NATION, REGION
WHERE C_CUSTKEY = O_CUSTKEY AND L_ORDERKEY = O_ORDERKEY AND L_SUPPKEY = S_SUPPKEY
AND C_NATIONKEY = S_NATIONKEY AND S_NATIONKEY = N_NATIONKEY AND N_REGIONKEY = R_REGIONKEY
AND R_NAME = 'ASIA' AND O_ORDERDATE >= '1994-01-01'
AND O_ORDERDATE < DATEADD(YY, 1, cast('1994-01-01' as date))
GROUP BY N_NAME
ORDER BY REVENUE DESC
```

```
Q6 - SELECT SUM(L_EXTENDEDPRI*L_DISCOUNT) AS REVENUE
FROM LINEITEM
WHERE L_SHIPDATE >= '1994-01-01' AND L_SHIPDATE < dateadd(yy, 1, cast('1994-01-01' as date))
AND L_DISCOUNT BETWEEN .06 - 0.01 AND .06 + 0.01 AND L_QUANTITY < 24
```

```
Q7 - SELECT SUPP_NATION, CUST_NATION, L_YEAR, SUM(VOLUME) AS REVENUE
FROM ( SELECT N1.N_NAME AS SUPP_NATION, N2.N_NAME AS CUST_NATION, datepart(yy, L_SHIPDATE) AS L_YEAR,
L_EXTENDEDPRI*(1-L_DISCOUNT) AS VOLUME
FROM SUPPLIER, LINEITEM, ORDERS, CUSTOMER, NATION N1, NATION N2
WHERE S_SUPPKEY = L_SUPPKEY AND O_ORDERKEY = L_ORDERKEY AND C_CUSTKEY = O_CUSTKEY
AND S_NATIONKEY = N1.N_NATIONKEY AND C_NATIONKEY = N2.N_NATIONKEY AND
((N1.N_NAME = 'FRANCE' AND N2.N_NAME = 'GERMANY') OR
(N1.N_NAME = 'GERMANY' AND N2.N_NAME = 'FRANCE')) AND
L_SHIPDATE BETWEEN '1995-01-01' AND '1996-12-31' ) AS SHIPPING
GROUP BY SUPP_NATION, CUST_NATION, L_YEAR
ORDER BY SUPP_NATION, CUST_NATION, L_YEAR
```

```
Q8 - SELECT O_YEAR, SUM(CASE WHEN NATION = 'BRAZIL' THEN VOLUME ELSE 0 END)/SUM(VOLUME) AS MKT_SHARE
FROM (SELECT datepart(yy,O_ORDERDATE) AS O_YEAR, L_EXTENDEDPRI*(1-L_DISCOUNT) AS VOLUME, N2.N_NAME AS NATION
FROM PART, SUPPLIER, LINEITEM, ORDERS, CUSTOMER, NATION N1, NATION N2, REGION
WHERE P_PARTKEY = L_PARTKEY AND S_SUPPKEY = L_SUPPKEY AND L_ORDERKEY = O_ORDERKEY
AND O_CUSTKEY = C_CUSTKEY AND C_NATIONKEY = N1.N_NATIONKEY AND
N1.N_REGIONKEY = R_REGIONKEY AND R_NAME = 'AMERICA' AND S_NATIONKEY = N2.N_NATIONKEY
AND O_ORDERDATE BETWEEN '1995-01-01' AND '1996-12-31' AND P_TYPE= 'ECONOMY ANODIZED STEEL') AS ALL_NATIONS
GROUP BY O_YEAR
ORDER BY O_YEAR
```

```

Q9 - SELECT NATION, O_YEAR, SUM(AMOUNT) AS SUM_PROFIT
FROM (SELECT N_NAME AS NATION, datepart(yy, O_ORDERDATE) AS O_YEAR,
L_EXTENDEDPRICE*(1-L_DISCOUNT)-PS_SUPPLYCOST*L_QUANTITY AS AMOUNT
FROM PART, SUPPLIER, LINEITEM, PARTSUPP, ORDERS, NATION
WHERE S_SUPPKEY = L_SUPPKEY AND PS_SUPPKEY= L_SUPPKEY AND PS_PARTKEY = L_PARTKEY AND
P_PARTKEY= L_PARTKEY AND O_ORDERKEY = L_ORDERKEY AND S_NATIONKEY = N_NATIONKEY AND
P_NAME LIKE '%%green%') AS PROFIT
GROUP BY NATION, O_YEAR
ORDER BY NATION, O_YEAR DESC

```

```

Q10 - SELECT TOP 20 C_CUSTKEY, C_NAME, SUM(L_EXTENDEDPRICE*(1-L_DISCOUNT)) AS REVENUE, C_ACCTBAL,
N_NAME, C_ADDRESS, C_PHONE, C_COMMENT
FROM CUSTOMER, ORDERS, LINEITEM, NATION
WHERE C_CUSTKEY = O_CUSTKEY AND L_ORDERKEY = O_ORDERKEY AND O_ORDERDATE>= '1993-10-01' AND
O_ORDERDATE < dateadd(mm, 3, cast('1993-10-01' as date)) AND
L_RETURNFLAG = 'R' AND C_NATIONKEY = N_NATIONKEY
GROUP BY C_CUSTKEY, C_NAME, C_ACCTBAL, C_PHONE, N_NAME, C_ADDRESS, C_COMMENT
ORDER BY REVENUE DESC

```

```

Q11 - SELECT PS_PARTKEY, SUM(PS_SUPPLYCOST*PS_AVAILQTY) AS VALUE
FROM PARTSUPP, SUPPLIER, NATION
WHERE PS_SUPPKEY = S_SUPPKEY AND S_NATIONKEY = N_NATIONKEY AND N_NAME = 'GERMANY'
GROUP BY PS_PARTKEY
HAVING SUM(PS_SUPPLYCOST*PS_AVAILQTY) > (SELECT SUM(PS_SUPPLYCOST*PS_AVAILQTY) * 0.0001000000
FROM PARTSUPP, SUPPLIER, NATION
WHERE PS_SUPPKEY = S_SUPPKEY AND S_NATIONKEY = N_NATIONKEY AND N_NAME = 'GERMANY')
ORDER BY VALUE DESC

```

```

Q12 - SELECT L_SHIPMODE,
SUM(CASE WHEN O_ORDERPRIORITY = '1-URGENT' OR O_ORDERPRIORITY = '2-HIGH' THEN 1 ELSE 0 END) AS HIGH_LINE_COUNT,
SUM(CASE WHEN O_ORDERPRIORITY <> '1-URGENT' AND O_ORDERPRIORITY <> '2-HIGH' THEN 1 ELSE 0 END ) AS LOW_LINE_COUNT
FROM ORDERS, LINEITEM
WHERE O_ORDERKEY = L_ORDERKEY AND L_SHIPMODE IN ('MAIL','SHIP')
AND L_COMMITDATE < L_RECEIPTDATE AND L_SHIPDATE < L_COMMITDATE AND L_RECEIPTDATE >= '1994-01-01'
AND L_RECEIPTDATE < dateadd(mm, 1, cast('1995-09-01' as date))
GROUP BY L_SHIPMODE
ORDER BY L_SHIPMODE

```

```

Q13 - SELECT C_COUNT, COUNT(*) AS CUSTDIST
FROM (SELECT C_CUSTKEY, COUNT(O_ORDERKEY)
FROM CUSTOMER left outer join ORDERS on C_CUSTKEY = O_CUSTKEY
AND O_COMMENT not like '%%special%%requests%%')

```



```
GROUP BY C_CUSTKEY) AS C_ORDERS (C_CUSTKEY, C_COUNT)
GROUP BY C_COUNT
ORDER BY CUSTDIST DESC, C_COUNT DESC
```

```
Q14 - SELECT 100.00* SUM(CASE WHEN P_TYPE LIKE 'PROMO%%' THEN L_EXTENDEDPRI*(1-L_DISCOUNT)
ELSE 0 END) / SUM(L_EXTENDEDPRI*(1-L_DISCOUNT)) AS PROMO_REVENUE
FROM LINEITEM, PART
WHERE L_PARTKEY = P_PARTKEY AND L_SHIPDATE >= '1995-09-01' AND L_SHIPDATE < dateadd(mm, 1, '1995-09-01')
```

```
Q15 - CREATE VIEW REVENUEO (SUPPLIER_NO, TOTAL_REVENUE) AS
SELECT L_SUPPKEY, SUM(L_EXTENDEDPRI*(1-L_DISCOUNT)) FROM LINEITEM
WHERE L_SHIPDATE >= '1996-01-01' AND L_SHIPDATE < dateadd(mm, 3, cast('1996-01-01' as date))
GROUP BY L_SUPPKEY
```

```
SELECT S_SUPPKEY, S_NAME, S_ADDRESS, S_PHONE, TOTAL_REVENUE
FROM SUPPLIER, REVENUEO
WHERE S_SUPPKEY = SUPPLIER_NO AND TOTAL_REVENUE = (SELECT MAX(TOTAL_REVENUE) FROM REVENUEO)
ORDER BY S_SUPPKEY
DROP VIEW REVENUEO
```

```
Q16 - SELECT P_BRAND, P_TYPE, P_SIZE, COUNT(DISTINCT PS_SUPPKEY) AS SUPPLIER_CNT
FROM PARTSUPP, PART
WHERE P_PARTKEY = PS_PARTKEY AND P_BRAND <> 'Brand#45' AND P_TYPE NOT LIKE 'MEDIUM POLISHED%%'
AND P_SIZE IN (49, 14, 23, 45, 19, 3, 36, 9) AND PS_SUPPKEY NOT IN (SELECT S_SUPPKEY FROM SUPPLIER
WHERE S_COMMENT LIKE '%%Customer%%Complaints%%')
GROUP BY P_BRAND, P_TYPE, P_SIZE
ORDER BY SUPPLIER_CNT DESC, P_BRAND, P_TYPE, P_SIZE
```

```
Q17 - SELECT SUM(L_EXTENDEDPRI)/7.0 AS AVG_YEARLY FROM LINEITEM, PART
WHERE P_PARTKEY = L_PARTKEY AND P_BRAND = 'Brand#23' AND P_CONTAINER = 'MED BOX'
AND L_QUANTITY < (SELECT 0.2*AVG(L_QUANTITY) FROM LINEITEM WHERE L_PARTKEY = P_PARTKEY)
```

```
Q18 - SELECT TOP 100 C_NAME, C_CUSTKEY, O_ORDERKEY, O_ORDERDATE, O_TOTALPRICE, SUM(L_QUANTITY)
FROM CUSTOMER, ORDERS, LINEITEM
WHERE O_ORDERKEY IN (SELECT L_ORDERKEY FROM LINEITEM GROUP BY L_ORDERKEY HAVING
SUM(L_QUANTITY) > 300) AND C_CUSTKEY = O_CUSTKEY AND O_ORDERKEY = L_ORDERKEY
GROUP BY C_NAME, C_CUSTKEY, O_ORDERKEY, O_ORDERDATE, O_TOTALPRICE
ORDER BY O_TOTALPRICE DESC, O_ORDERDATE
```

```
Q19 - SELECT SUM(L_EXTENDEDPRI* (1 - L_DISCOUNT)) AS REVENUE
FROM LINEITEM, PART
WHERE (P_PARTKEY = L_PARTKEY AND P_BRAND = 'Brand#12')
```

```

AND P_CONTAINER IN ('SM CASE', 'SM BOX', 'SM PACK', 'SM PKG')
AND L_QUANTITY >= 1 AND L_QUANTITY <= 1 + 10 AND P_SIZE BETWEEN 1 AND 5
AND L_SHIPMODE IN ('AIR', 'AIR REG') AND L_SHIPINSTRUCT = 'DELIVER IN PERSON')
OR (P_PARTKEY = L_PARTKEY AND P_BRAND = 'Brand#23'
AND P_CONTAINER IN ('MED BAG', 'MED BOX', 'MED PKG', 'MED PACK')
AND L_QUANTITY >=10 AND L_QUANTITY <=10 + 10 AND P_SIZE BETWEEN 1 AND 10
AND L_SHIPMODE IN ('AIR', 'AIR REG') AND L_SHIPINSTRUCT = 'DELIVER IN PERSON')
OR (P_PARTKEY = L_PARTKEY AND P_BRAND = 'Brand#34'
AND P_CONTAINER IN ('LG CASE', 'LG BOX', 'LG PACK', 'LG PKG')
AND L_QUANTITY >=20 AND L_QUANTITY <= 20 + 10 AND P_SIZE BETWEEN 1 AND 15
AND L_SHIPMODE IN ('AIR', 'AIR REG') AND L_SHIPINSTRUCT = 'DELIVER IN PERSON')

```

```

Q20 - SELECT S_NAME, S_ADDRESS FROM SUPPLIER, NATION
WHERE S_SUPPKEY IN (SELECT PS_SUPPKEY FROM PARTSUPP
WHERE PS_PARTKEY in (SELECT P_PARTKEY FROM PART WHERE P_NAME like 'forest%')) AND
PS_AVAILQTY > (SELECT 0.5*sum(L_QUANTITY) FROM LINEITEM WHERE L_PARTKEY = PS_PARTKEY AND
L_SUPPKEY = PS_SUPPKEY AND L_SHIPDATE >= '1994-01-01' AND
L_SHIPDATE < dateadd(yy,1,'1994-01-01')) AND S_NATIONKEY = N_NATIONKEY AND N_NAME = 'CANADA'
ORDER BY S_NAME

```

```

Q21 - SELECT TOP 100 S_NAME, COUNT(*) AS NUMWAIT
FROM SUPPLIER, LINEITEM L1, ORDERS, NATION WHERE S_SUPPKEY = L1.L_SUPPKEY AND
O_ORDERKEY = L1.L_ORDERKEY AND O_ORDERSTATUS = 'F' AND L1.L_RECEIPTDATE> L1.L_COMMITDATE
AND EXISTS (SELECT * FROM LINEITEM L2 WHERE L2.L_ORDERKEY = L1.L_ORDERKEY
AND L2.L_SUPPKEY <> L1.L_SUPPKEY) AND
NOT EXISTS (SELECT * FROM LINEITEM L3 WHERE L3.L_ORDERKEY = L1.L_ORDERKEY AND
L3.L_SUPPKEY <> L1.L_SUPPKEY AND L3.L_RECEIPTDATE > L3.L_COMMITDATE) AND
S_NATIONKEY = N_NATIONKEY AND N_NAME = 'SAUDI ARABIA'
GROUP BY S_NAME
ORDER BY NUMWAIT DESC, S_NAME

```

```

Q22 - SELECT CNTRYCODE, COUNT(*) AS NUMCUST, SUM(C_ACCTBAL) AS TOTACCTBAL
FROM (SELECT SUBSTRING(C_PHONE,1,2) AS CNTRYCODE, C_ACCTBAL
FROM CUSTOMER WHERE SUBSTRING(C_PHONE,1,2) IN ('13', '31', '23', '29', '30', '18', '17') AND
C_ACCTBAL > (SELECT AVG(C_ACCTBAL) FROM CUSTOMER WHERE C_ACCTBAL > 0.00 AND
SUBSTRING(C_PHONE,1,2) IN ('13', '31', '23', '29', '30', '18', '17')) AND
NOT EXISTS ( SELECT * FROM ORDERS WHERE O_CUSTKEY = C_CUSTKEY)) AS CUSTSALE
GROUP BY CNTRYCODE
ORDER BY CNTRYCODE

```

Annexe B

Nous présentons la charge de travail utilisée pour l'expérimentation de notre stratégie de sélection des *IJB* sur le banc de tests *SSB1*. 30 requêtes de plusieurs types ont été considérées : requêtes de type `count(*)` avec et sans agrégation, requêtes utilisant les fonctions d'agrégation comme *Sum*, *Min*, *Max*, requêtes ayant des attributs de dimension dans la clause `SELECT`, etc.

```
Q1 - select sum(lo_extendedprice*lo_discount) as revenue
from lineorder, dates
where lo_orderdate = d_datekey and d_year = 1993
and lo_discount >= 1 and lo_discount <= 3 and lo_quantity < 25
```

```
Q2 - select count(*) f
rom lineorder, dates
where lo_orderdate = d_datekey and d_year = 1993
and lo_discount >= 1 and lo_discount <= 3 and lo_quantity < 25
```

```
Q3 - select sum(lo_extendedprice*lo_discount) as revenue
from lineorder, dates
where lo_orderdate = d_datekey and d_year = 1993
```

```
Q4 - select count(*)
from lineorder, dates
where lo_orderdate = d_datekey and d_year = 1993
```

```
Q5 - select sum(lo_revenue), d_year
from lineorder, dates, part, supplier
where lo_orderdate = d_datekey and lo_partkey = p_partkey
and lo_suppkey = s_suppkey and p_brand = 'MFGR#2221' and s_region = 'ASIA'
group by d_year order by d_year
```

```
Q6 - select sum(lo_revenue)
from lineorder, part
```

```
where lo_partkey = p_partkey and p_brand = 'MFGR#2221'
```

```
Q7 - select avg(lo_revenue), d_year
from lineorder, dates, part, supplier
where lo_orderdate = d_datekey and lo_partkey = p_partkey
and lo_suppkey = s_suppkey and p_brand = 'MFGR#2221' and s_region = 'ASIA'
group by d_year order by d_year
```

```
Q8 - select sum(lo_revenue), d_year
from lineorder, dates, part, supplier
where lo_orderdate = d_datekey and lo_partkey = p_partkey
and lo_suppkey = s_suppkey and p_brand = 'MFGR#2221' and s_region = 'EUROPE'
group by d_year, p_brand order by d_year, p_brand
```

```
Q9 - select sum(lo_revenue)
from lineorder, part, supplier
where lo_partkey = p_partkey and lo_suppkey = s_suppkey
and p_brand = 'MFGR#2221' and s_region = 'EUROPE'
```

```
Q10 - select count(*), d_year
from lineorder, dates, part, supplier
where lo_orderdate = d_datekey and lo_partkey = p_partkey
and lo_suppkey = s_suppkey and p_brand = 'MFGR#2221' and s_region = 'EUROPE'
group by d_year order by d_year
```

```
Q11 - select c_nation, s_nation, d_year, sum(lo_revenue) as revenue
from lineorder, customer, supplier, dates
where lo_custkey = c_custkey and lo_suppkey = s_suppkey and lo_orderdate = d_datekey
and c_region = 'ASIA' and s_region = 'ASIA' and d_year >= 1992
and d_year <= 1997 group by c_nation, s_nation, d_year order by d_year asc, revenue desc
```

```
Q12 - select s_nation, sum(lo_revenue) as revenue
from lineorder, supplier
where lo_suppkey = s_suppkey and s_region = 'ASIA' group by s_nation order by revenue desc
```

```
Q13 - select s_nation, count(*) as revenue
from lineorder, supplier
where lo_suppkey = s_suppkey and s_region = 'ASIA' group by s_nation order by revenue desc
```

```
Q14 - select s_nation, d_year, sum(lo_revenue) as revenue
from lineorder, supplier, dates
where lo_suppkey = s_suppkey and lo_orderdate = d_datekey and s_region = 'ASIA'
and d_year >= 1992 and d_year <= 1997
group by s_nation, d_year order by d_year asc, revenue desc
```

```
Q15 - select c_nation, s_nation, d_year, avg(lo_revenue) as avg_revenue
from lineorder, customer, supplier, dates
where lo_custkey = c_custkey and lo_suppkey = s_suppkey and lo_orderdate = d_datekey
and c_region = 'ASIA' and s_region = 'ASIA' and d_year >= 1992 and d_year <= 1997
group by c_nation, s_nation, d_year order by d_year asc, avg_revenue desc
```

```
Q16 - select c_nation, s_nation, d_year, count(*)
from lineorder, customer, supplier, dates
where lo_custkey = c_custkey and lo_suppkey = s_suppkey and lo_orderdate = d_datekey
and c_region = 'ASIA' and s_region = 'ASIA' and d_year >= 1992 and d_year <= 1997
group by c_nation, s_nation, d_year order by d_year asc
```

```
Q17 - select c_city, s_city, d_year, sum(lo_revenue) as revenue
from lineorder, customer, supplier, dates
where lo_custkey = c_custkey and lo_suppkey = s_suppkey and lo_orderdate = d_datekey
and c_nation = 'UNITED STATES' and s_nation = 'UNITED STATES' and d_year >= 1992 and d_year <= 1997
group by c_city, s_city, d_year order by d_year asc, revenue desc
```

```
Q18 - select s_city, sum(lo_revenue) as revenue
from lineorder, supplier
where lo_suppkey = s_suppkey and s_nation = 'UNITED STATES'
group by s_city order by revenue desc
```

```
Q19 - select s_city, avg(lo_revenue) as avg_revenue
from lineorder, supplier where
lo_suppkey = s_suppkey and s_nation = 'UNITED STATES'
group by s_city order by avg_revenue desc
```

```
Q20 - select c_city, s_city, count(*)
from lineorder, customer, supplier
where lo_custkey = c_custkey and lo_suppkey = s_suppkey
and c_nation = 'UNITED STATES' and s_nation = 'UNITED STATES'
group by c_city, s_city
```

```
Q21 - select c_city, s_city, d_year, avg(lo_revenue) as avg_revenue
from lineorder, customer, supplier, dates
where lo_custkey = c_custkey and lo_suppkey = s_suppkey and lo_orderdate = d_datekey
and c_nation = 'UNITED STATES' and s_nation = 'UNITED STATES' and d_year >= 1992 and d_year <= 1997
group by c_city, s_city, d_year order by d_year asc, avg_revenue desc
```

```
Q22 - select c_city, s_city, d_year, count(*)
from lineorder, customer, supplier, dates
where lo_custkey = c_custkey and lo_suppkey = s_suppkey and lo_orderdate = d_datekey
and c_nation = 'UNITED STATES' and s_nation = 'UNITED STATES' and d_year >= 1992 and d_year <= 1997
group by c_city, s_city, d_year order by d_year asc
```

```
Q23 - select d_year, s_nation, p_category, sum(lo_revenue - lo_supplycost) as profit
from lineorder,dates, customer, supplier, part
where lo_custkey = c_custkey and lo_suppkey = s_suppkey and lo_partkey = p_partkey
and lo_orderdate = d_datekey and c_region = 'AMERICA' and s_region = 'AMERICA'
and (d_year = 1997 or d_year = 1998) and (p_mfgr = 'MFGR#1' or p_mfgr = 'MFGR#2')
group by d_year, s_nation, p_category order by d_year, s_nation, p_category
```

```
Q24 - select d_year, s_nation, p_category, sum(lo_revenue - lo_supplycost) as profit
from lineorder, dates, supplier, part
where lo_suppkey = s_suppkey and lo_partkey = p_partkey and lo_orderdate = d_datekey and s_region = 'AMERICA'
and (d_year = 1997 or d_year = 1998) and (p_mfgr = 'MFGR#1' or p_mfgr = 'MFGR#2')
group by d_year, s_nation, p_category order by d_year, s_nation, p_category
```

```
Q25 - select d_year, s_nation, p_category, avg(lo_revenue - lo_supplycost) as avg_profit
from lineorder, dates, customer, supplier, part
where lo_custkey = c_custkey and lo_suppkey = s_suppkey and lo_partkey = p_partkey and lo_orderdate = d_datekey
and c_region = 'AMERICA' and s_region = 'AMERICA' and (d_year = 1997 or d_year = 1998)
and (p_mfgr = 'MFGR#1' or p_mfgr = 'MFGR#2')
group by d_year, s_nation, p_category order by d_year, s_nation, p_category
```

```
Q26 - select d_year, s_nation, p_category, count(*)
from lineorder, dates, customer, supplier, part
where lo_custkey = c_custkey and lo_suppkey = s_suppkey and lo_partkey = p_partkey and
lo_orderdate = d_datekey and c_region = 'AMERICA' and s_region = 'AMERICA' and (d_year = 1997 or d_year = 1998)
and (p_mfgr = 'MFGR#1' or p_mfgr = 'MFGR#2')
group by d_year, s_nation, p_category order by d_year, s_nation, p_category
```

```
Q27 - select d_year, s_nation, count(*)
from lineorder,dates, supplier
where lo_suppkey = s_suppkey and lo_orderdate = d_datekey and s_region = 'AMERICA'
and (d_year = 1997 or d_year = 1998)
group by d_year, s_nation order by d_year, s_nation
```

```
Q28 - select s_nation, count(*) from lineorder,supplier
where lo_suppkey = s_suppkey and s_region = 'AMERICA'
group by s_nation order by s_nation
```

```
Q29 - select d_year, s_nation, sum(lo_revenue) as revenue
from lineorder,dates, supplier
where lo_suppkey = s_suppkey and lo_orderdate = d_datekey and s_region = 'AMERICA'
and (d_year = 1997 or d_year = 1998) group by d_year, s_nation order by d_year, s_nation
```

```
Q30 - select sum(lo_revenue), p_brand
from lineorder, part, supplier
where lo_partkey = p_partkey and lo_suppkey = s_suppkey and p_brand = 'MFGR#2221'
and s_region = 'ASIA' group by p_brand order by p_brand
```

Bibliographie

- [1] Agrawal, R., Mannila, H., Srikant, R., Toivonen, H. and Verkamo, I. : Fast discovery of association rules, in U. Fayyad et al. (Eds.) : *Advances in Knowledge Discovery and Data Mining*, pp. 307–328, AAAIPress, Menlo Park, CA, (1996)
- [2] Agrawal, A., Gupta, A., and Sarawagi, S. : *Modeling multidimensional databases*. Technical report research, IBM, (1997)
- [3] S. Ayouni, S. Ben Yahia and, A. Laurent, Extracting compact and information lossless sets of fuzzy association rules, *Fuzzy Sets and Systems* 183 (1), 1-25, (2011)
- [4] S. Ayouni, A. Laurent and S. Ben Yahia, P Poncelet, Mining closed gradual patterns, *International Conference on Artificial Intelligence and Soft Computing*, 267-274, (2010)
- [5] Amara, M., Benouaz, O.F. : *Techniques Data Mining pour la sélection d'une configuration d'index de jointure binaire*, mémoire de master (2011)
- [6] Aouiche, k., Darmont, J., Boussaid, O., and Bentayeb, F. : *Automatic Selection of Bitmap Join Indexes in Data Warehouses*. 7th International Conference on Data Warehousing and Knowledge Discovery DAWAK, (2005)
- [7] Azefack, S., Aouiche, K. and Darmont, J. (2006) 'Dynamic index selection in data warehouses', 4th International Conference on Innovations in Information Technology.
- [8] Bailey, J. , Manoukian, T., and Ramamohanarao, K. : *A fast algorithm for computing hypergraph transversals and its application in mining emerging patterns*. In *Proceedings of the Third IEEE International Conference on Data Mining (ICDM '03)*, pages 485-488, Washington, USA, (2003).

- [9] Bellatreche, L., Missaoui, R., Necir, H. and Drias, H. : A data mining approach for selecting bitmap join indices. *Journal of Computing Science and Engineering*, 2(1) :206–223 (2008)
- [10] Berge, C. : *Hypergraphs : Combinatorics of Finite Sets*. North-Holland, 3rd edition (1989)
- [11] Bouchakri, R., Bellatreche, L., Hidouci, K.W. : Static and incremental selection of multi-table indexes for very large join queries. In : Morzy, T., Härder, T., Wrembel, R. (eds.) *ADBIS 2012*. LNCS, vol. 7503, pp. 43–56. Springer, Heidelberg (2012)
- [12] S. Bouker, R. Saidi, S. Ben Yahia and E. Mephu Nguifo, Mining undominated association rules through interestingness measures, *International Journal on Artificial Intelligence Tools* 23 (04), 1460011, (2014)
- [13] Boukhalfa, K. : *De la conception physique aux outils d’administration et de tuning des entrepôts de données*. Ph.d. thesis Ecole nationale supérieure de mécanique et d’aérotechnique Poitier juillet 2009.
- [14] Boukhalfa, K., Bellatreche, L. and Benameur, Z. : Index de Jointure Binaires : Stratégies de Sélection et Étude de Performances, *Revue des Nouvelles Technologies de l’Information RNTI (EDA’2010)* (2010)
- [15] Boukorca, A. : *Hypergraphs in the Service of Very Large Scale Query Optimization Application : Data Warehousing*. thesis Ecole nationale supérieure de mécanique et d’aérotechnique Poitier, (2016)
- [16] I. Bouzouita, S. Elloumi and S. Ben Yahia, GARC : A New Associative Classification Approach, *International Conference on Data Warehousing and Knowledge Discovery*, 554-565, (2006)
- [17] I. Brahmi, S. Ben Yahia and P. Poncelet, MAD-IDS : novel intrusion detection system using mobile agents and data mining approaches, *Pacific-Asia Workshop on Intelligence and Security Informatics*, 73-76, (2010)
- [18] I. Brahmi, S. Ben Yahia, H. Aouadi and P. Poncelet, Towards a multiagent-based distributed intrusion detection system using data mining approaches, *International Workshop on Agents and Data Mining Interaction*, 173-194, (2011)

- [19] Chaudhuri, S. and Narasayya, V. : An efficient cost-driven index selection tool for microsoft sql server, International Conference on Very Large Databases, pp.146–155 (1997)
- [20] Chaudhuri, S., Datar, M. and Narasayya, V. : Index selection for databases : a hardness study and a principled heuristic solution, IEEE Transactions on Knowledge and Data Engineering, Vol. 16, No. 11, pp.1313–1323 (2004)
- [21] Chaudhuri, S. and Narasayya, V. : Selftuning database systems : A decade of progress. In VLDB, pages 3–14 (2007)
- [22] Comer, D. : The difficulty of optimum index selection. ACM Transactions on Database Systems (TODS) 3(4) :440–445 (1978)
- [23] De Marchi, F. and Petit, J. M. : Zigzag : a new algorithm for mining large inclusion dependencies in database. In Proceedings of the 3rd IEEE international Conference on Data Mining, ICDM'03, pages 27-34, Florida,USA, (2003)
- [24] Dong, G. and Li, J. : Mining border descriptions of emerging patterns from dataset pairs. Knowledge and Information Systems, 8(2) :178-202, (2005)
- [25] Elmasri, R. and Navathe, S. B. : Fundamentals of database systems. Pearson, (2014)
- [26] G Gasmi, SB Yahia, EM Nguifo, S Bouker, Extraction of association rules based on literalsets, International Conference on Data Warehousing and Knowledge Discovery, 293-302, (2007)
- [27] Golfarelli, M., Maio, D., and S. Rizzi. : Conceptual design of data warehouses from e/r schemes. in the 31th Hawaii Conference on System Sciences, (1998)
- [28] Golfarelli, M., Rizzi, E. and Saltarelli, S. : Index selection for data warehousing. Proceedings 4th International Workshop on Design and Management of Data Warehouses (DMDW'2002), Toronto, Canada, pages 33–42 (2002)
- [29] Gouda, K., Zaki, M. J. : GenMax : An efficient algorithm for mining maximal frequent itemsets. DataMining and Knowledge Discovery, 11(3), 223–242, (2005)
- [30] Yazig Grim (<http://grim.developpez.com/>)

-
- [31] Hagen, M. : Algorithmic and computational complexity issues of MONET. Institut fuer Informatik, Friedrich-Schiller-Universitaet Jena (Phd Dissertation) (2008)
- [32] S. Hamdi, A. Bouzeghoub, A. Gancarski and S. Ben Yahia, Trust inference computation for online social networks Trust, Security and Privacy in Computing and Communications (TrustCom), (2013)
- [33] T. Hamrouni , S. Ben Yahia and E. Mephu Nguifo, Succinct minimal generators : Theoretical foundations and applications, International journal of foundations of computer science 19 (02), 271-296, (2008)
- [34] A. Mouakher and S. Ben Yahia, 2019. On the efficient stability computation for the selection of interesting formal concepts. Information Sciences, 472, pp.15-34.
- [35] A. Houari, W. Ayadi and S. Ben Yahia, 2018, May. NBF : An FCA-Based Algorithm to Identify Negative Correlation Biclusters of DNA Microarray Data. In 2018 IEEE 32nd International Conference on Advanced Information Networking and Applications (AINA) (pp. 1003-1010). IEEE.
- [36] A. Houari, W. Ayadi and S. Ben Yahia, 2018. A new FCA-based method for identifying biclusters in gene expression data. International Journal of Machine Learning and Cybernetics, pp.1-15.
- [37] F. Ferjani, S. Elloumi, A. Jaoua, S. Ben Yahia, S. Ismail and S. Ravan, 2012. Formal context coverage based on isolated labels : An efficient solution for text feature extraction. Information Sciences, 188, pp.198-214.
- [38] T. Hamrouni, S. Ben Yahia and E.M. Nguifo, 2010. Generalization of association rules through disjunction. Annals of Mathematics and Artificial Intelligence, 59(2), pp.201-222.
- [39] T. Hamrouni, S. Ben Yahia and E.M. Nguifo, 2013. Looking for a structural characterization of the sparseness measure of (frequent closed) itemset contexts. Information Sciences, 222, pp.343-361.
- [40] Inmon, W.H. : Building the Data Warehouse. John Wiley & Sons, third edition (2002)

- [41] M.N. Jelassi, C. Largeton, S. Ben Yahia : Efficient unveiling of multi-members in a social network. *Journal of Systems and Software* 94 : 30-38 (2014)
- [42] Kavvadias, D. J. and Stavropoulos, E. C. : An efficient algorithm for the transversal hypergraph generation. *Journal of Graph Algorithms and Applications*, 9(2) :239-264, (2005)
- [43] Kimball, R. : *The Data Warehouse Toolkit*. John Wiley and Sons, (1996)
- [44] Murakami, K. and Uno, T. : Efficient algorithms for dualizing large-scale hypergraphs. In *Proceedings of the 15th Meeting on Algorithm Engineering and Experiments (ALENEX 13)*, pages 113, New Orleans, USA (2013)
- [45] Necir, H., Bellatreche, L., Missaoui, R. :DynaClose : Une approche de fouille de données pour la sélection des index de jointure binaires dans les entrepôts de données, 3es Journées Francophones sur les Entrepôts de Données et analyse en Ligne (EDA'07), edited by RNTI, Juin, (2007)
- [46] Necir, H. : A data mining approach for efficient selection bitmap join index, *Int. J. Data Mining, Modelling and Management*, Vol. 2, No. 3, (2010)
- [47] O'Neil, P., and Graefe, G. : Multi-Table Joins Through Bitmapped Join Indices, *SIGMOD Record*, 24, 8–11, (1995)
- [48] O'Neil, P., et Quass, D. : Improved query performance with variant indexes. *SIGMOD Conference*, pages 38–49, (1997)
- [49] O'Neil, P., O'Neil, B., Chen, X. : *Star Schema Benchmark Revision 3*. June (2009)
- [50] https://docs.oracle.com/cd/B10500_01/server.920/a96520/indexes.htm
- [51] L. Ben Othman, S. Ben Yahia, Yet another approach for completing missing values, *Concept Lattices and Their Applications*, 155-169, (2008)
- [52] Pasquier, N., Bastide, Y., Taouil, R., and Lakhal, L. : Discovering frequent closed itemsets for association rules. In *7th International Conference on Database Theory (ICDT 1999)*, Jerusalem, Israel, volume 1540 of LNCS, pages 398–416 (1999)

- [53] Perriot, R., J. Pfeifer, L. d’Orazio, B. Bachelet, S. Bimonte, et Darmont, J. : Modèles de coût pour la sélection de vues matérialisées dans le nuage, application aux services amazon ec2 et s3. EDA B-9, 53–68, (2013)
- [54] Ponniah, P. : Data Warehousing Fundamentals for IT Professionals. Wiley (2010)
- [55] Sanjay, A., Narasayya, V. R., and Yang, B. : Integrating vertical and horizontal partitioning into automated physical database design. Proceedings of the ACM SIGMOD International Conference on Management of Data, pages 359–370, (2004)
- [56] Sarawagi, S. Indexing OLAP data, Data Engineering Bulletin, Vol. 20, No. 1, pp.36–43, (1997)
- [57] <http://www.tpc.org/tpch/default.asp>
- [58] Teste, O. : Modélisation et manipulation d’entrepôts de données complexes et historisées. Thèse de doctorat en informatique, Université Paul Sabatier, 2000.
- [59] Valduriez, P. : Join indices. ACM Transactions on Database Systems, 12(2) :218–246, June 1987.
- [60] Valentin, G., Zuliani, M., Zilio, D.C., Lohman, G.M. and Skelley, A. : Db2 advisor : an optimizer smart enough to recommend its own indexes, ICDE00, pp.101–110 (2000)
- [61] Whang, K. : Index selection in relational databases. In International Conference on Foundations of Data Organization (FODO 85), Kyoto, Japan, pages 487–500, (1985)
- [62] Wu, M. : Query optimization for selections using bitmaps, in ACM SIGMOD International Conference on Management of Data, pp.227–238, (1999)

Résumé : Les systèmes décisionnels traitent une large volumétrie de données stockée dans de nouvelles bases de données appelées les entrepôts de données. Les entrepôts de données sont généralement modélisés par un schéma en étoile qui présente classiquement une table de faits centrale et un ensemble de tables de dimension. Les requêtes correspondantes à ce type de modèle sont par conséquent très complexes. Afin de réduire le coût d'exécution des requêtes complexes qui contiennent des jointures très coûteuses, la solution envisagée serait de garantir une bonne conception physique des entrepôts de données. Les index de jointure binaire (IJB) sont très adaptés pour réduire le coût d'exécution de ces jointures. Dans ce cadre de travail, nous avons proposé une approche de sélection d'IJB basée sur la notion de traverse minimale. La configuration finale obtenue est composée de plusieurs index qui permettent d'optimiser le coût d'exécution de l'ensemble de requête.

Mots Clés : Entrepôts de données, Conception physique, Index de jointure binaire, hypergraphe, traverse minimale.

Abstract : Decision systems deal with a large volume of data stored in new databases called data warehouses. Data warehouses are typically modeled by a star schema that conventionally presents a central fact table and a set of dimension tables. The corresponding queries for this type of model are therefore very complex. In order to reduce the cost of executing complex queries, which contain very expensive joins, the solution envisaged would be to guarantee a good physical design of the data warehouses. Binary join indexes are very suitable to reduce the cost of executing these joins. In this work, we proposed a binary join index selection approach based on the notion of minimal transversal. The final configuration obtained is composed of several indexes, which make it possible to optimize the execution cost of the query set.

Keywords : Data warehouses, Physical design, Binary join index, hypergraph, minimal transversal.
